

Sammlung Götschen

Kartenkunde

VON

E. Gelcich, F. Sauter

u. P. Dinse

Mit 70 Abbildungen.

BOSTON
PUBLIC
LIBRARY

Sammlung Götschen. Je in elegantem Feinwandband 80 pf.

G. J. Götschen'sche Verlagshandlung, Leipzig.

1—9 Klassiker-Ausgaben mit Anmerkungen erster Lehrkräfte und Einleitungen von A. Goedeke.

1. Klopstocks Oden in Auswahl. 3. Aufl. 2. Lessings Emilia Galotti. 2. Aufl. 3. Lessings Schakel und Abhandlungen. 4. Aufl. 5. Lessings Proben. 7. Aufl. 6. Lessings

N^o 2289^a = 75



19 Römische Geschichte

von Dr. Koch. 2. Aufl.

20 Deutsche Grammatik und

Geschichte der deutschen Sprache von Dr. O. Lyon. 3. Auflage.

21 Lessings Philotas und die Poesie des Mär. Arieges v. Prof. O. Güntter.

29 Mineralogie Professor an der Univ. Gießen. Mit 130 Abb. 2. Aufl.

30 Kartenkunde v. Dir. E. Belcick, Prof. S. Sauter u. Dr. Dinse. Mit gegen 100 Abbild. 2. Aufl.

31 Deutsche Litteraturgeschichte von Max Koch, Professor an der Universität Breslau. 2. Aufl.

Boston Public Library
Central Library, Copley Square

Division of
Reference and Research Services

The Date Due Card in the pocket indicates the date on or before which this book should be returned to the Library.

Please do not remove cards from this pocket.

Sammlung Götschen. Je in elegantem Leinwandband 80 pf

G. J. Götschen'sche Verlags-handlung, Leipzig.

66 Russische Grammatik

von Dr. Erich Bernker.

68 Russisches Gesprächbuch

von Dr. Erich Bernker.

67 Russisches Lesebuch

Dr. Erich Bernker.

69 Englische Litteraturge-

schiehte von Prof. Dr. Karl Weiser.

Urtheile der Presse über „Sammlung Götschen“.

Südd. Bl. f. höh. Unterr.-Anst.: Nachdem die zwei ersten Auflagen von Nr. 10 der Götschen'schen Sammlung (Nibelungen und Kudrun in Auswahl) beifällige Aufnahme und sehr raschen Absatz gefunden haben, sind Herausgeber und Verleger übereingekommen, diese Nummer in zwei Bändchen zu zerlegen: a) Der Nibelunge Nôt 2c. b) Kudrun und Dietrichhefen. Dadurch ist es möglich geworden, den Text zu vermehren und ihn mit größeren Lettern zu drucken . . .

Deutsche Lehrerzeitg., Berlin: In knappster, aber doch allgemein verständlicher Form bietet uns Dr. Fraas die Geologie. Besonders aber hat uns das 14. Bändchen, welches die Psychologie und Logik enthält, ungemein angesprochen. Elsenhaus versteht es, für diesen Lehrgegenstand Interesse zu erregen. Lessings Philotas, der bekanntlich in antikem Gewand den Geist des siebenjährigen Krieges und vor allem die Denkart Friedrichs des Großen schildert, und die Poesie des siebenjährigen Krieges sind echt patriotische und herzerfreuliche Gaben. Nach den vorliegenden Bändchen stehen wir nicht an, die ganze Sammlung aufs angelegentlichste nicht allein zum Gebrauch in höheren Schulen, sondern auch zur Selbstbelehrung zu empfehlen.

Schwäbischer Merkur: Der bekannte Jenaer Pädagog Prof. Dr. W. Rein giebt in der „Pädagogik im Grundriß“ eine nicht nur lichtvolle, sondern geradezu fesselnde Darstellung der praktischen und der theoretischen Pädagogik. Jedermann, der sich für Erziehungsfragen interessiert, darf man das Büchlein warm empfehlen. Nicht minder trefflich ist die Bearbeitung, welche der Marburger Germanist Kauffmann der Deutschen Mythologie gewidmet hat. Sie beruht durchaus auf den neuesten Forschungen, wie sich an nicht wenigen Stellen, z. B. in dem schönen Kapitel über Baldr, erkennen läßt.

Staatsanzeiger: Das 20. Bändchen, das einen Abriss der deutschen Grammatik und im Anhange eine kurze Geschichte der deutschen Sprache enthält, bietet auch eine gute Uebersicht der deutschen Sprachlehre und deutschen Sprachgeschichte. Die klare und knappe Darstellung giebt auf engem Raum einen überraschend reichen Stoff.

Pfälz. Kurier: Auch in der griechischen Altertumskunde von Dr. H. Maisch ist die Darstellung concis und, ohne den wissenschaftlichen Charakter zu verleugnen, populär im besten Sinne des Wortes.

Kartenkunde

geschichtlich dargestellt

von

C. Geleisch

und

F. Santer.

Direktor der k. k. Nautischen Schule
in Lussinpiccolo.

Professor am Realgymnasium
in Ulm.

Zweite verbesserte und vermehrte Auflage

von

Dr. Paul Dinse.

Assistent der Gesellschaft für Erdkunde zu Berlin.

Mit 70 Abbildungen.

PUBLIC LIBRARY

G. J. Göttsche'sche Verlagsbuchhandlung

CITY OF BOSTON

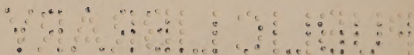
1897

Alle Rechte, insbesondere das Uebersetzungsrecht von
der Verlagsbuchhandlung vorbehalten.

Nov. 22. 1898.

E.

nr 103



Druck von Carl Rembold, Heilbronn.

Holzfreies Papier aus der Gust. Schöffelen'schen Papierfabrik
in Heilbronn a. N.

Inhaltsverzeichnis.

	Seite
Bitteratur über Kartenkunde	4
Vorbegriffe.	
Grundsätze der Ortsbestimmung	7
Umfang der Paralleltreife	11
Ortsbestimmung in der Ebene und auf der Kugel.	12
Astronomische Ortsbestimmung	14
Grundsätze der Perspektive	15
Orthogonalprojektion der Raumgebilde auf zwei Projektionsebenen	19
Erster Teil. — Die Kartenprojektionslehre.	
Erstes Kapitel. — Die älteren Kartenprojektionen.	
§ 1. Älteste Versuche der Länderabbildung	21
§ 2. Die Projektionen auf abwickelbare Flächen.	
1. Die cylindrischen Projektionen	24
2. Die Kegelpjektionen	31
§ 3. Die perspektivischen Projektionen.	
1. Die orthographischen Projektionen	35
2. Die stereographischen Projektionen	38
3. Die Zentral- oder gnomonische Projektion	54
Zweites Kapitel. — Von der Erfindung des Kompasses bis zur Reformation der Kartographie.	
§ 4. Die sogenannten Logodromischen Karten	62
§ 5. Veränderungen an den Plattkarten und an der Kegelpjektion in der Zeit der Renaissance des Ptolemäus	66
Drittes Kapitel. — Die Reformation der Kartographie.	
§ 6. Merkator, der Reformator der Kartographie	75
§ 7. Die Merkator- oder winkeltreue Cylinder-Projektion	77
§ 8. Weitere von Merkator erdachte oder verbesserte Projektionen	84
Viertes Kapitel. — Die neueren Projektionen.	
§ 9. Aequivalente oder flächentreue Projektionen	90
§ 10. Neuere Modifikationen der Cylinder- und Kegelpjektionen	99
§ 11. Stern- und blattförmige Karten	104
§ 12. Ueber die Auswahl der Projektionen mit geringster Verzerrung	107
Zweiter Teil. — Topographie.	
Fünftes Kapitel. — Einteilung der Karten.	
§ 13. Name und allgemeine Einteilung der Karten	110
§ 14. Bezünungsverhältnis. Einteilung der Karten nach dem Bezünungsverhältnis	112
§ 15. Einteilung der Karten nach ihrer Bestimmung	117
Sechstes Kapitel. — Graphische Darstellung der Bodenbeschaffenheit.	
§ 16. Situationsentwurf	120
§ 17. Die Bodenniveaus. Meeresniveau	138
§ 18. Methode der Horizontal-Schichtenlinien	141
§ 19. Darstellung der Höhenverhältnisse durch Farben u. Schattierung	154
§ 20. Vereinigung von Schichtenlinien und Schraffen	162
§ 21. Relieffkarten	163

Litteratur über Kartenkunde.

D' Avezac. Coup d'œil historique sur la projection des cartes de géographie. Bulletin de la Société de Géographie de Paris, April-Juin 1863. Als Separatabzug auch im Buchhandel erschienen.

In den Anmerkungen zum Text sehr reichhaltige Quellen- und Litteratur-Angaben.

Bach. Theorie der Bergzeichnung. Stuttgart 1852.

Biebrach. Der Fährich als Topograph. Berlin 1874.

Breusing. Das Berechnen der Kugeloberfläche für Gradnetzwürfe. Leipzig 1892.

Behandelt die Kartenprojektionslehre nach ganz neuen elementaren Prinzipien und zeichnet sich durch die möglichst konsequente Einführung der deutschen Nomenklatur aus. Enthält viele geschichtliche Notizen.

Coordest. Kleines Lehrbuch der Landkartenprojektion. 2. Aufl. Kassel 1891.

Für Anfänger bestimmt, doch einiges über Kurven zweiter Ordnung zu den Vorkenntnissen zählend, worüber ein Anhang handelt.

Doergens. Theorie und Praxis der geographischen Kartenneze. Berlin 1870.

Ist unvollendet geblieben; es erschien nur der I. Teil, welcher die perspektivischen Projektionen behandelt.

Fiorini. Le proiezioni delle carte geografiche. Bologna 1881.

Erfordert Kenntnisse aus der höheren Mathematik. Reich mit geschichtlichen Notizen besät. Entwickelt das Tissot'sche Deformationsprinzip. Das beste und ausführlichste Werk über Kartenprojektion.

Gelcich. Cartografia. (Manuali Hœpli). Mailand 1894.

Auf elementar-mathematischen Kenntnissen beruhend.

Germain. Traité des projections des cartes géographiques. Paris 1866.

Ein modernes Werk für das höhere Studium.

Gretschel. Lehrbuch der Karten-Projektion. Weimar 1873.

Stützt sich im großen und ganzen auf das Lehrbuch von Germain und enthält viele geschichtliche Notizen.

Günther Lehrbuch der Geophysik und physikalischen Geographie. Stuttgart 1834. Bd. 1. 2. Aufl. Stuttgart 1897.

Behandelt im ersten Bande alle wichtigen Abbildungsmethoden mit besonderer Beziehung auf ihre Verwendbarkeit für bestimmte Zwecke.

Günther. Physikalische Geographie. Mit 29 Abbildungen. Sammlung Götschen Nr. 26.

Jordan. Handbuch der Vermessungskunde. 2 Bde. Stuttgart 1878.
Sehr wichtig für den topographischen Teil.

Kosmann. Terrainlehre und Terraindarstellung. Potsdam 1891.

Lambert. Beiträge zum Gebrauche der Mathematik und deren Anwendung. 3 Theile. 1765—1772.

Obwohl alt, enthält dieses Buch doch vorzügliche Abhandlungen über Abbildungsmethoden, gründet sich jedoch auf höhere Mathematik.

Lehmann. Darstellung einer neuen Theorie der Bergzeichnung der schiefen Flächen im Grundriß, oder der Situationszeichnung der Berge. Leipzig 1799.

Epochemachende Schrift. Begründung der Methode der Vertikal=schraffen.

Lelewel. Géographie du moyen-âge. 4 Bde. Brüssel 1852—57.

Nützliches Werk für das Studium der Geschichte der Kartenkunde im Altertum und Mittelalter.

Pittrow. Chorographie oder Anleitung, alle Arten von Land-, See- und Himmelskarten zu verfertigen. Wien 1833.

Ein vorzügliches Lehrbuch über Kartenprojektionslehre für das höhere Studium bestimmt. Enthält ein gutes Verzeichnis der bisherigen Litteratur.

Möbius. Die Hauptsätze der Astronomie. 7. Auflage mit 29 Figur. Sammlung Götschen Nr. 11.

Plehnw. Planzeichnen. Berlin 1874.

Puissant. Traité de Topographie. 2. Aufl. Paris 1824.

Außer Topographie ist in diesem Werke auch die Kartenprojektionslehre behandelt.

de Santarem. Essai sur l'histoire de la cosmographie et de la cartographie pendant le moyen-âge. 3 Bände. Paris 1849—52.

Steinhauser. Grundzüge der mathematischen Geographie und der Landkarten-Projektion. 3. Auflage. Wien 1887.

Gründet sich auf elementare Kenntnisse und kann auch von Lernenden der höheren Klassen der Mittelschulen gebraucht werden.

Streffleur. Allgemeine Terrainlehre. Wien 1876.

Tissot. Mémoire sur la représentation des surfaces et les projections des cartes géographiques. Paris 1881.

Bildet eine Untersuchung der bei den Abbildungen hervor=brachten Verzerrungen, begründet auf eine neue Art der Analyse derselben; ein Werk von höchster Bedeutung, sowohl für das höhere Studium, als auch für den praktischen Kartographen. Eine deutsche Bearbeitung desselben gab Hamner heraus (Stuttgart 1887).

Wagner. Zeitfaden durch den Entwicklungsgang der Seekarten. Bremen 1895.

Inhaltreicher Führer durch die historische Seekartenausstellung auf dem XI. Deutschen Geographentag in Bremen.

Wauwermans. Histoire de l'école cartographique Belge et Anversoise du XVI siècle. 2 Bde. Bruxelles 1895.

Weit angelegtes, aber nicht auf der Höhe der Forschung stehendes Buch. Viel biographisches Material.

Wenz. Die mathematische Geographie in Verbindung mit der Landkarten-Projektion. München 1883.

Der Kartenprojektionslehre ist ein Kapitel mit den nötigen Begriffen aus der Mathematik vorangeschickt. Dem Werke ist ein nützlicher „Atlas zur Landkarten-Entwurfslehre“ 1885 gefolgt.

Wolkenhauer. Zeitfaden zur Geschichte der Kartographie in tabellarischer Darstellung. Breslau 1895.

Vorzügliches, mit reichen Litteraturangaben ausgestattetes Nachschlagebuch.

Baffaut. Populäre Anleitung für die graphische Darstellung des Terrains. Wien 1888.

Baffaut. Signaturen in- und ausländischer Plan- und Kartenwerke. 2. Auflage. Wien 1889.

Eine Schlüsselsammlung, um alle Arten von Karten und Plänen zu lesen, nebst Angaben der üblichen Verjüngungsverhältnisse. Außer den Signaturen enthält das Büchlein auch die auf Karten vorkommenden Abkürzungen in 12 Sprachen.

Böpprich. Zeitfaden der Kartenentwurfslehre für Studierende der Erdkunde und deren Lehrer. Leipzig 1884.

Gründet sich auf elementar-mathematische Kenntnisse und bildet ein vorzügliches Lehrbuch für Geographen, welche in der höheren Mathematik nicht bewandert sind.

Wichtige Aufsätze enthalten ferner fast alle geographischen Zeitschriften' besonders die Zeitschrift der Gesellschaft für Erdkunde zu Berlin, Petermanns Geographische Mitteilungen, die Zeitschrift für wissenschaftliche Geographie von Kettler und die Geographische Zeitschrift von Alfr. Dettner. Sehr eingehende und reichhaltige Berichte über die neueren litterarischen Erscheinungen auf dem Gebiete der Kartenprojektionslehre, wobei auch die in Zeitschriften u. s. w. enthaltenen Aufsätze vollständig berücksichtigt werden, veröffentlichten S. Günther im IX., X., XII. und XIV. und E. Hammer im XVII. Band des „Geographischen Jahrbuchs.“

Vorbegriffe.

Grundsätze der Ortsbestimmung.

Die Erde dreht sich mit gleichförmiger Geschwindigkeit um einen ihrer Durchmesser (N S Fig. 1), welchen man die Erbachse nennt, und welcher als solche in ihr und in dem Weltraum eine nahezu unveränderliche Lage hat; die Endpunkte der letzteren heißen Pole, und zwar ist der uns nähere N der Nordpol, der entgegengesetzte S der Südpol der Erde. Der größte Kreis EQ, dessen Ebene senkrecht auf der Erbachse steht, heißt der Aequator, der Gleichher oder die

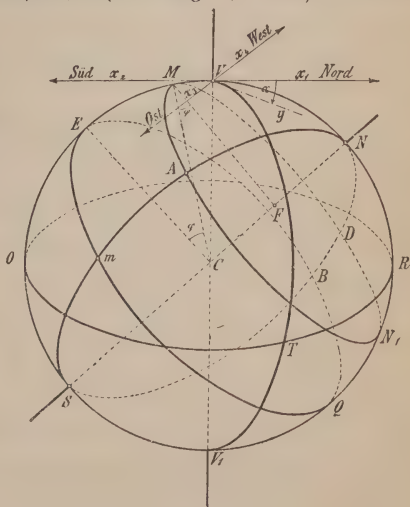


Fig. 1.

der Aequator, der Gleichher oder die

Linie; seine Ebene teilt die Erde in zwei Halbkugeln (Hemisphären), von welchen die den Nordpol enthaltende die nördliche, die andere die südliche heißt. Größte Kreise, welche auf dem Aequator senkrecht stehen und demnach durch die Pole der Erde laufen (N A S B N), nennt man Meridiane oder Längenkreise, ihre Ebenen Meridianebenen; die Erdachse ist die gemeinschaftliche Durchschnittslinie aller Meridianebenen. Im engeren Sinne versteht man unter dem Meridian eines Ortes nur den Halbkreis, der durch den Ort zu den beiden Polen geht; die andere Hälfte des bezüglichen Kreises bezeichnet man als Gegenmeridian. So ist N A S der Meridian von A und N B S dessen Gegenmeridian. Schneidet man die Erde durch Ebenen, welche auf der Erdachse senkrecht stehen, so werden die Schnittlinien auf der Oberfläche Parallel- oder Breiten-Kreise (M A N₁ D M) genannt.

Denkt man sich den Standort V eines in einem beliebigen Punkte der Erdoberfläche befindlichen Beobachters mit dem Mittelpunkt der Erde verbunden und diese Verbindungslinie beliebig verlängert, so erhält man eine Vertikale ($V V_1$). Die auf dieser senkrecht stehende, durch den Mittelpunkt der Erde gelegte Ebene O R heißt die Ebene des wahren Horizonts des Beobachtungsortes. Die durch den Beobachtungsort V zur Ebene des wahren Horizonts parallel gelegte Ebene wird die Ebene des scheinbaren Horizonts des Beobachtungsortes V genannt. Wegen der verschwindenden Kleinheit des Erdhalbmessers gegenüber den Entfernungen im Weltall fallen in Bezug auf diese der wahre und scheinbare Horizont zusammen. Die Schnittlinie $x_1 x_2$ der durch den Beobachtungsort gehenden Meridianebene mit der Ebene des scheinbaren Horizonts giebt die betreffende Meridianrichtung in

diesem Orte an und heißt auch die Nord-Südlinie. Derjenige Teil Vx_1 dieser Schnittlinie, welcher nach dem Nordpole zu weist, giebt die Nordrichtung, der entgegengesetzte Teil Vx_2 die Südrichtung an. Die von der Nordrichtung im Sinne des Uhrzeigers um 90° abweichende Richtung Vx_3 liefert die Ostrichtung, die entgegengesetzte Richtung Vx_4 die Westrichtung. Diese 4 Richtungen bilden die sogenannten 4 Weltgegenden oder Himmelsrichtungen des Beobachtungsortes V und bilden die Grundlage der geographischen Orientierung. Größte Kreise, deren Ebenen die Vertikale eines Punktes zur gemeinschaftlichen Durchschnittsline haben, wie z. B. $VT V_1$, $VN QSO$, heißen Vertikalkreise, und der Winkel, den die Ebene eines solchen Vertikalkreises mit der Meridianebene des Beobachtungsortes bildet, heißt das Azimut. Das Azimut wird von Norden über Osten nach Süden im Sinne des Uhrzeigers gemessen. Ist $VT V_1$ ein beliebiger Vertikalkreis und Vy eine Tangente an denselben in V , so stellt demnach $\angle x_1 Vy = \alpha$ das betreffende Azimut dar.

Die Lage eines Ortes auf der Erdoberfläche wird durch die geographische Breite und Länge bestimmt. Die geographische Breite eines Ortes ist der Bogen seines Meridians, welcher zwischen dem Orte und dem Aequator liegt: man zählt die Breite in Gradmaß vom Aequator gegen beide Pole von 0 bis 90° und unterscheidet eine nördliche und eine südliche Breite. Die Länge eines Ortes ist der Bogen des Aequators zwischen einem als Ausgangspunkt für die Zählung angenommenen — dem sogenannten Null- oder Anfangsmeridian — und dem Meridian des Ortes. Man zählt im allgemeinen die Länge von 0 bis 180° gegen Osten und gegen Westen und unterscheidet daher eine östliche und

eine westliche Länge. Ist N E S (Fig. 1) der Nullmeridian, so ist:

die geogr. Breite von A = Bogen mA.

„ Länge „ A = „ Em.

Hipparch (160—125 v. Chr.) führte die Bestimmung der Ortslage nach „Längen“ und „Breiten“, welche die Lehre von der Kugelgestalt der Erde zur Voraussetzung hat, ein und bediente sich dieser Ausdrücke in Befolgung der früheren Gewohnheit, die Ausdehnung der Länder der vermeintlichen Erdscheibe oder des bewohnbaren Erdgürtels durch eine lineare Längen- und Breitenausmessung anzugeben. So sagte man z. B. nach Aristoteles, die bekannte Erde sei 70 000 Stadien lang und 40 000 breit.

Schon die Alten rechneten die Breiten vom Aequator ab, zählten dieselbe jedoch zuerst nicht in Gradmaß, sondern bestimmten sie durch die Zugehörigkeit zu einem „Klima“, einer Bestrahlungszone oder Gürtel gleicher längster Tagesdauer. Die Länge bezog man zuerst auf einen Mittelmeridian, den Meridian von Rhodus. Ptolemäus verlegte den Anfangsmeridian an die Westgrenze der ihm bekannten Erde, nach den Glücklichen (Kanarischen) Inseln. Aber bereits die Araber führten durch Annahme des Meridians von Bagdad eine bedeutende Willkür ein, und im Entdeckungszeitalter entstand infolge der durch eine Inselgruppe nicht genügend festzulegenden Meridianbestimmung die größte Verwirrung. Ein auf Richelieus Anregung unternommener Einigungsversuch führte zur Annahme des Meridians der Westspitze der Insel Ferro als des Nullmeridians. Da die fehlerhafte Berechnung desselben als 20° westlich von Paris jedoch nur einen idealen Meridian schuf, konnte auch dieser Versuch zu keiner Einigung führen. In neuerer

Zeit haben sich die meisten Nationen dahin verständigt, den Meridian der Greenwicher Sternwarte als Nullmeridian anzunehmen; nur Frankreich hält am Pariser Meridian fest, und alle Versuche, einen „neutralen Meridian“ zur Anerkennung zu bringen (z. B. Jerusalem), sind mißglückt. Auf den Karten findet man jetzt hauptsächlich die Meridiane von Greenwich und Paris, während der von Ferro allmählich verschwindet.

Umfang der Parallelskreise.

Ist in Fig. 1 $MF = r$ der Halbmesser des Parallelskreises MAN_1 , $\angle \varphi$ die geographische Breite dieses Parallelskreises, $EC = R$ der Halbmesser des Aequators, so ergibt sich aus dem rechtwinkligen $\triangle MCF$:

$$\frac{MF}{MC} = \cos CMF = \cos MCE = \cos \varphi$$

$$\text{d. h. } \frac{r}{R} = \cos \varphi \text{ oder } r = R \cos \varphi.$$

Stellt ferner u den Umfang des Parallelskreises MAN_1 , U den Umfang des Aequators dar, so ist:

$$u = 2 \pi r = 2 \pi R \cos \varphi$$

$$U = 2 \pi R$$

$$\begin{aligned} \text{somit: } u : U &= 2 \pi R \cos \varphi : 2 \pi R \\ &= \cos \varphi : 1 \\ u &= U \cos \varphi. \end{aligned}$$

Da nun mit zunehmender Breite der Wert von $\cos \varphi$ abnimmt, so nimmt mit zunehmender Breite der Umfang der Parallelskreise ab.

$$\text{Aus } u = U \cos \varphi \text{ ergibt sich } \frac{u}{360} = \frac{U}{360} \cos \varphi$$

d. h. man erhält die Bogenlänge eines Grades des in der

Breite φ gelegenen Parallelkreises dadurch, daß man die Bogenlänge des Äquatorgrades mit $\cos \varphi$ multipliziert.

Nimmt man den Erdhalbmesser*) zu 6 370 km an, so beträgt die Bogenlänge des Äquatorgrades: $\frac{2 \pi 6370}{360}$ km, die

der Äquatorminute: $\frac{2 \pi 6370}{360 \cdot 60}$ km = 1,852 km = 1 852 m,

die der Parallelkreisminute in der Breite $\varphi = 1852 \cos \varphi$ m.

Ortsbestimmung in der Ebene und auf der Kugel.

Die Lage eines Punktes in der Ebene bestimmt man am einfachsten durch Beziehung des Punktes auf zwei feste, auf einander senkrechte Gerade. Sind O X und O Y (Fig. 2)

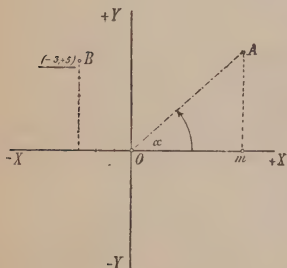


Fig. 2.

gegebenen Punkte A aus Senkrechte, so nennt man die Abstände dieses Punktes von den zwei festen Geraden seine Koordinaten, und zwar heißen sie in diesem Falle senkrechte oder rechtwinklige Koordinaten. Die von dem Punkte A auf die Achse O X gefällte Senkrechte nennt man insbesondere die Ordinate (Am), den Abstand des Fußpunktes der Ordinate vom

*) Für die meisten Aufgaben des Kartenentwurfs genügt es, die Erde als Kugel zu betrachten, obwohl sie in Wirklichkeit ein an den Polen abgeplattetes Rotationsellipsoid ist, dessen halbe große Achse $a = 6\,377\,397$ m, dessen halbe kleine Achse $b = 6\,356\,079$ m ist. (Bessel'sche Werte 1841.)

Schnittpunkte O des Achsensystems die Abscisse (Om). Achsensystem nennt man die sich schneidenden Geraden OX und OY . Unterscheidet man bei jeder Achse zwei Richtungen und bezeichnet die eine als positive, die andere als negative, so ist ein Punkt der Ebene vollständig bestimmt, wenn seine beiden Koordinaten durch Längen und Vorzeichen gegeben sind. Hat z. B. ein Punkt die Koordinaten $(-3, +5)$, so erhält man seine Lage, indem man auf der $-X$ Achse vom Schnittpunkt der beiden Achsen, dem Ursprung O aus, 3 gleiche Teile abträgt, im Teilpunkt ein Lot in der Richtung der $+Y$ Achse errichtet und auf letzterem von diesem Teilpunkt aus 5 solche gleiche Teile abträgt; der so erhaltene Endpunkt B stellt die gesuchte Lage des Punktes dar. Sind viele Punkte aufzutragen, so wird diese Operation dadurch erleichtert, daß man die Zeichnung mit einem Maßstabsnetz überzieht, d. h. zwei Systeme von Parallelen zu beiden Achsen in den Abständen der Längeneinheit auszieht, oder die Zeichnung mit einem auf durchsichtigem Grunde aufgetragenen Millimeternetz überdeckt.

Sehr gebräuchlich sind auch die Polarkoordinaten. Bei diesen nimmt man einen festen Punkt als Pol an und eine gegebene Gerade als Polarachse. Die Lage eines Punktes ist nun vollkommen bestimmt, wenn sein Abstand vom Pole und der Winkel gegeben ist, den die durch den Pol und den Punkt gezogene Linie mit der Polarachse bildet. Dieser Winkel ist immer in demselben Sinne anzutragen, meistens in dem Sinne von der $+X$ und $+Y$ Achse. Ist in Fig. 2 O der Pol, OX die Polarachse, so ist Punkt A durch $\sphericalangle \alpha$ und durch die Entfernung OA bestimmt. Auch hier kann man sich das Auftragen der Punkte, beziehungsweise das Ablesen der Koordinaten erleichtern, wenn man um den

Pol als Mittelpunkt konzentrische Kreise mit den Halbmessern von 1, 2, 3 . . . Längeneinheiten beschreibt und durch O mehrere Strahlen zieht, welche alle möglichen Winkel mit OX von 1° bis 359° einschließen.

Den Koordinaten der Ebene entsprechen die sphärischen Koordinaten der Kugel. Man verwendet dazu ein Polarkoordinatensystem, dessen Elemente nicht mehr gerade Linien und Kreise, sondern krumme Linien sind, von denen die eine Gruppe strahlenförmig unter gleichen Winkeln vom Pol ausgeht, während die zweite aus krummen Linien besteht, die in je gleichem Bogenabstand vom Pol diesen umziehen.

Astronomische Ortsbestimmung.

Bei der Erde entspricht diesem System das Netz der Meridiane und Breitenkreise, und zwar die geographische Länge der Abscisse, die geographische Breite der Ordinate. Man erhält ein Bild der Erdoberfläche auf einem künstlichen Erdglobus, indem man auf letzterem einen der größten Kreise als Aequator betrachtet und in die Längengrade einteilt; auf den darauf senkrechten Meridianen trägt man die Breitengrade auf. Mit Hilfe dieses Netzes verzeichnet man die Lage der einzelnen Punkte nach ihren geographischen Längen und Breiten. Die Lagenbestimmung ist für die Erde durch die Achsendrehung derselben und die Sichtbarkeit der Himmelskörper erleichtert. Um die Breite eines Ortes oder die Höhe des Poles über dem Horizonte desselben zu erhalten,*) wird die Höhe OS eines Gestirns zur Zeit seiner Kulmination

*) Vergl. Sammlung Göpfen Nr. 11, Astronomie.

gemessen (Fig. 3) und daraus die Zenithdistanz $ZS = 90^\circ - OS$ gebildet. Den astronomischen Kalendern entnimmt man die Deklination des bezüglichen Sternes ES . Es ist aber $ES + SZ = EZ$ und $EZ + ZP = ZP + PR = 90^\circ$, also $EZ = PR =$ der Polhöhe und der geographischen Breite des Beobachters, dessen Zenith Z ist. Der Längenunterschied zweier Orte ergibt sich aus dem zeitlichen Unterschied der Kulmination der Sonne an beiden Orten.

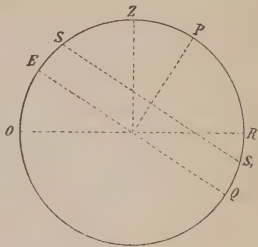


Fig. 3.

Es ist aber nicht notwendig, die Lage aller Orte astronomisch zu bestimmen; es erfolgt dies nur für wichtigere Punkte, sogenannte Triangulierungspunkte erster Ordnung. Die Lage der übrigen Punkte bestimmt man, indem man ihre Richtungen und Entfernungen in Bezug auf die Punkte erster Ordnung abmisst oder berechnet und aus diesen die Breiten- und Längenunterschiede gegenüber den erstgenannten ableitet.

Grundsätze der Perspektive.

Man versteht unter *Perspektive* das Verfahren, welches beobachtet werden muß, um körperliche Gegenstände auf einer Ebene so zu zeichnen, wie sie sich von einer gegebenen Entfernung aus dem betrachtenden Auge darstellen. Diese Ebene, auf der die Abbildung oder Zeichnung erfolgen soll, nennt man die *Bildebene*. Führt man vom Augpunkte O (Fig. 4) eines Beobachters drei Gerade nach den Eckpunkten eines

außerhalb der Bildebene liegenden Dreiecks ABC und verlängert man erstere, bis sie die Bildebene MN treffen, so geben die Verbindungslinien der Treffpunkte wieder ein Dreieck abc , welches die perspektivische Projektion des außerhalb der Bildebene liegenden Dreiecks ABC bildet. Die vom Augpunkte zu den Ecken gezogenen Geraden Oa , Ob , Oc nennt man Seh- oder Projektionsstrahlen. Unter einem Strahlenbündel versteht man die Gesamtheit von Strahlen, die durch den Augpunkt gelegt werden.

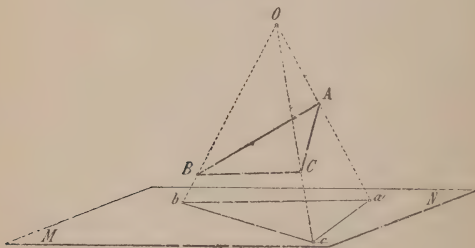


Fig. 4.

Um die perspektivische Projektion einer krummen Linie zu finden, wird man im allgemeinen die perspektivische Projektion einzelner Punkte derselben bestimmen und letztere mit einander verbinden. Unter den krummen Linien ist die wichtigste der Kreis. Um nun die perspektivische Projektion des Kreises zu bestimmen, führt man vom Augpunkte ein Strahlenbündel zu den Peripheriepunkten des gegebenen Kreises. Denkt man sich das Bündel aus unendlich vielen Strahlen bestehend, so bildet das Strahlenbündel die Mantelfläche eines Kegels, und die Schnittfigur der

letzteren mit der Bildebene stellt die perspektivische Projektion des Kreises dar. Nun wird die Mantelfläche eines Kreiskegels von einer Ebene nach einem Kreise, nach einer Ellipse, Hyperbel oder Parabel geschnitten; folglich kann die perspektivische Projektion eines Kreises ein Kreis, eine Ellipse, Parabel oder Hyperbel sein. Ist die Bildebene der Kreisebene parallel, so ist die perspektivische Projektion des Kreises wiederum ein Kreis. Ist die Ebene des Kreises gegen die Bildfläche geneigt, so erhält man als perspektivische Projektion des Kreises eine andere der genannten Figuren. Geht endlich die Ebene des Kreises durch das Auge, so ist sein perspektivisches Bild eine gerade Linie, weil das Strahlenbündel eine Ebene bildet und diese die Bildebene nur nach einer Geraden schneiden kann.

Um die Erdoberfläche am einfachsten und natürlichsten nach den Gesetzen der Perspektive darzustellen, bedient man sich des nachstehenden Verfahrens. Man denkt sich aus dem Mittelpunkte C (Fig. 5) der wirklichen Erdkugel eine andere kon-

zentrische Kugel von kleinerem Halbmesser r beschrieben und zu jedem Punkte der Kugel-
fläche die entsprechenden Erdradien gezogen: dann sind die

Durchschnittspunkte dieser Radien mit der kleineren konzentrischen Kugel-
fläche die zentralen Projektionen jener Punkte auf dieser Kugel-
fläche; so ist z. B. a die Projektion von A , b jene von B . Auf

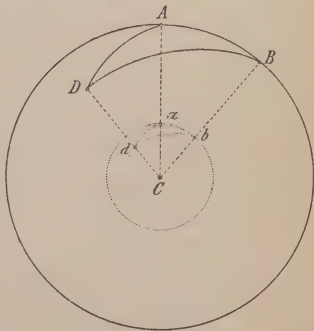


Fig. 5.

letzterer Kugel, welche der künstliche Erdglobus genannt

wird, befinden sich die einzelnen Punkte in denselben gegenseitigen Lagen, wie in der Wirklichkeit, und ihre Entfernungen verhalten sich zu jenen in der Natur wie der Halbmesser des künstlichen Globus r zum Halbmesser der Erde R . Man hat in der That, weil $A B$ und $a b$ konzentrische Bögen sind:

$$a b : A B = a C : A C = r : R,$$

woraus

$$a b = \frac{r}{R} A B,$$

d. h. $a b$ ist gegenüber $A B$ im Verhältniß $\frac{r}{R}$ verkleinert.

Projiziert man noch einen dritten Punkt D , so ist ebenso:

$$a d = \frac{r}{R} A D, \quad d b = \frac{r}{R} D B \text{ also:}$$

$$a b : a d : d b :: A B : A D : D B.$$

Da auch die entsprechenden sphärischen Winkel in den beiden sphärischen Dreiecken $A B D$ und $a b d$ einander gleich sind, so sind somit diese beiden sphärischen Dreiecke ähnlich, oder das Bild $a b d$ ist dem Bilde $A B D$ ähnlich. Die Abbildung auf dem Globus stimmt also völlig mit dem Original überein, sie ist nur im Verhältniß $r : R$ linear verkleinert.

Derlei künstliche Globen werden zwar für den ersten Unterricht in der Geographie verwendet, doch eignen sie sich nicht für das weitere geographische Studium, weshalb man zu anderen Abbildungsmethoden greifen muß.

Zur Vereinfachung des Ausdruckes werden wir in der Folge immer annehmen, die Erde sei auf einem künstlichen Globus abgebildet und es handle sich um die Abbildung der Fläche dieses Globus. Sagen wir also, ein Kreis oder die Grade eines Kreises werden in ihrer natürlichen Größe wiedergegeben, so handelt es sich immer um die Größe der bezüglichen Stücke auf dem Globus.

Orthogonalprojektion der Raumgebilde auf zwei Projektionsebenen.

Die Perspektive unterscheidet sich von der geometrischen Zeichnungslehre dadurch, daß sie die betreffenden Gegenstände so wiedergiebt, wie sie in ihren Formen und Verhältnissen in der Natur, von einem gewissen Standpunkte aus betrachtet, uns erscheinen, nicht aber, wie sie wirklich sind. Letzteres bezweckt das geometrische Zeichnen.

Geradeso wie man die Lage des Punktes in der Ebene durch Beziehung auf zwei senkrechte Gerade bestimmt, erfolgt dies im Raume durch Beziehung auf zwei aufeinander senkrechte Ebenen, wovon die eine horizontal, die andere vertikal stehend angenommen wird. Sind $A B$ und $A C$ (Fig. 6) zwei solche Ebenen, und fällt man vom gegebenen

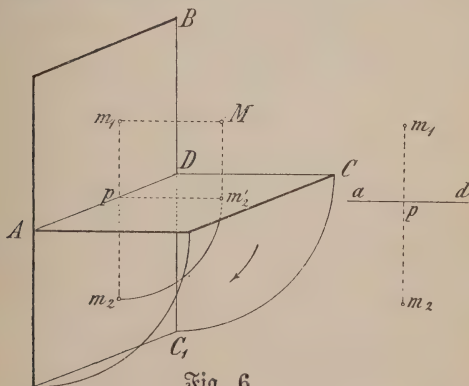


Fig. 6.

Punkte M aus die Lote $M m_1 \perp A B$, $M m'_2 \perp A C$, so nennt man die Fußpunkte m_1 und m'_2 der Senkrechten $M m_1$ und $M m'_2$ beziehungsweise die Vertikal- und die Hori-

horizontalprojektion des Punktes M . Die Lage eines Punktes M im Raum ist vollständig bestimmt, sobald seine beiden Projektionen m_1 und m'_2 auf die Grundebenen gegeben sind; man hat offenbar in m_1 und m'_2 auf diesen Ebenen Lote zu errichten, so stellt der Schnittpunkt dieser Lote die gesuchte Lage des Punktes dar. Denkt man sich die Ebene AC um die Gerade AD nach abwärts gedreht, bis sie in die Verlängerung AC_1 der Ebene AB zu liegen kommt, so stellen m_1 und m_2 die zwei Projektionen des Punktes M dar. Beim Zeichnen auf dem Papiere genügt es, die Achse ad (auch Grundschnitt genannt) darzustellen, in welcher sich die beiden Ebenen schneiden, und zwar pflegt man sie horizontal zu stellen, wodurch die Projektionsstrahlen $m_1 p$ und $m_2 p$ in eine einzige, zu ad senkrechte und somit vertikale Gerade fallen.

Soll irgend ein Körper in den beiden Projektionen dargestellt werden, so müssen genügend viele Punkte desselben auf beide Ebenen projiziert werden.

Erster Teil.

Die Kartenprojektionslehre.

Erstes Kapitel.

Die älteren Kartenprojektionen.

§ 1. Älteste Versuche der Länderabbildung.

Schon die ältesten Völker fühlten das Bedürfnis, Teile der Erdoberfläche in der Ebene abzubilden, aber die Nachrichten, die wir über die Darstellungen einzelner kleiner Gebiete haben, sind nur karg und unbestimmt. An bildliche Darstellungen der ganzen Erde wagten sich zuerst die Gelehrten des universell beanlagten Griechenvolkes. Sicher ist es, daß Anaximander aus Milet (um 580 v. Chr.) die damals bekannte Erde auf einer Erztafel darstellte, daß Aristagoras auf seiner Gesandtschaftsreise nach Griechenland (500 v. Chr.) ein in Erz gegrabenes Erdbild mitführte, daß zur Zeit des Aristophanes ein solches Erdbild die Bewunderung der Athener hervorrief, und daß Herodot schon davon spricht, daß es der Kartenzeichner bis auf seine Zeit schon viele gegeben habe. Den Wert dieser Abbildungen darf man nicht zu hoch anschlagen: es waren mehr Erdbilder, d. h. zeichnerische Wiedergaben vager Vorstellungen von fremden Ländern, als Erdkarten, genaue mit Absicht hergestellte Abbilder der Erdoberfläche nach der Größe und gegenseitigen Lage der Erdräume. In Anlehnung an mythische Vorstellungen scheinen

sie sämtlich kreisrund gewesen zu sein; sie entbehrten vermutlich jeder mathematischen Grundlage und Projektionsmethode.

In späterer Zeit entwarfen Dikäarch (320 v. Chr.), Eratosthenes und Posidonius (80 v. Chr.) graphische Darstellungen der bekannten Länder, die im einzelnen wohl besser und genauer entworfen, dennoch der Beachtung wissenschaftlicher Ueberlegungen fast ganz ermangelten. Wie naiv und unmathematisch man auch bei diesen späteren Versuchen noch verfuhr, beweisen Strabos Ausführungen in seiner Geographie (15—24 n. Chr.). Die Lehre von der Kugelgestalt der Erde hatte sich in der Gelehrtenwelt zur Anerkennung durchgerungen, und Strabo wußte auch, daß sich die Kugelfläche nicht so einfach verebnen läßt, aber über diese letztere Schwierigkeit dachte er sich leicht hinwegsetzen zu können. „Es liegt wenig daran, daß die Meridian- und Parallelkreise durch gerade, auf einander senkrechte Linien dargestellt werden, da man sich ja aus den in den ebenen Landkarten angegebenen Größen und Formen immerhin eine Vorstellung von den wirklichen Verhältnissen auf der Kugel machen kann. Auch wäre es überflüssig, das Zusammenlaufen der Meridiane gegen den Pol auf dem Kartenblatte ersichtlich machen zu wollen; es genügt die Einbildungskraft, um das zu ersetzen, was der Karte mangelt.“ Auf solchen Grundsatz gestützt, dachte sich also Strabo die abzubildenden Länder alle in einer Ebene liegend und wandte für die Bestimmung der gegenseitigen Lage der Orte die Methode der rechtwinkligen Koordinaten an (S. 12). Als Koordinatenachsen zog er nach dem Vorbilde des Dikäarch (das „Diaphragma“) auf dem Papierblatte zwei senkrechte Gerade, von denen die eine den Parallelkreis von Rhodus vorstellte; im Sinne der geographischen Breite theilte dieser die damals bekannte Erde in zwei Hälften. Senkrecht auf diese legte er

den Meridian von Rhodus an, der nach der Ansicht der Alten auch durch Syene, Alexandria und Byzanz ging, und erhielt so das gewünschte Koordinatensystem, wie jenes in Fig. 2 gezeichnete. Nun zeichnete er in das Blatt die anderen Punkte der Erde nach ihren Entfernungen von diesen beiden Hauptachsen ein. Daß ein solches Verfahren zu keiner besonderen Genauigkeit führen konnte, wußte Strabo selbst. Deshalb schrieb er, man müsse diese Entfernungen auf eine größere Anzahl von Meridianen und Parallellkreisen beziehen, zu diesem Zwecke müßte man aber die bezüglichlichen geographischen Längen und Breiten genau kennen. Und darin lag die Schwierigkeit der Kartographierung. Denn wenn man auch seit Hipparch die Theorie der astronomischen Rechnungs- und Beobachtungsmethoden genügend ausgebildet hatte, so entsprach dem doch nicht die Praxis der Beobachtungen, theils weil die Instrumente, mit deren Hilfe astronomische Beobachtungen auszuführen sind, nicht ausreichten, theils weil die Möglichkeit korrespondierender Beobachtung nahezu ausgeschlossen war. Aus dem ganzen Altertum kennen wir nur 3 bis 4 mit Hilfe des Gnomon ausgeführte Breitenbestimmungen und nur eine gelegentliche Längenberechnung Karthago-Arbela! In Ermangelung astronomischer Ortsbestimmungen half man sich mit Distanzberechnungen, die indessen allein auch nicht genügen und noch Richtungsbestimmungen erfordern. Für die Entfernungen verließ man sich ganz auf die Schätzung der Land- und Seereisenden, und wie unsicher diese ausfielen, beweisen uns die Erdmessungsversuche des Eratosthenes und des Posidonius,¹⁾ deren Ergebnisse um 10 000 Stadien von einander abweichen. Für Richtungsbestimmungen fehlte noch ein auf die Nordweisung der Magnetnadel gegründetes Instrument.

¹⁾ Vergl. Sammlung Göschel Nr. 11, Astronomie.

§. 2. Die Projektionen auf abwickelbare Flächen.

1. Die cylindrischen Projektionen.

Die weltberühmte Stadt des Altertums, Alexandria in Aegypten, war unter den Ptolemäern der Mittelpunkt der exakten Wissenschaften. Entsprechend unseren heutigen wissenschaftlichen Akademien wurde daselbst das Museum gegründet, in dem gelehrte Männer sich gänzlich der Wissenschaft widmeten und zu diesem Zwecke aus königlichen Mitteln einen ehrenvollen Unterhalt erhielten. Aus diesem Vereine erwuchsen bedeutende Förderer der Mathematik und Astronomie, unter ihnen Eratosthenes und mehrere Jahrhunderte später der Astronom und Geograph Claudius Ptolemäus (um 120 n. Chr.), dessen Geographie wir oft zu nennen haben werden. Im 24. Kapitel des ersten Buches dieses Werkes behandelt Ptolemäus die Landkartenkonstruktion, und es spielen dabei die Plattkarten die wichtigste Rolle. Diese beruhen auf der Methode der Cylinderabwicklung.

Da ein Kugelmantel als doppelt gekrümmte Fläche nicht abzuwickeln und in der Ebene auszubreiten ist, kam man schon im Altertum auf den Ausweg, die Zeichnung der Kugeloberfläche auf den Mantel eines der Kugel sich möglichst anschmiegenden Körpers zu übertragen und dann diesen abzuwickeln. Als ein solcher Körper bot sich zunächst der Cylinder dar.

Es sei $AP A_1$ (Fig. 7) die halbe Erdkugel, $A A_1$ der Aequator, P der eine Pol, O der Mittelpunkt der Erde und $A A_1 D_1 D$ eine Cylindersfläche, welche die Halbkugel längs des Aequators berührt. Führt man von dem im Mittelpunkte O gedachten Auge Sehstrahlen nach mehreren Punkten der Erdoberfläche, so treffen sie verlängert die Cylindersfläche, und die ent-

stehenden Schnittpunkte bilden die cylindrischen Projektionen der bezüglichen Erdpunkte.

So ist B cylindrische Projektion von b, C jene von c.

Alle nach Punkten eines und desselben Meridians gezogenen Sehstrahlen, wie Ob,

Oc, liegen in der Ebene dieses Meridians, welche auf der

Aequatorebene senkrecht steht. Die Aequatorebene ist aber

gleichzeitig die Grundfläche des Cylinders;

die Meridianebene

steht somit senkrecht auf der Cylinderbasis und enthält in sich die mit der Erdachse zusammenfallende Cylinderachse. Eine solche Ebene schneidet die Mantelfläche des Cylinders nach zwei Geraden, also werden auch die zu Punkten eines und desselben Meridians gezogenen Sehstrahlen Projektionen ergeben, die in einer geraden Linie liegen. Es wird somit A D die Projektion von A P, A₁ D₁ die Projektion des Gegenmeridians A₁ P sein. Ebenso werden die Projektionen M und N der im Meridian P E liegenden Punkte m und n auf der Geraden E F liegen, welche die Projektion des Meridians E P darstellt.

Wickelt man die Cylinderfläche A A₁ D₁ D ab, so wird

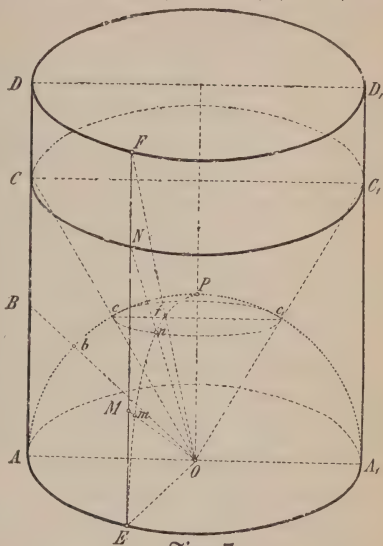


Fig. 7.

der Aequator AA_1 als gerade Linie erscheinen, während gerade, auf dem Aequator senkrecht stehende Linien die Projektionen der Meridiane darstellen.

Führt man Sehstrahlen nach verschiedenen Punkten eines und desselben Parallelkreises, wie z. B. Oc , On , Oc_1 , so werden die sich ergebenden Schnittpunkte in gleichen Abständen vom Aequator liegen. Denn man hat:

Bogen $Ac = \text{Bogen } En = \text{Bogen } A_1c_1$, daher auch:

$$\sphericalangle AOC = \sphericalangle EON = \sphericalangle A_1OC_1.$$

Nun haben die rechtwinkligen Dreiecke AOC , EON und A_1OC_1 außer den Winkeln AOC , EON und A_1OC_1 auch die Katheten AO , EO und A_1O (als Halbmesser derselben Kugel) gleich, die Dreiecke sind somit kongruent; daher $AC = EN = A_1C_1$. Dasselbe gilt für die Projektionen aller anderen Punkte des gleichen Parallelkreises; wenn man daher die Cylinderfläche abwickelt, werden die Parallelkreise als gerade Linien erscheinen, welche mit dem Aequator parallel laufen.

Das System der Meridian- und Parallelkreise bildet das Gradnetz der Karte, und dieses wird, wie wir sehen, in der cylindrischen Projektion durch ein System von geraden, auf einander senkrecht stehenden Linien wiedergegeben. Strabo und wahrscheinlich auch seine Vorgänger Dikäarch und Eratosthenes benutzten bei ihren Kartenentwürfen dieses System; letzterem fielen auch bereits einige Mängel desselben auf, die er aber für zu unbedeutend hielt. Es liegt nämlich immerhin ein Widersinn in dem Umstande, daß Linien, welche auf der Kugel Kreise sind, in der Ebene als Gerade erscheinen. Die Parallelkreise verengen sich ferner auf der Kugeloberfläche, in der cylindrischen Projektion sind sie alle untereinander gleich und gleich dem Aequator. Die Meridiankreise konvergieren auf der Erde gegen die Pole, in unserer Projektion stehen sie zu

einander parallel. Daraus entsteht aber eine Verunstaltung, eine Auseinanderzerrung der Länderform, und zwar in um so größerem Maße, je größer die geographische Breite wird.

Da sich der Aequator in seiner natürlichen Größe abwickelt, werden die Längengrade untereinander gleich sein, man wird also die abgewickelte Linie in 360 gleiche Teile einzuteilen haben.

Die Breitengrade wachsen dagegen im Verhältniß zur Tangente der geographischen Breite; denn es ist:*) $AB = R \operatorname{tg} AOB$, $AC = R \operatorname{tg} AOC$ u. s. w. Da $\operatorname{tg} 90^\circ = \infty$ ist, kann man den Pol in dieser Projektion gar nicht darstellen, was unmittelbar aus der Figur ersichtlich ist, da der zum Pol geführte Sehstrahl OP parallel zu den Cylindermantellinien wird. Um also die Breitenskala etwa von 5° zu 5° zu konstruieren, müßte man den Halbmesser des künstlichen Globus mit $\operatorname{tg} 5^\circ$, bezw. $\operatorname{tg} 10^\circ$, $\operatorname{tg} 15^\circ$ multiplizieren und die erhaltenen Werte, vom Aequator anfangend, auf die Meridiane auftragen.

In dieser Form wird die cylindrische Projektionsart jedoch nicht verwendet; man leitet aus derselben eine andere Methode des Entwurfes ab, die sogenannte äquidistante Cylinderprojektion. Anstatt nämlich die Breitengrade zu vergrößern, macht man sie einander gleich und gleich den Aequatorgraden; die darauf gegründeten Karten sind die sogenannten Plattkarten. Zieht man in denselben die Meridiane und Parallelkreise in gleichwertigen Abständen z. B. von 5° zu 5° , so besteht das so entstandene Netz aus gleichen Quadraten, und deshalb werden solche Karten auch quadratische Plattkarten genannt.

*) Ein für allemal wird der Kugelradius mit R bezeichnet.

Diese Art der Plattkarten sind von Marinus von Thyruß, einem nur aus Ptolemäus „Geographie“ bekannten Geographen des ersten Jahrhunderts unserer Zeitrechnung, erdacht worden. Er ist der eigentliche Begründer der mathematischen Kartographie. Er erkannte auch den störenden Fehler der quadratischen Plattkarte und änderte deshalb ihren Entwurf ab. Weil nämlich die Parallelkreise alle in gleicher Größe wiedergegeben sind, ist die Längenverzerrung der in höheren Breiten gelegenen Parallelkreise und somit der bezüglichlichen Länder eine zu starke. Marinus wollte dem abhelfen, indem er die Cylinderfläche nicht tangential an den Aequator anlegte, sondern dieselbe beim Parallelkreis von 36° n. Br. in die Kugel eindringen ließ, sodaß die Basis der Cylinderfläche diesem Parallelkreis gleich wurde. Wickelt man jetzt die Cylinderfläche ab, so wird nunmehr der Parallelkreis von 36° n. Br. in seiner natürlichen Größe wiedergegeben. Marinus ließ diese Eigenschaft dem Parallelkreis von 36° zukommen, weil dieser, wie schon erwähnt, als Parallel von Rhodus die damals bekannte Welt im Sinne der Breite in zwei gleiche Teile teilte. Heutigentags läßt man die Cylinderfläche beim mittleren Parallelkreis des abzubildenden Landes eindringen, d. h. bei jenem Parallelkreis, der von den äußersten Parallelkreisen gleich weit absteht. Hierbei erscheinen die Parallelkreise in den höheren Breiten etwas größer, in den tieferen etwas kleiner als in Wirklichkeit; nur der mittlere Parallelkreis stellt sich in wahrer Größe dar. Man nennt derartige Karten Plattkarten im engeren Sinne.

Das Netz einer solchen Karte wird, wie folgt, gezeichnet: Man zieht die auf einander Senkrechten AB, CD (Fig. 8),

welche durch den Mittelpunkt O des darzustellenden Landes gehen; die Linie A B stellt alsdann den mittleren Parallelkreis, die Linie C D den mittleren Meridian des Landes dar. Vom Punkte O aus trägt man auf C D nach oben und unten gleiche Teile auf, und diese stellen die Breitengrade vor. Ist R der Halbmesser des künstlichen Globus, welcher der Projektion zu Grunde liegt, so

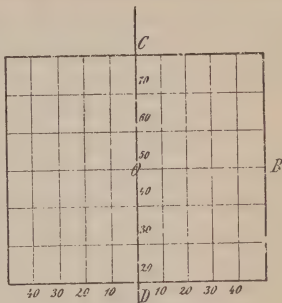


Fig. 8.

ergibt sich die Größe eines Breitengrades $g = \frac{2 R \pi}{360}$. Nun

sind auf A B die Längengrade aufzutragen. Wir sehen, daß die Bogenlänge l_1 der Parallelkreisgrade in der Breite φ gleich $l \cos \varphi$ ist, wenn l die Bogenlänge des Äquatorgrades bedeutet (S. 11). Auf der Kugel sind aber die Bogenlängen der Äquator- und Meridiangrade einander gleich, d. h. $l = g$, weil Äquator und Meridiane größte Kreise sind. Ist also φ die geographische Breite des mittleren Parallelkreises (A B), so sind die auf A B aufzutragenden Teile $l_1 = g \cos \varphi$.

Durch die erhaltenen Punkte führt man zu A B und C D parallele Gerade und erhält so das Netz.

Macht man die Meridiangrade auf der Plattkarte irgend einer Längeneinheit, z. B. 1 cm gleich, so ist die lineare Ausdehnung der Längengrade für nachstehende Breiten folgende ($l_1 = 1 \cos \varphi$ cm):

$\varphi = 10^\circ$	$l_1 = 0,985$	cm	$\varphi = 50^\circ$	$l_1 = 0,643$	cm
$\varphi = 20^\circ$	$l_1 = 0,940$	"	$\varphi = 60^\circ$	$l_1 = 0,500$	"
$\varphi = 30^\circ$	$l_1 = 0,866$	"	$\varphi = 70^\circ$	$l_1 = 0,342$	"
$\varphi = 40^\circ$	$l_1 = 0,766$	"	$\varphi = 80^\circ$	$l_1 = 0,174$	"

Auf einem derartigen Netz sind die Längengrade kleiner als die Breitengrade, die Netzmaschen bilden Parallelogramme (resp. Rechtecke), weshalb man solche Karten auch parallelogrammatrische Plattkarten nennt.

Ptolemäus scheint ein Menschenalter nach Marinus fast nur die Theorie dieses seines Vorgängers ausgebaut zu haben. Ob seine Geographie, die in 8 Büchern zunächst die Prinzipien der mathematischen Geographie und der Kartenzeicherkunst und dann eine Aufspeicherung nach Breite und Länge festgelegten Kartenmaterials enthält, mit Karten versehen war, ist fraglich. Erhalten sind uns sicherlich nur die Zeichnungen, die auf Grund dieses Materials im fünften Jahrhundert unserer Zeitrechnung ein gewisser Agathodämon, zum Teil fehlerhaft, zusammenstellte.

Im 8. Buch seiner Geographie gab Ptolemäus Anweisungen, wie man das Bild der bekannten Erdoberfläche auf einem Atlas von 26 Karten zu entwerfen habe. Für diese 26 Spezialblätter bediente er sich der Marinus'schen Projektion, die ihm genügend genau erschien. Dagegen sah er ein, daß für die Abbildung großer Flächen die Plattkarten ungeeignet sind. Denn bewahrt man das richtige Verhältnis der Längengrade auf dem mittleren Parallelkreis der Karte, so wird dieses richtige Verhältnis bei den äußeren Parallelkreisen nicht bestehen und die Störung um so bedeutender ausfallen, je größer das abzubildende Land in seiner Breitenausdehnung ist. Erstreckt sich z. B. die Karte von 20° bis 60° in der Breite, so ist der mittlere Parallelkreis jener von 40° , und die Parallelkreisgrade bewahren zu den Meridiangraden überall das Verhältnis von $0,766 : 1$ (siehe obige Tabelle). Das richtige Verhältnis sollte aber bei 20° (am unteren Rande bei nördlichen Breiten) $0,940 : 1$, bei 60°

(am oberen Rande) 0,500 : 1 sein. Um diese Verzerrungsfehler zu verringern, schlug Ptolemäus daher für die Abbildung größerer Flächen, also für die Zeichnung einer Uebersichtskarte der ihm bekannten Erde, zwei ihm eigenthümliche Kegelprojektionen vor.

2. Die Kegelprojektionen.

Statt eines Cylinders kann man auch den Kegel, als einen der Kugel sich anschmiegenden Körper, zur Uebersetzung der Zeichnung der Kugel auf eine abwickelbare Mantelfläche benutzen. Man legt an den darzustellenden Teil des Globus eine tangentielle Kegelfläche, auf welche man die Einzelheiten der Kugeloberfläche projiziert, und wickelt erstere in eine Ebene ab. Die Lage der Kegelfläche wählt man so,

daß sie die Erde im mittleren Parallelfreis A G B (Fig. 9) des darzustellenden Landes berührt. Der Scheitel C dieser Kegelfläche liegt in der Verlängerung der Erdachse P' P. Die verlängerten Meridianebenen werden Achsenschnitte verursachen und die Kegelfläche nach Mantellinien schneiden; so schneidet z. B. die Verlängerung der Ebene des Meridians P M G N P'

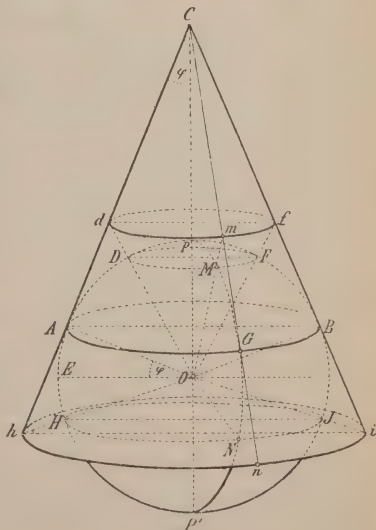


Fig. 9.

den Kegel nach der Mantellinie $CmGn$. Führt man vom Mittelpunkte der Kugel Sehstrahlen nach unendlich vielen Punkten eines Parallelkreises DF , so bildet das so entstehende Strahlenbündel eine zweite Kegelfläche, und die zwei Kegelflächen schneiden sich, da ihre Scheitel auf der gemeinschaftlichen Achse liegen, längs einer Kreislinie df . Wickelt man jetzt den Kegelmantel ab, so werden die Projektionen der Meridiane als konvergierende gerade Linien, jene der Parallelkreise als konzentrische Kreisbögen mit dem gemeinschaftlichen Mittelpunkt im Scheitel des Kegels erscheinen. Der Parallelkreis, längs welchem die Berührung

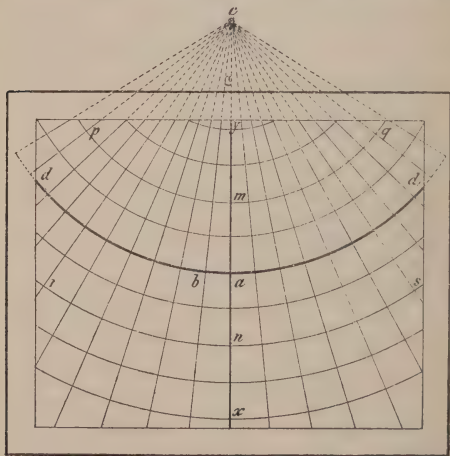


Fig. 10.

von Kegel- und Kugelfläche erfolgte, wird in seiner natürlichen Größe wiedergegeben. Die so entstehende Projektion nennt man eine reine Kegelprojektion.

Als die gebräuchlichste Abart dieser reinen Regelprojektion entsteht die äquidistante Regelprojektion, wenn man das Liniensystem beibehält, die Breitengrade unter sich gleich macht und den mittleren Parallelkreis in seiner richtigen Größe wiedergiebt. Zu diesem Zwecke muß zunächst die Kegelseite CA berechnet werden. Ist φ (Fig. 9) die Breite des mittleren Parallelkreises AB , R der Halbmesser des Globus (AO), so ist $\sphericalangle EOA = \varphi = \sphericalangle ACO$. Aus dem rechtwinkligen Dreiecke ACO folgt nun: $AC = R \cotg \varphi$.

Es wird also der Mittelmeridian der Karte cx (Fig. 10) ausgezogen und von c als Mittelpunkt mit dem Halbmesser $ca = R \cotg \varphi$ der Bogen dd_1 beschrieben, welcher die Projektion des mittleren Parallels darstellt. Die Meridiane grade

sind $l = \frac{2 R \varphi}{360}$ lang; diese trägt man auf der Linie cx von a

aus gegen oben und unten ab. Durch die Teilpunkte führt man von c als Mittelpunkt konzentrische Bögen. Um die Meridiane der Karte zu konstruieren, berechnet man am besten den Centriwinkel α , welcher der Größe des mittleren Parallelkreisgrades ab entspricht. Die Bogengröße l_1 eines Parallelgrades in der Breite φ ist (S. 11):

$$l_1 = l \cos \varphi = \frac{2 R \pi}{360} \cos \varphi = ab.$$

Da nun $ab : 2 ac \cdot \pi = \alpha : 360$,

und $ab = l \cos \varphi$, $ac = R \cotg \varphi$ ist, so ergibt sich:

$$l \cos \varphi : 2 R \cotg \varphi \pi = \alpha : 360$$

$$\text{d. h. } \alpha = \frac{l \cos \varphi \cdot 360}{2 R \pi \cotg \varphi}, \text{ und da } l = \frac{2 R \pi}{360},$$

$$\alpha = \frac{2 R \pi}{360} \cdot \frac{\cos \varphi \cdot 360}{2 R \pi \cotg \varphi} = \frac{\cos \varphi}{\cotg \varphi} = \sin \varphi.$$

Ist die Breite des Mittelparallels 50° , so ist $\sin 50^\circ$

= 0,766, also $\alpha = 0,766^\circ$. Durch wiederholtes Anlegen dieses Winkels an $c a$ zu beiden Seiten läßt sich das Meridiansystem in die Karte einzeichnen.

Die äquidistante Regelprojektion ist für Länder, die von Nord nach Süd nicht zu ausgedehnt sind, zu empfehlen, weil sie bei leichtem Entwurf nur mäßige Verzerrungen liefert.

Ptolemäus schlug diese Projektion für die Abbildung der Erde vom Aequator bis zur Nordgrenzlinie der ihm bekannten Erde vor und wählte als mittleren Parallellkreis wiederum denjenigen der Insel Rhodus. Um aber die Verzerrungen an dem oberen und unteren Rand der Karte zu beseitigen, erdachte Ptolemäus eine andere Modifikation dieser Projektionsmethode.

Er zeichnete den Mittelmeridian der Karte als gerade Linie auf das Blatt und theilte sie in gleiche Teile ein, welche den Breitengraden entsprechen. Ueber die Art und Weise, wie er den Mittelpunkt der Parallellkreise auf dem Mittelmeridian bestimmte, sind die Ausleger der „Geographie“ nicht ganz einig; nach Delambre sollte dieser Mittelpunkt vom Aequator $181^\circ 50'$ entfernt gewesen sein. Von diesem Mittelpunkt aus führte er durch die Breitengrade konzentrische Kreisbögen und erhielt so die Parallellkreise. Anstatt nun einen einzigen Parallellkreis nach dem richtigen Verhältniß wie auf der Kugel zu theilen, that er dies auf deren vier, und zwar auf den Parallellkreisen von Thule und Meroë (am Nil), als den äußersten der damals bekannten Welt, und auf jenen von Syene (gegenwärtig Assuan) und Rhodus. Endlich machte er die Aequatorgrade den Meridiangraden gleich, wie dies auf der Kugel der Fall ist. Durch die je 5 gleichwertigen Theilungspunkte legte er Verbindungslinien, also Kurven, keine Kreisbögen, und erhielt so die Meridiane. Diese Pro-

jektion nennt D'Abzac in mißverständlicher Auffassung eines Ausdrucks des Ptolemäus die homeotäre.

§ 3. Die perspektivischen Projektionen.

1) Die orthographischen Projektionen.

Bei den perspektivischen Darstellungen der Kugeloberfläche, die im Altertum nur für die Zeichnung von Himmelskarten verwendet wurden, ist zunächst die Lage des Auges und der Bildebene zu bestimmen.

Bei der orthographischen Projektion liegt der Augpunkt im Unendlichen, und die Projektionsebene wird senkrecht zu den parallelen Projektionsstrahlen angenommen. Je nachdem nun diese Projektionsstrahlen parallel zur Erdachse oder parallel zur Ebene des Erdäquators oder parallel zu einem beliebigen Erdhalbmesser sind, unterscheidet man die orthographische Polar-, bzw. orthographische Äquatorial-, bzw. orthographische Horizontalprojektion. Projiziert man die darzustellende Erdkugel auf zwei zu einander senkrechte Grundebenen, (vgl. S. 19 f.) von denen die eine (Horizontalebene) auf der Erdachse senkrecht steht, so stellt die Horizontalprojektion die orthographische Polarprojektion (Fig. 11 a) und die Vertikalprojektion (Fig. 11b) die orthographische Äquatorialprojektion dar. Bei ersterer liegt der Mittelpunkt der darzustellenden Halbkugel in einem der Pole p (Fig. 11a); die Parallelkreise projizieren sich als Kreise in wahrer Größe und die Meridiane als gerade Linien (Halbmesser). Bei letzterer liegt der Mittelpunkt der darzustellenden Halbkugel auf dem Äquator, z. B. unter 0° Länge (Fig. 11b). Die Parallelkreise werden gerade Linien senkrecht zur Erdachse, und die Meridiane stellen

sich als Ellipsen dar, welche die Erdachse als gemeinschaftliche große Achse besitzen. Der durch den Nupunkt gehende Mittelmeridian dagegen projiziert sich als gerade Linie, welche

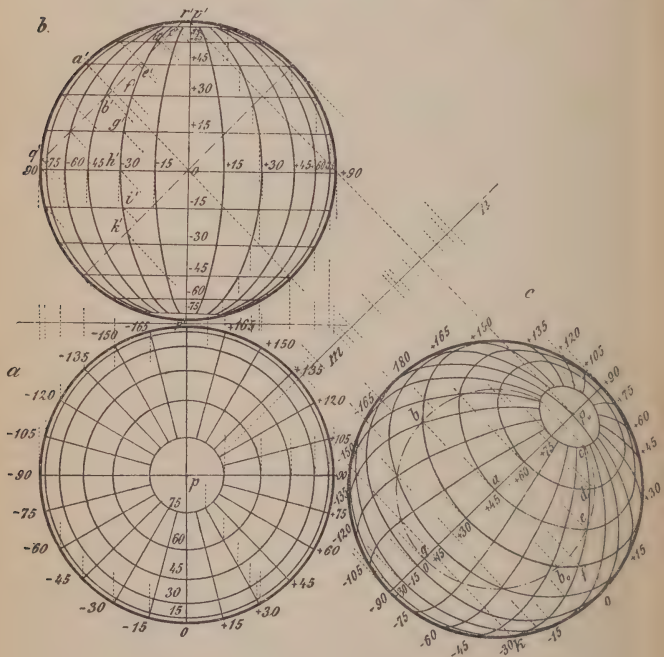


Fig. 11, a, b, c.

mit der Projektion der Erdachse zusammenfällt. Die Konstruktion dieser Ellipsen ergibt sich auf einfache Weise, indem man zu den Horizontalprojektionen der einzelnen Meridianpunkte die dazugehörigen Vertikalprojektionen bestimmt (Fig. 11 a und 11 b).

Liegt der Mittelpunkt der darzustellenden Halbkugel ganz beliebig, z. B. in A [bezw. in a' (Fig. 11b)] unter 45° nördl. Breite und 90° westl. Länge, so hat man die Projektionsebene senkrecht zu dem nach diesem Punkte gezogenen Erdhalbmesser anzunehmen und erhält dann die orthographische Horizontalprojektion. Dieselbe läßt sich aus der orthographischen Äquatorialprojektion leicht dadurch herleiten, daß man letztere (Fig. 11b) als die Vertikalprojektion einer solchen Lage der Erdkugel ansieht, bei welcher die Erdbachse der Vertikalebene parallel ist und mit der neuen Grundebene einen Winkel gleich der geographischen Breite von A bildet. Sämtliche Parallelkreise projizieren sich hier als Ellipsen, die sich mit Hilfe einiger Kreise parallel zur neuen Horizontalebene, z. B. des Kreises $q' r'$, bezw. des Kreises um a mit Radius $a q$ leicht konstruieren lassen; so erhält man z. B. zu b' die neue Horizontalprojektion b resp. b_0 . Die verschiedenen Meridiane werden ebenfalls Ellipsen, deren einzelne Punkte sich dadurch ergeben, daß man die neuen Horizontalprojektionen $c, d, e, f \dots$ der Schnittpunkte der verschiedenen Parallelkreise mit den einzelnen Meridianen bestimmt. Der durch A gehende Mittelmeridian dagegen projiziert sich als eine durch die Kartenmitte a gehende Gerade parallel zum neuen Grundschnitt $m n$.

Die Figuren 11a, b, c stellen eine Vereinigung der 3 orthographischen Projektionen dar. Diejenigen Gegenden, die in der Nähe der Kartenmitte liegen, werden bei der orthographischen Projektion sehr genau abgebildet; da aber die Zonenbreite von der Mitte nach dem Rande hin fortwährend abnimmt, so wird demgemäß die Abbildung um so ungenauer, je näher der betreffende Punkt am Kartenraude liegt. Man bedient sich deshalb dieser Projektion trotz ihrer plastischen Wirkung (Fig. 11c) nicht sehr gern. Ihre Anwendung scheint auf

Hipparch (160—125 v. Chr.) zurückzugehen; sie empfiehlt sich besonders für solche Himmelskörper, die sich uns, wie z. B. der Mond, von selbst orthographisch darstellen. Betrachtet man einen Globus aus großer Entfernung, so erscheint sein Gradnetz in nahezu orthographischer Projektion.

2) Die stereographischen Projektionen.

Der Begriff der Winkeltreue.

Bei der stereographischen Projektion befindet sich der Augpunkt in irgend einem Punkte der Erdoberfläche, und die Bildebene geht in der Regel durch den Mittelpunkt der Erdkugel. Diese, auch bereits von Hipparch erfundene Abbildungsart nannte Ptolemäus *Πλωσις επιφανείας σφαίρας* (Planisphärium), also zu deutsch „Verebnung der Kugeloberfläche.“

Je nachdem das Auge am Pol, am Aequator oder an einem beliebigen anderen Punkt gedacht wird, nennt man die Projektion stereographisch polar, stereographisch äquatorial oder stereographisch horizontal. Die Bildebene geht durch den Mittelpunkt der Erde und steht immer senkrecht auf dem zentralen Sehstrahl, also auf jenem Sehstrahl, den man zum Mittelpunkt des Globus führt. Bei der stereographischen Polarprojektion befindet sich demnach die Bildebene in der Ebene des Aequators, bei der stereographischen Äquatorialprojektion in der Ebene desjenigen Meridians, der um 90° vom Meridian des Augpunktes absteht, bei der stereographischen Horizontalprojektion fällt die Bildebene mit der Ebene des wahren Horizonts des Augpunktes zusammen. Man kann jedoch die Bildebene auch parallel zu diesen Stellungen verschieben und die Oberfläche der Erde berühren lassen.

Selbstverständlich wird bei den stereographischen Projektionen stets derjenige Teil der Kugel dargestellt, dessen Mitte der dem Augpunkte diametral gegenüberliegende Punkt ist.

Die Alten kannten nur die stereographische Polarprojektion, die Araber führten den Gebrauch der Horizontalprojektion ein.

Ist $A B C D$ (Fig. 12) die Kugel, A das Auge und $M N$ die Projektionsebene, so ist der Punkt f , in welchem der von A nach einem Punkt F der Kugeloberfläche gezogene

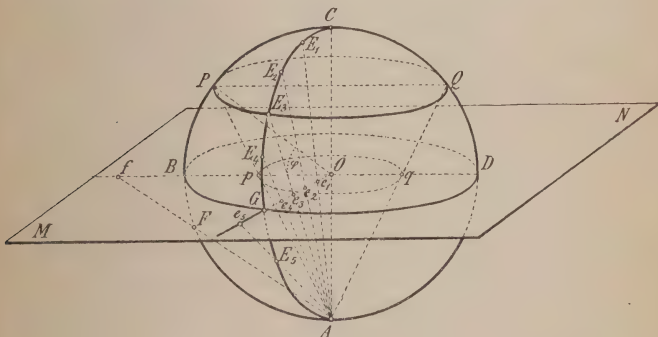


Fig. 12.

Sehstrahl die Bildebene trifft, die stereographische Projektion des Punktes F ; ebenso ist q die stereographische Projektion von Q . Ist A zugleich der eine Pol der Erde, so ist die Projektion stereographisch polar. In derselben erscheinen alle Meridiane als gerade Linien, die strahlenartig vom Mittelpunkt O der Projektion auslaufen. Zieht man nämlich die Sehstrahlen $A E_1 A E_2 A E_3 A E_4 \dots$ zu den Punkten $E_1 E_2 E_3 E_4 \dots$ des Meridians $C E_1 E_2 E_3 \dots A$, so bildet das so entstandene Strahlenbündel eine Ebene, welche

mit der Meridianebene $C G A$ zusammenfällt; diese kann die Projektionsebene nur in einer Geraden $O G$ schneiden. Die Projektion des Erdpols C liegt in O , und da alle Meridiane durch C laufen, müssen ihre Projektionen durch O gehen. Es wird also $O G$ die stereographische Projektion des Meridians $C G A$, $O B$ jene des Meridians $C B A$ sein. Die Meridianebenen $C B A$ und $C G A$ schließen den sphärischen Winkel $B C G$ ein, der durch den Aequatorbogen $B G$ gemessen wird; $B G$ ist aber auch das Maß des Zentriwinkels $B O G$, d. h. desjenigen Winkels, den die Projektionen der bezüglichen Meridiane einschließen. Also bilden die geradlinigen Projektionen der Meridiane Winkel, welche den Längengraden gleich sind. Der Aequator liegt in der Projektionsebene selbst und erscheint daher in seiner Größe unverändert. Die Parallelkreise erscheinen wieder als Kreise, und zwar sind sie mit dem Aequator konzentrisch; denn die zum Parallelkreis $P Q$ geführten Sehstrahlen bilden die Mantelfläche eines senkrechten Kreiskegels, welcher von der zur Basisebene parallelen Projektionsebene längs einer Kreislinie $p q$ geschnitten wird; der Sehstrahl $A C$ geht ferner durch die Mittelpunkte aller Parallelkreise; somit fallen die Projektionen sämtlicher Parallelkreismittelpunkte nach O . Um den Halbmesser r der Projektion eines Parallelkreises in der Breite φ zu berechnen, bedenke man, daß $\sphericalangle C O P = 90^\circ - \varphi$, somit $\sphericalangle C A P = \frac{1}{2} (90^\circ - \varphi)$ ist. Aus $\triangle A O p$ folgt aber, wenn man $A O = R$ setzt: $r = p O = R \operatorname{tg} (45^\circ - \frac{\varphi}{2})$.

Aus diesen Betrachtungen ergibt sich folgendes Verfahren für den Entwurf eines Netzes in stereographischer Polarprojektion:

Mit beliebigem, der Größe des gewählten Blattes entsprechenden Halbmesser (Fig. 13) beschreibe man einen Kreis $A B C D$, welcher den Aequator vorstellt. Will man das Maß etwa von 10° zu 10° haben, so nimmt man am Aequator diese Teilung vor und zieht durch die Teilungspunkte Halbmesser: dann stellen diese die Meridiane dar. Nun verbindet man

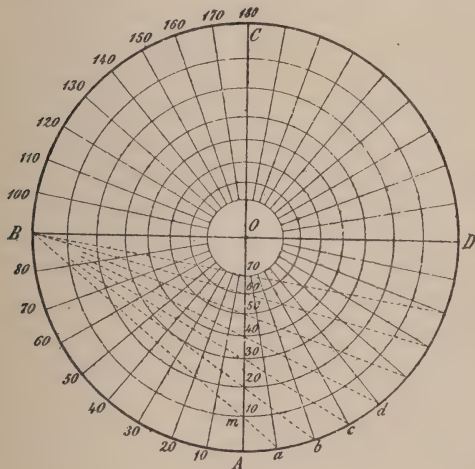


Fig. 13.

den Punkt B des Aequators mit den Punkten a, b, c, d u. f. w. der Längenteilung, welche den Längen $10^\circ, 20^\circ, 30^\circ, 40^\circ$ u. f. w. . . entsprechen. Wo diese Verbindungslinien den Meridian $A C$ treffen, hat man die Breitengradteilung entsprechend den Breiten von $10^\circ, 20^\circ, 30^\circ, 40^\circ$ u. f. w. . . Zieht man durch die so erhaltenen Punkte konzentrische Kreise, so erhält man die den Breiten $10^\circ, 20^\circ, 30^\circ, 40^\circ$ u. f. w. . . entsprechenden Parallelkreise.

Daß 3. B. O m wirklich der Halbmesser zum Parallelkreis von $\varphi = 10^\circ$ Breite ist, ergibt sich aus der Betrachtung des Dreiecks O B m. Es ist nämlich $\sphericalangle D O a = 90^\circ - \varphi$, daher $\sphericalangle D B a = 45^\circ - \frac{1}{2} \varphi$ und $O m = O B \operatorname{tg} (45^\circ - \frac{\varphi}{2})$ oder $O m = R \operatorname{tg} (45^\circ - \frac{\varphi}{2})$ wie oben, und folglich $O m = r$.

Aus Fig. 12 ergibt sich, daß wenn C der Nordpol ist, die ganze nördliche Hemisphäre innerhalb des Äquators, die südliche außerhalb desselben zu liegen kommt. Die Projektion f des Punktes F fällt schon ziemlich weit vom Mittelpunkt der Karte, und diese Entfernung wird unendlich groß für Punkte, die in nächster Nähe von A liegen. Die Darstellung der ganzen Erdoberfläche auf einem einzigen Blatte ist daher bei den stereographischen Projektionen unmöglich, und die Parallelkreise der anderen Hemisphäre liegen um so weiter vom Mittelpunkt des Blattes entfernt, je größer die betr. geographische Breite ist.

Der stereographischen Projektion kommen folgende wichtige Eigenschaften zu:

1. Die stereographischen Projektionen aller Kugellreise, welche nicht durch den Augpunkt gehen, werden wieder um Kreise.
2. Alle Winkel auf der Kugeloberfläche sind gleich den Winkeln in der Projektion, d. h., die Projektion ist winkeltreu.

Um den ersten Satz zu beweisen, betrachte man (Fig. 14) den Kugellreis T P Q R S. Ist nämlich M N die Bildebene, A der Augpunkt, C sein Gegenpunkt, p die stereographische Projektion von P, so ziehe man C P und O p, so ist $\sphericalangle C P A = \sphericalangle C O p = 90^\circ$, d. h., $\triangle C P A \sim \triangle p O A$; somit verhält sich:

$$A_p : AO = AC : AP, \text{ d. h., es ist}$$

$A_p \cdot AP = AO \cdot AC$. Ebenso läßt sich beweisen, daß

$$A_q \cdot A_Q = A_O \cdot A_C$$
$$A_r \cdot AR = AO \cdot AC$$
$$A_S \cdot A_S = A_O \cdot A_C \text{ ist;}$$

..... somit ist

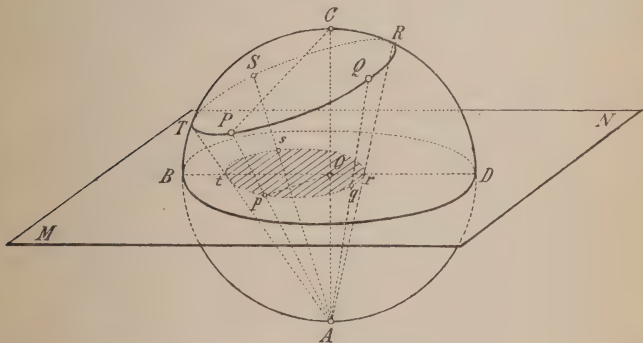
$$\begin{aligned} A_p \cdot A_P &= A_q \cdot A_Q = A_r \cdot A_R = A_s \cdot A_S = \dots \\ &= A_O \cdot A_C \text{ d. h. konstant.} \end{aligned}$$


Fig. 14.

Es liegt somit der Kugelfreis und seine Projektion auf einer und derselben Kugelfläche; da aber die Projektion auch in der Ebene MN liegt, so liegt sie auf einer Kugel und in einer Ebene zugleich, kann also nichts anderes als ein Kreis sein.

Um die Eigenschaft der Winkeltreue zu beweisen, legen wir (Fig. 15) an die Kreise xy und uz in deren Schnittpunkt A die Tangenten AF und AG an, so ist $\angle FAG$ das Maß des von xy und uz gebildeten sphärischen Winkels und FG die Durchschnittslinie

der durch FAG gedachten Ebene mit der Bildebene. Die Projektion des Punktes A ist a . Denken wir uns a mit F und G verbunden, so sind aF und aG die Projektionen von AF und AG und folglich die Tangenten zu den Projektionskreisen, und FaG die Projektion von FAG .

Um zu beweisen, daß $\sphericalangle FaG = \sphericalangle FAG$ ist, lege man durch A , O und Q den größten Kreis OAQ und ziehe an letztern in A die Tangente AB , welche FG in B schneidet. Da nun die Ebenen AFG und ST gleichzeitig auf der Ebene $ODAQ$ senkrecht stehen, so steht auch ihre Schnitt-

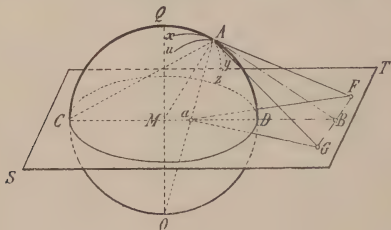


Fig. 15.

linie FG auf der Ebene $ODAQ$ senkrecht, d. h. es ist $FG \perp BA$ und $FG \perp Ba$, d. h. die Dreiecke ABF , aBF , ABG und aBG sind sämtlich bei B rechtwinklig. Bezeichnet man nun $\sphericalangle ACM$ mit γ , so ist $\sphericalangle AMD = 2\gamma$ und $\sphericalangle AMO = 90^\circ + 2\gamma$. Nun ist $\sphericalangle aAB$ (als Tangenten-Schnitwinkel) $= \frac{1}{2} \sphericalangle AMO = 45^\circ + \gamma$. Da aber

$$\sphericalangle CAO = \frac{1}{2} \sphericalangle CMO = 45^\circ \text{ ist, so ist}$$

$\sphericalangle AaB = \sphericalangle CAa + \sphericalangle ACa = 45^\circ + \gamma$, d. h. es ist

$$\sphericalangle aAB = \sphericalangle AaB, \text{ somit auch}$$

$a B = A B$, also ist

$$\Delta a B G \subseteq \Delta A B G \text{ und}$$

$$\Delta a B F \subseteq \Delta A B F.$$

Also: $\angle G a B = \angle G A B$

$\angle F a B = \angle F A B$, also auch

$$\angle G a B + \angle F a B = \angle G A B + \angle F A B \text{ oder}$$

$$\angle F a G = \angle F A G.$$

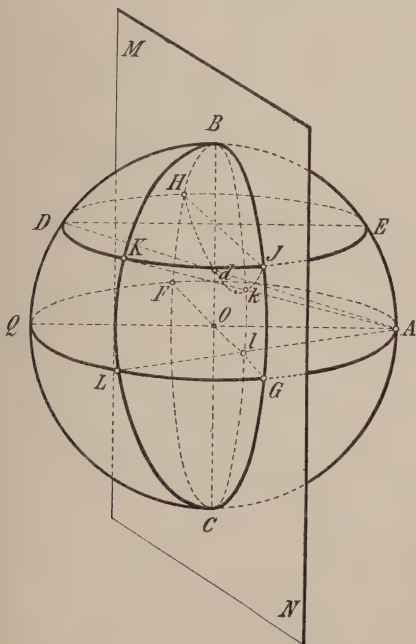


Fig. 16.

Auch die Zeichnung eines Erdbildes nach der stereographischen Aequatorialprojektion beruht auf den-

selben Ueberlegungen. Es ist leicht ersichtlich (Fig. 16), daß bei ihr, da der Augpunkt A im Aequator liegt, mit Ausnahme des Aequators A F Q L G und des Mittelmeridians B Q C, deren Ebenen durch den Augpunkt gehen, die Projektionen sämtlicher übrigen Kreise wiederum Kreisbögen werden müssen, und es handelt sich nur darum, deren Mittelpunkte und Halbmesser zu finden. Zeichnet man zunächst den in die Projektionsebene M N fallenden Begrenzungsmeridian B G C F und zeichnet in demselben einen aufrechtstehenden Durchmesser B C und einen dazu senkrechten Durchmesser F G, so stellt B C die Projektion des Mittelmeridians B Q C, F G diejenige des Aequators und die Punkte B und C die beiden Pole dar. Hat man ein System von Parallelkreisen, z. B. von 15° zu 15° abzubilden, so teilen diese auf der Kugel den Begrenzungsmeridian B J G C F H in 24 gleiche Teile, wodurch sich für die Darstellung eines jeden Parallelkreises zunächst zwei Punkte ergeben. Ein weiterer dritter Punkt auf jedem Parallelkreis ergibt sich, indem man die Projektion d des auf dem Mittelmeridian liegenden Parallelkreispunktes D mit Hilfe des Strahles A D bestimmt. Da alle Parallelkreise den Mittelmeridian senkrecht schneiden, so müssen auch ihre Projektionen von B C senkrecht geschnitten werden, d. h. die Projektionen aller Parallelkreismittelpunkte liegen auf der Polarachse B C oder ihrer Verlängerung. Da auch der Begrenzungsmeridian senkrecht getroffen werden muß, so ist demnach der Radius O J (Fig. 17) Tangente an den Parallelkreisbogen H J, d. h. der zugehörige Kreismittelpunkt ist der Schnittpunkt P der auf O J in J errichteten Senkrechten mit B C. Die Projektionen der verschiedenen Meridiane müssen offenbar sämtlich durch die Punkte B und C gehen. Einen weiteren Punkt erhält man,

begrenzungsmeridian einen sphärischen Winkel von 15° bildet, hat man nur nach dem oben über den Begriff der Winkel-treue Gesagten zu bedenken, daß auch die Projektion dieses Meridians mit derjenigen des Begrenzungsmeridians, d. h. mit $BFCG$ einen Winkel von 15° und somit auch die zugehörigen Halbmesser zum Schnittpunkt B bezw. C einen Winkel von 15° einschließen müssen. Man hat daher nur $\sphericalangle OBQ = 15^\circ$ zu machen, so stellt der aus Q mit QB beschriebene Kreisbogen das Bild des betreffenden Meridians dar. Da $\sphericalangle COR = 30^\circ$ ist, so ist demnach $\sphericalangle CBR = 15^\circ$, d. h. Q ist nichts anderes, als der Schnittpunkt von BR mit FG .

Für die Zeichnung eines Netzes in stereographischer Aequatorialprojektion ergibt sich mithin: In einen mit beliebigem, der Größe des Kartenblattes entsprechenden Halbmesser beschriebenen Kreis, zeichne man auf einander senkrecht die Polar- und Aequatorialachse und teile dann den Umfang des Begrenzungsmeridians in die erwünschten Gradabschnitte. Die Mittelpunkte der Breiten-, bezw. Meridiankreise findet man dann entweder durch Konstruktion, wie sie aus Fig. 17 erhellt, oder durch Berechnung auf Grund folgender Ueberlegung.

Ist allgemein die geographische Breite des Parallelkreises $H DJ = \varphi$, so ist offenbar $\sphericalangle JOG = \varphi$, somit auch $\sphericalangle JPO = \varphi$, d. h. der Halbmesser des betreffenden Parallelkreises ist dann $PJ = OJ \operatorname{ctg} \varphi = R \operatorname{ctg} \varphi$. Ist ferner allgemein $\sphericalangle OBQ = \lambda$, d. h. soll der abzubildende Meridian mit dem Begrenzungsmeridian den Winkel λ bilden, so folgt aus dem rechtwinkligen $\triangle BOQ$ für die

¹⁾ Die eingeklammerten Buchstaben bei Fig. 17 beziehen sich auf die entsprechenden Lagen der betreffenden Punkte in der Ebene des Mittelmeridians von Fig. 16.

Länge Q B des Halbmessers von der Projektion des betreffenden Meridians:

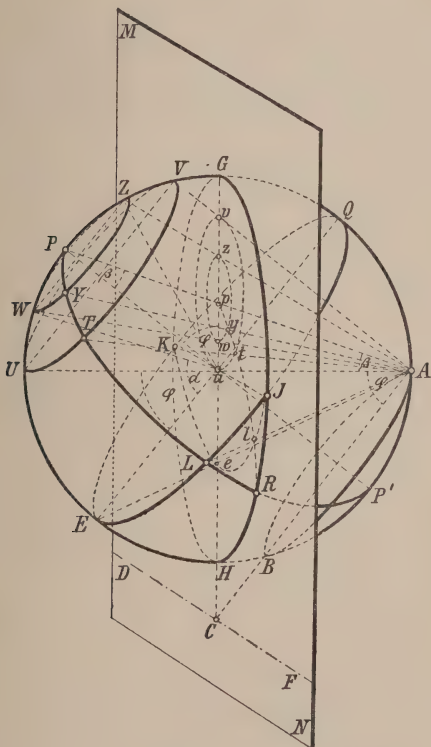


Fig. 18.

$$QB = \frac{BO}{\cos \lambda} = \frac{R}{\cos \lambda}; \text{ ferner ist } OQ = BO \cdot \operatorname{tg} \lambda = R \cdot \operatorname{tg} \lambda.$$

Um die stereographische Horizontalprojektion

für einen Ort zu erhalten, dessen geographische Länge $= 0^\circ$ und dessen nördliche geographische Breite $= 48^\circ$ ist, denke man sich in Fig. 18 U als diesen Ort, mithin als den Mittelpunkt der darzustellenden Halbkugel angenommen. Dann ist der Gegenpunkt A der Augpunkt und die Ebene M N des wahren Horizontes von U die Projektionsebene. Den Rand der Karte

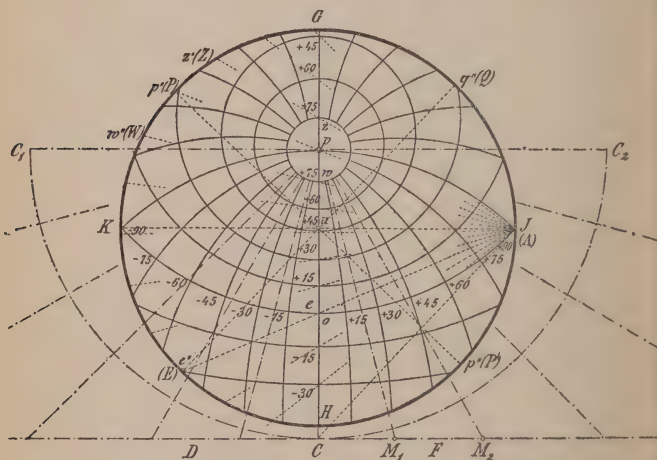


Fig. 19.

(Fig. 19) bildet der Schnittkreis G J H K der Projektionsebene M N mit der Kugel, und der aufrechtstehende Durchmesser G H stellt dann die Projektion des Mittelmeridians GVZPWUEH in Fig. 18 dar. Da die Ebene des Aequators E Q die Projektionsebene M N nach dem zu G H senkrechten Durchmesser K J schneidet, so muß das Bild des Aequators in Fig. 19 durch die Endpunkte K und J des zu G H senk-

rechten Durchmessers gehen. Die Projektionen der auf dem Mittelmeridian GVZPWUEH (Fig. 18) liegenden Punkte der verschiedenen Parallellkreise müssen offenbar auf G H fallen und ergeben sich mit Hilfe der Strahlen AV, AZ, AP, AW, AU u. s. w.; dabei ist zu bemerken, daß die Projektion u von U in den Mittelpunkt des Randkreises fällt. Macht man nun in Fig. 19 $\angle Kue'' = 48^\circ$ (geographische Breite von U), errichtet auf $e''uq''$ in u die Senkrechte $p'uq''$, teilt von e'' aus die Peripherie des Randkreises in 24 gleiche Teile und zieht von den Teilpunkten Strahlen nach J, so liefern deren Schnittpunkte mit G H die stereographischen Projektionen der auf dem Mittelmeridian liegenden Punkte eines Systems von Parallellkreisen im Abstände von je 15° . Ist z. B. Bogen $p'w'' = p'z'' = 15^\circ$, so geben die Schnittpunkte von G H mit den Strahlen Jw'' und Jz'' die stereographischen Projektionen von W und Z in w und z, durch welche der Parallellkreis in 75° nördlicher Breite gehen muß. Da nun alle Parallellkreise den Mittelmeridian senkrecht schneiden, so muß dies auch in der Projektion der Fall sein, d. h. die Mittelpunkte der Parallellkreise müssen in der Projektion sämtlich auf G H liegen, wonach sich die Parallellkreise leicht zeichnen lassen; so ist z. B. der Mittelpunkt von w z der Mittelpunkt des Parallellkreises in 75° nördl. Breite.

Von den verschiedenen Parallellkreisen giebt es auch einen, der sich als gerade Linie projiziert, nämlich denjenigen, welcher durch den Augpunkt A geht. Die Projektion D F dieses Parallellkreises ist nichts anderes als die Schnittlinie D F der Parallellkreisebene A B mit der Bildebene M N, und, wie sich durch einfache Betrachtung ergibt, muß D F auf G H senkrecht stehen. In Fig. 19 ergibt sich D F, indem man durch J eine Parallele zu $e''q''$ zieht, deren Schnittpunkt C mit

G H bestimmt und in C auf G C ein Lot errichtet. Da sämtliche Meridiane auch diesen besonderen Parallelfreis senkrecht schneiden, so muß dies auch in der Projektion der Fall sein, d. h. sämtliche Meridiane, mit Ausnahme des Mittelmeridians, werden Kreise, welche D F (Fig. 19) senkrecht schneiden müssen, woraus sich sofort ergibt, daß die Mittelpunkte dieser Kreise sämtlich auf D F liegen müssen. Der zum Mittelmeridian senkrechte Meridian ist offenbar der durch K, p und J gehende Kreis, dessen Mittelpunkt nach C fallen muß. Um das Bild eines Meridians zu erhalten, der mit dem eben erwähnten einen sphärischen Winkel von 15° bildet, beachte man wiederum, daß auch die Projektionen dieser Meridiane sich unter 15° schneiden müssen, und daß somit die Radien nach dem Schnittpunkte einen Winkel von 15° einschließen müssen. Macht man somit $\angle C p M_1 = 15^\circ$, so ist M_1 der betreffende Mittelpunkt; da ferner die Projektionen aller Meridiane durch p gehen müssen, so stellt der aus M_1 mit $M_1 p$ beschriebene Kreisbogen das Bild des betreffenden Meridians dar. Um das Anlegen der verschiedenen Winkel an p C zu erleichtern, beschreibe man aus p mit p C einen Halbkreis, errichte in p auf C p eine Senkrechte und teile von C aus diesen Kreis nach beiden Seiten je in 6 gleiche Teile, wonach sich die stereographische Horizontalprojektion leicht vervollständigen läßt, wie Fig. 19 zeigt. *)

Durch eine ähnliche Beweisführung, wie bei der Äquatorialprojektion (S. 48), läßt sich darlegen, daß die Länge der Radien der Meridiankreise $= \frac{R}{\cos \varphi \cos \eta}$ ist, wenn

*) Die eingeklammerten Buchstaben in Fig. 19 beziehen sich auf die entsprechenden Lagen der betreffenden Punkte in der Ebene des Mittelmeridians in Fig. 18.

φ allgemein die geographische Breite von U, η allgemein den Winkel darstellt, den der gesuchte Meridian mit dem Meridian K p J (Fig. 19) einschließt; für die Länge der Halbmesser der Parallellkreise ergibt sich der Ausdruck $\frac{R}{2} \left(\operatorname{ctg} \frac{\alpha + \varphi}{2} - \operatorname{tg} \frac{\alpha - \varphi}{2} \right)$, wobei α die geographische Breite des betreffenden Parallellkreises, φ wieder die geographische Breite von U darstellt.

Die stereographischen Projektionsarten eignen sich gut zur Darstellung größerer Teile der Erdkugel. In ihnen sind fast durchweg die Planigloben unserer Atlanten gezeichnet (östliche und westliche, nördliche und südliche Halbkugel, Halbkugeln der größten Land- und Wassermassen). Doch bedingt diese Darstellungsart auch einen großen Fehler. Betrachtet man die in den Figuren 13, 17 und 19 dargestellten Netze, so bemerkt man, daß es Stellen auf der Karte geben wird, wo die Grade sich erweitern, und andere, wo sie sich verengen. Bei der stereographischen Polarprojektion z. B. werden die Breitengrade in der Nähe des Pols immer enger, bei der Äquatorialprojektion fallen die Längengrade in der Mitte der Karte viel zu klein aus. Der Hauptmangel der stereographischen Projektion liegt in der bedeutenden Vergrößerung des Maßstabes von der Mitte zum Rand, ein Mangel, der besonders dann auffallend wird, wenn man, was bei den stereographischen Projektionen statthast ist (Fig. 12), die Darstellung über die Halbkugelfläche ausdehnt.

Man behebt diese Uebelstände zum Teil durch parallele Verschiebung der Projektionsebene, zum Teil, indem man das Auge in endliche Entfernung von der Kugelfläche wegrückt. Im letzteren Falle erhält man die sogenannte externe Pro-

jektion. Fig. 20 zeigt die Lage des Auges und der Bild-

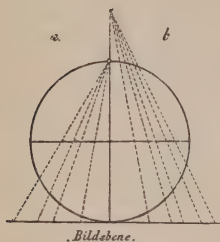


Fig. 20.

ebene bei diesen Kombinationen, in a für eine stereographische Projektion, bei welcher die Bildebene die Kugelfläche berührt, in b für die externe Projektion, wobei die Bildebene entweder durch den Mittelpunkt des Globus gehen oder aber den Globus berühren kann.

Die externe Projektionsart gestattet, bis $\frac{5}{6}$ der Erdoberfläche zur

Darstellung zu bringen.

Im Altertum zunächst nur für die Zeichnung von Himmelskarten angewandt, wurde die stereographische Projektion für die Landartenzeichnung erst nach der Entdeckung Amerikas benutzt, als die bekannte Welt immer mehr sich erweiterte und man das Bedürfnis nach einer Abbildungsmethode fühlte, welche die Darstellung einer Halbkugelfläche und mehr gestattete. Da erinnerte man sich an das Planisphärium des Ptolemäus, und gerade bei einer Neuauflage der Geographie des letzteren wandte man diese Projektion zum ersten Male an. Aber zu eigentlicher Lebenskraft wurde sie erst durch den Nürnberger Mathematiker Johannes Werner (1468—1528) gebracht.

3) Die Zentral- oder gnomonische Projektion.

Die Spuren der Zentralprojektion scheinen bis in die Zeiten des Thales zurückzuführen. Es ist wenigstens nicht unwahrscheinlich, daß die Darstellung der Sonnenbahn in der Gestalt der alten Sonnenuhren (Gnomon) auch zur Abzeichnung des gestirnten Himmels nach der gleichen Pro-

jektion führen konnte. Eine Verwendung der zentralen Projektionsmethode für die Zeichnung von Landkarten ist für das Altertum zweifelhaft. Erst in unserem Jahrhundert kam sie als Landkartenprojektion zu besonderer Geltung, und zwar dank ihrer Eigenschaft, die größten Kreise der Kugel durch gerade Linien wiederzugeben.

Wie schon der Name sagt, denkt man sich das Auge bei der Zentralprojektion im Mittelpunkt der Erde gelegen und die

Bildebene die Oberfläche berührend. Auch die Zentralprojektion kann somit eine polare, äquatoriale oder horizontale sein, je nach-

dem die Bildebene den Pol, einen Punkt des Äquators oder einen anderen beliebigen Punkt der Erdoberfläche berührt.

Es sei in Fig. 21 EPQ der Erdglobus, E Q ein Stück

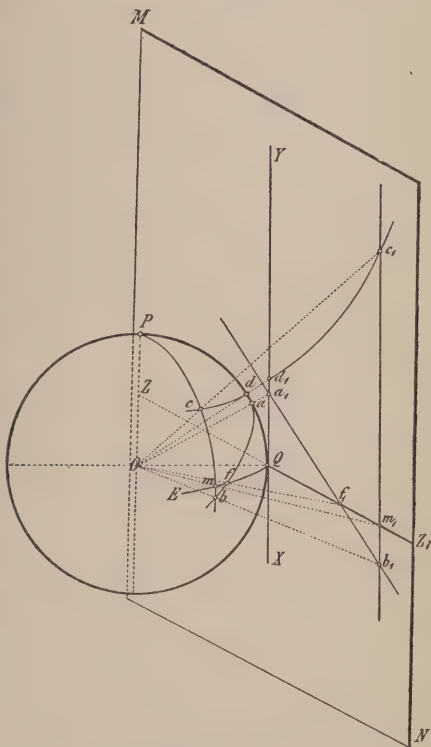


Fig. 21.

des Aequators, P der Nordpol; das Auge denke man sich im Mittelpunkt O , die Bildebene MN berühre die Kugel im Punkte Q des Aequators. Um nun nachzuweisen, daß die größten Kreise der Kugel durch gerade Linien wiedergegeben werden, haben wir nur zu überlegen, daß die zu den verschiedenen Punkten ein und desselben größten Kreises gezogenen Sehstrahlen gleichzeitig Halbmesser dieses Kreises sind und somit in der Ebene dieses letzteren liegen, welche die Projektionsebene in einer geraden Linie schneiden muß. Nun bildet aber der Schnitt dieser zwei Ebenen die Projektion des fraglichen größten Kreises, und folglich ist letztere eine gerade Linie. Somit werden der Aequator und der mit seiner Ebene auf der Bildebene senkrecht stehende Meridian durch zwei auf einander senkrechte gerade Linien dargestellt. Es seien XY und ZZ_1 diese zwei Geraden in der Bildebene MN . Die Linie XY wird parallel zur Globusachse ausfallen und die Kugel in Q berühren; dadurch ergibt sich die Lage der Linie ZZ_1 , denn sie muß auf XY senkrecht stehen und den Globus ebenfalls in Q berühren. Um uns die Entstehung der Projektion irgend eines anderen Meridians klarzumachen, müssen wir bedenken, daß diese Projektionen alle durch die Projektion des Pols gehen müssen. Da der zum Pol geführte Sehstrahl parallel zur Bildebene ausfällt, kann er letztere nur in unendlicher Entfernung treffen; in unendlicher Entfernung werden sich also auch die Meridianprojektionen treffen. Daraus folgt, daß letztere durch parallele, auf dem Aequator senkrecht stehende Linien dargestellt werden. Wir brauchen also nur den zum Fußpunkte eines gegebenen Meridians gerichteten Sehstrahl Om so lange weiterzuführen, bis wir damit die Linie ZZ_1 in m_1 treffen. Führt man durch m_1 die Linie c_1b_1 senkrecht auf Z_1Z , so ist diese Senkrechte die Projektion des Meridians Pm .

Die Parallelkreise können nicht so einfach gezeichnet werden, da sie auf der Bildebene als Kegelschnittlinien erscheinen. Um z. B. die Endpunkte c und d des Parallelkreisbogens $c d$ zu projizieren, müssen die Sehstrahlen $O c$, $O d$ so weit verlängert werden, bis sie die entsprechenden Meridiane in c_1 bzw. d_1 treffen. Der Abstand von c_1 von der Projektion des Aequators ist größer als der Abstand $d_1 Q$, und diese Entfernung ändert sich für jeden Punkt des betrachteten Parallelkreises. Die Breitengrade werden also nicht nur untereinander nicht gleich sein, sondern auf allen Meridianen verschieden lang ausfallen; aber auch die Längengrade sind untereinander nicht gleich. Das Netz einer gnomonischen Projektion ist somit nicht so einfach zu zeichnen wie das der bisher betrachteten Projektionsmethoden. Dagegen ist es sehr leicht, einen größten Kreis zu projizieren, von dem nur zwei Punkte gegeben zu sein brauchen. Will man z. B. die Projektion des durch a und b gehenden größten Kreises haben, so verlängert man den Strahl $O a$ bis nach a_1 , den Strahl $O b$ bis nach b_1 und verbindet a_1 und b_1 durch eine gerade Linie; dann stellt diese die gesuchte Projektion dar.

Ist $P Q$ der Nullmeridian, $Q m$ die Länge λ des Meridians $P m$, also auch $\sphericalangle Q O m = \lambda$ und R der Kugelradius, so ist die Projektion dieser Länge:

$$Q m_1 = R \operatorname{tg} \lambda.$$

Die Projektion der Breite $m c$ erhalten wir aus dem rechtwinkligen Dreieck $O m_1 c_1$, wenn φ die Breite von c bedeutet;

$$m_1 c_1 = O m_1 \operatorname{tg}_1 m_1 O c_1 = O m_1 \operatorname{tg} \varphi.$$

Ferner ist in Dreieck $Q O m_1$ $O m_1 = R \sec \lambda$ und folglich:

$$m_1 c_1 = R \sec \lambda \operatorname{tg} \varphi.$$

Daraus ergibt sich für die gnomonische Aequa =

torialprojektion (Fig. 21) folgende Konstruktionsmethode: Man lege $MO \perp EQ$ an (Fig. 22) und beschreibe mit dem Radius des Globus den Kreis um L , der den Aequator in O berührt. Diesen Kreis teile man von O aus nach rechts und links von 0° bis 60° oder 70° , so geben die Durchschnitte der durch die Teilpunkte geführten und ver-

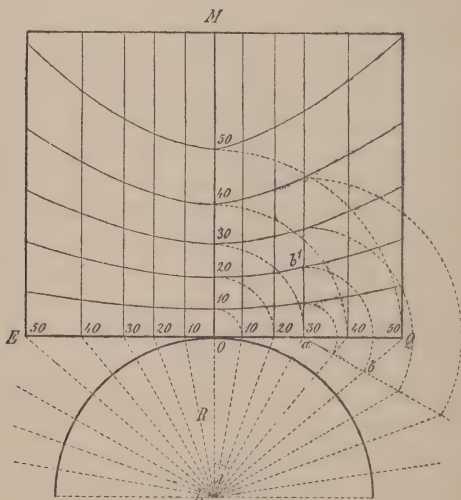


Fig. 22.

längerten Halbmesser die Fußpunkte der entsprechenden Längengrade. In der That ist der ersten der obigen Gleichungen entsprechend $Oa = R \operatorname{tg} \lambda$.

Macht man nun $ab \perp aL$, $\angle aLb = \varphi$ und $ab_1 = ab$, so ist b_1 der Schnittpunkt des Parallels von φ° Breite mit dem durch a gehenden Meridian, denn es ist

$a b_1 = a b = L \operatorname{tg} \varphi$; in Dreieck $O L a$ ist aber $L a = O L \sec \lambda$,
also $a b_1 = R \sec \lambda \operatorname{tg} \varphi$

wie oben. Bestimmt man mehrere Punkte eines und desselben Parallelkreises in der gleichen Art und verbindet sie, so erhält man die Projektion des betreffenden Parallelkreises.

In der gnomonischen Polarprojektion berührt die Bildebene $M N$ die Erdoberfläche in einem der beiden Pole. Die verlängerten Meridianebenen schneiden die Bildebene nach Geraden, die durch P gehen, weil der Pol den

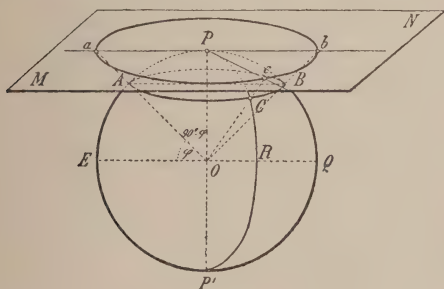


Fig. 23.

gemeinschaftlichen Schnittpunkt aller Meridiane bildet (Fig. 23). Die Projektionen der Meridiane werden aber gleichzeitig auch Tangenten zu dem Globus sein, daher unter sich gleiche Winkel einschließen wie in Wirklichkeit. Ist z. B. Pc die Projektion von PCR , Pb jene von PBQ , so ist $\angle bPc$ das Maß des sphärischen Winkels QPR . Ein zu allen Punkten des Parallelkreises AB geführtes Strahlenbündel bildet eine Regelfläche, und diese wird von der auf der Achse dieser Regelfläche senkrechten Bildebene MN nach einem Kreise geschnitten; weil ferner die Mittelpunkte aller Parallel-

kreise auf der Linie OP liegen, werden die Projektionen dieser Mittelpunkte sich in P befinden. Die Parallelkreise erscheinen demnach wieder als Kreise mit dem gemeinschaftlichen Mittelpunkt im Pol; ihr Halbmesser ergibt sich aus Dreieck aOP :

$$Pa = R \operatorname{tg} (90^\circ - \varphi) = R \cotg \varphi.$$

Um ein solches Netz anzulegen (Fig. 24), zeichnet man

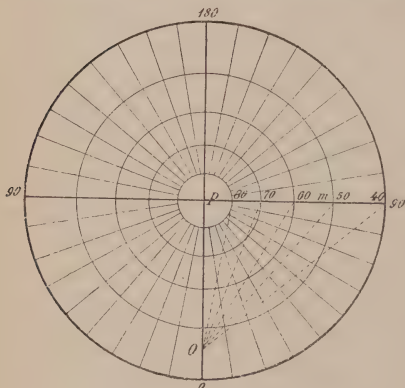


Fig. 24.

die Meridiane als gerade Linien, die sich im Mittelpunkt der Karte unter Winkeln schneiden, welche den bezüglichen Längenunterschieden gleich sind. Von ihrem Durchschnittpunkte P aus macht man auf einem Meridian eine Strecke $PO = R$ und führt von O aus Gerade, welche mit OP Winkel von 10° , 20° , 30° einschließen. Die Schnittpunkte der letzteren mit dem auf OP senkrechten Meridian geben die Punkte, durch welche die Parallelkreise 80° , 70° , 60° gehen müssen. Ihr Mittelpunkt liegt in P . Man hat z. B. für den Parallelkreis von $\varphi = 50^\circ$ Breite: $Pm = PO \operatorname{tg} POm = R \operatorname{tg} 40^\circ = R \operatorname{tg} (90^\circ - \varphi) = R \cotg \varphi$, wie oben.

Man kann weder mit der Polar- noch mit der Äquatorialprojektion eine ganze Hemisphäre auf einmal auf einem

Blatte darstellen. Betrachten wir nämlich die Fig. 21, so sehen wir, daß die Größe von Längen- und Breitengraden um so mehr zunimmt, je mehr man sich vom Mittelpunkt des Blattes entfernt. Der zum Pol geführte Sehstrahl würde das Blatt erst in unendlicher Entfernung treffen, ebenso der zu jenem Punkt des Aequators geführte, der in der Länge um 90° von Q absteht. Bei der Polarprojektion werden die Radien der in niedrigen Breiten gelegenen Parallelkreise schließlich so groß, daß sie auf einem Blatte von gewöhnlicher Ausdehnung keinen Raum mehr finden könnten.

Mit der Zentralprojektion können somit nur kleinere Teile der Erdoberfläche auf einem Blatte zur Darstellung kommen. Will man die ganze Erdoberfläche abbilden, so kann man sich um den Erdglobus einen Würfel gelegt denken, von dessen Seiten vier den Aequator, zwei die Pole berühren, und auf diese sechs Flächen die ganze Oberfläche gnomonisch projizieren. Noch genauer wird die Abzeichnung, wenn man durch die Projektion auf die Seiten eines Polyheders noch kleinere Teile der Kugelfläche für sich gesondert in der Ebene darstellt.

Ausgedehnte Anwendung findet diese Projektion in der Schifffahrt. Ein Schiff, welches sich von einem Orte der Erdoberfläche zu einem anderen begiebt, segelt gewöhnlich in der Loxodrome, d. h. längs einer Kurve, die alle Meridiane unter einem gleichen Winkel schneidet. Es ist dies zwar nicht die kürzeste Verbindungslinie zweier Punkte einer Kugelfläche, dafür aber für die Schifffahrt die bequemste, weil die Fahrt auf ihr die stete Innehaltung desselben Kurses gestattet.

Kurs ist der Winkel, welchen die Bugrichtung des Schiffes mit dem Meridian ein-

schließt. Bei längeren Seefahrten aber segelt man längs der kürzesten Verbindungslinie, und diese ist der Bogen des den Abfahrts- und Ankunftspunkt verbindenden größten Kreises. Segelt man also im größten Kreise, so benutzt man gnomonische Karten, welche die Einzeichnung dieses Segelweges als gerade Linie ermöglichen, wogegen bei der loxodromischen Schifffahrt die Merkator-Projektion (S. 77 ff.) verwendet wird.

Zweites Kapitel.

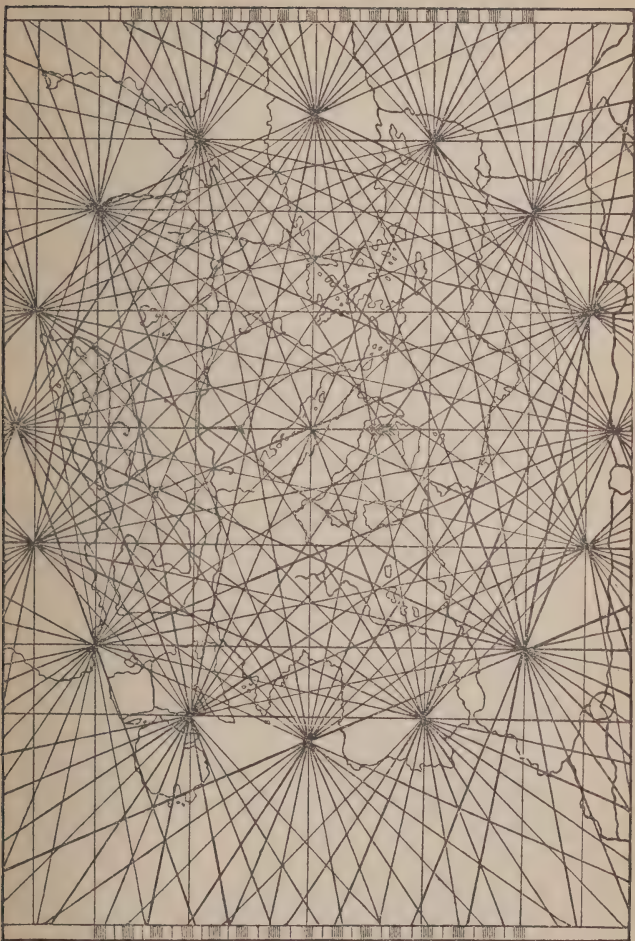
Von der Erfindung des Kompasses bis zur Reformation der Kartographie.

§ 4. Die sogenannten loxodromischen Karten.

Die Karten des Altertums waren doch eigentlich immer nur sogenannte „Distanzkarten“, indem zu ihrer Darstellung die Entfernungen der Punkte von einem rechtwinkligen Koordinatensystem benutzt wurden. Erst mit der Erfindung des Kompasses erhielt man ein Mittel, um die Richtungen der Punkte gegen einander genauer zu bestimmen, und es entstanden nun auch „Richtungskarten“, die man als „sogenannte Kompaßkarten“ oder auch als „loxodromische Karten“ zu bezeichnen sich gewöhnt hat.

Die Fig. 25 zeigt in schematischem Bilde ein Muster solcher Karten. Das auf ihr sichtbare Liniennetz hat mit einem Gradnetz nichts zu thun, ist vielmehr ein System rein zeichnerischer Hilfslinien, bestehend aus einer im Mittelpunkt der Karte liegenden Kompaßrose (Windrose des Horizontes) mit 16 Hauptrichtungen und einem Kranz von 16 anderen Rosen, die in 32 Teile geteilt sind. Die Mittelpunkte dieser Nebenrosen liegen längs der Peripherie eines zur Hauptrose

Fig. 25. Mittelalterliche Seefarte.



konzentrisch gedachten Kreises, und zwar auf den 16 Hauptrichtungen der Zentralrose.

Man nennt einen Teil der 32teiligen Rose, der also einem Winkelwert von $360 : 32 = 11^\circ 15'$ gleich kommt, einen Strich.

Um die Karten durch die vielen Strichlinien nicht zu undeutlich zu gestalten, pflegte man diese in verschiedenen Farben aufzutragen, und zwar in acht Hauptwindrichtungen (N, NO, O, SO, S, SW, W, NW) schwarz, die halben Winde NNO, ONO, OSO u. s. w.) grün, die übrigen, die Viertelwinde, rot. Die Meilenstala zur Abmessung der Entfernungen war meist an den vertikalen Seitenrändern der Karte gezeichnet. Wie wurden diese Karten entworfen?

Schon seit uralten Zeiten pflegten die Seefahrer die Richtungen und die Distanzen zwischen den Orten, welche sie besuchten, anzumerken und in Schriften zu sammeln, welche sie Periplen, Stadiasmen, Portulani, Seebücher nannten. Diese Seebücher wurden fort und fort verbessert, und das in denselben enthaltene Material mußte schließlich einige Genauigkeit aufweisen. In den großen italienischen Seehandelsstädten des Mittelmeers lebten aber Leute, welche aus der Hydrographie und Kartographie ein Gewerbe machten. Sie sammelten diese Seebücher und zeichneten auf Grund derselben die Karten, indem sie für jede Reise vom gemeinschaftlichen Abfahrtsort mit Hilfe von Maßstab, Zirkel und Kompaß die Richtungen und Distanzen austrugen. Fanden sie z. B., daß der Ort B 50 Meilen NO von A lag, so legten sie den Punkt B 50 Meilen nordöstlich von A an. Dann trugen sie einen dritten Punkt in Bezug auf A oder B ein u. s. f. Ergaben sich beim Austragen aus verschiedenen Abfahrtspunkten Unterschiede in der Lagenbestimmung, so

trachtete man, aus vielen Angaben das Mittel zu bilden, um die Fehler auszugleichen.

Wenn es auch kaum zweifelhaft sein kann, daß dieses Verfahren der „Kuppelung der Iorodromischen Kurse“ die einzelnen Züge des Kartenbildes der italienischen Kartenzeichner bestimmt hat, so geben doch einzelne Umstände, wie gewisse Einzelheiten der Länderzeichnung und das unerklärlich frühe Auftreten schon sehr vollkommener Karten, Anlaß zum Zweifel an der ausschließlichen Abhängigkeit dieser Karten von der Einführung des Kompasses. In neuester Zeit hat H. Wagner den Versuch gemacht, nachzuweisen, daß die mediterrane Seekarte sich aus der antiken Plattkarte (S. 27ff.) mit Zentralrose entwickelt hat. Die Entstehung der „Kompaßkarte“ muß zur Zeit noch als unaufgeklärt gelten.

Die ältesten Exemplare solcher mittelalterlichen Karten sind der unter dem Namen Atlas Luxoro bekannte See-Atlas in Genua (aus der ersten Hälfte des 13. Jahrhunderts) und die sogenannte „Pisanische Karte“, deren Entstehung vielleicht gegen Ende des 12. Jahrhunderts angesetzt werden muß. Aus späteren Zeiten besitzen die großen europäischen Bibliotheken eine große Anzahl solcher kartographischen Monumente, die jetzt zum größten Teil in trefflichen Reproduktionen in Form von Sammelwerken* zugänglich gemacht sind. Der bedeutendste bekannte Kartenzeichner Italiens war Pietro Visconte aus Genua (um 1318). Die italienischen Seekarten stellten natürlich nur die Gebiete dar, welche der italienischen Schifffahrt zugänglich waren, also das Mediterran-

*) B. H. Zomards *Monuments de la Géographie*, R. Kretschmers „Festschrift zur Feier der Entdeckung Amerikas, hrsg. durch die Berliner Gesellschaft für Erdkunde“, und als bestes die Fischer-Dugania-Sammlung mittelalterlicher italienischer Seekarten.

gebiet und die atlantische Front Europas: ihre Küstenzeichnung war aber für diese Gegenden eine derart richtige, daß sie erst im 17. Jahrhundert aus dem Besitz der europäischen Seeleute zu verdrängen waren.

Außer den mediterranen Seekarten sind uns aus dem Mittelalter noch eine größere Anzahl von Zeichnungen*) überliefert, die als Weltbilder wohl interessant, für die Kartenkunde aber fast belanglos sind. Wertvoll sind nur die späteren Weltkarten, die, wie die Weltkarte des Fra Mauro (1457), die Kenntnisse der Seeleute benutzten und die italienische Seekarte zur Landkarte umgestalteten.

§ 5. Veränderungen an den Plattkarten und an der Projektion in der Zeit der Renaissance des Ptolemäus.

Dem Mittelalter war das Werk des Ptolemäus unverständlich geworden und zuletzt verloren gegangen. Erst der wissenschaftliche Eifer der Gelehrten der Renaissance machte das Abendland wieder mit der in ihm niedergelegten Summe der wissenschaftlich-kartographischen Kenntnisse des Altertums bekannt, und es begann nun eine Zeit fast unumschränkter Herrschaft des ptolemäischen Beispiels und der ptolemäischen Lehre, die in überaus zahlreichen Ausgaben der „Geographie“ verbreitet und allgemein bekannt wurde. Aber mit der Freude an den Werken der Alten erwachte auch die Kritik ihres Inhalts. Die Thatsache, daß die sogenannten Ptolemäuskarten in der überlieferten Gestalt den Lehren des ptolemäischen Textes widersprachen, regte das Interesse an der Verbesserung der Theorie der Kartenzeichnung an. Der erste, der an dieser überlieferten Form zu rütteln und für die Neu-

*) Eine Sammlung solcher Weltbilder giebt die überaus wertvolle Veröffentlichung von K. Miller. *Mappae Mundi*. Stuttgart 1894–97.

ausgaben eine andere Projektionsart vorzuschlagen wagte, war ein Benediktiner-Mönch aus dem Kloster Reichenbach bei Regensburg, Dominus Nikolaus, fälschlich Donis genannt.

Das Netz seiner pseudocylindrischen oder trapezförmigen Projektion besteht auch aus geradlinigen Meridianen und Parallelen, wie bei der Plattkarte, doch ist nicht nur der mittlere Parallelkreis nach dem richtigen Verhältnis geteilt, sondern es geschieht dies für die äußersten Parallelkreise der Karte. Soll also das Blatt von der Breite φ bis zu jener φ' reichen, so werden die Längengrade auf dem untersten Parallelkreis $= l \cos \varphi$, auf dem obersten $= l \cos \varphi'$ gemacht (S. 11), wenn l die Größe der Meridiangrade bedeutet. Ist $\varphi' > \varphi$, so werden die Längengrade des obersten Parallelkreises kleiner als jene des untersten. Verbindet man nun die gleichnamigen Teilpunkte durch gerade Linien, so erhält man die Meridiane, welche auf den Parallelkreisen geneigt stehen: das einzelne Gradfeld und das ganze Netz bekommt also das Aussehen eines Trapezes. Diese unvollkommene Darstellungsart fand wenig Anklang, da sie in ihren geradlinigen Parallelkreisen die sphärische Gestalt der Erde zu wenig zur Geltung kommen ließ; daher wandten sich Markus Beneventanus und Johannes Cotta, als es sich um eine Neuauflage des Ptolemäus handelte (Rom 1507), wieder der kegelförmigen Projektion zu. Anstatt aber den Kegel um die Kugel zu umschreiben, wählten sie den eindringenden Kegel, indem sie den Scheitel desselben beim Pol A anlegten und die Leitlinie am Äquator BC annahmen (Fig. 26). Bei der Abwicklung einer solchen Kegelfläche handelt es sich um die Bestimmung des Winkels α . Dazu hat man die gewöhnliche Proportion:

$$bc : 2ab\pi = \alpha : 360.$$

In diesem Falle ist aber $ab = AB = \sqrt{2} R^2 = R \sqrt{2}$. Soll nun etwa bc einen Bogen von 90° in der Länge umfassen, so ist, weil hier der Aequator in natürlicher Größe wiederzugeben ist, $bc = \frac{R \pi}{2}$, daher:

$$\frac{1}{2} R \pi : 2 R \sqrt{2} \pi = \alpha : 360; \text{ somit } \alpha = \frac{90^\circ}{\sqrt{2}}.$$

Man wird also mit dem Halbmesser $R \sqrt{2}$ den Bogen

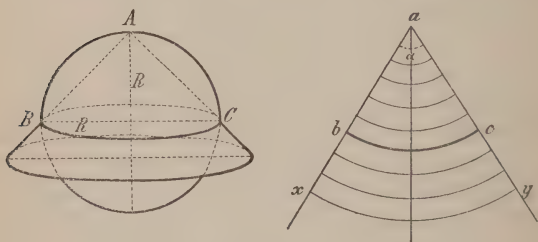


Fig. 26.

bc beschreiben und den Mittelmeridian ziehen; vom Scheitel des Sektors legt man an beide Seiten des Mittelmeridians den Winkel $\frac{\alpha}{2}$ an.

Die Abwicklung bc des Aequatorstückes ist, da letzteres in natürlicher Größe wiedergegeben ist, in gleiche Teile zu teilen, welche die Längengrade vorstellen. Der Pol der Erde befindet sich im Mittelpunkte a des Sektors bac . Die Meridiangrade werden untereinander gleich gemacht und von a als Mittelpunkt durch die Teilpunkte konzentrische Bögen gezogen, welche die Parallelkreise darstellen. Verlängert man ab und ac nach ax und ay , so können auch die südlichen

Breitengrade von b und c gegen x und y aufgetragen werden. So gestattet also diese Darstellungsweise eine Ausdehnung der Zeichnung auch auf südliche Breiten. Die einzige Welttafel nach dieser Projektion zeichnete Johann Ruysch für die zweite Auflage der Ptolemäus-Ausgabe von 1507 (Rom 1508). Die südliche Hemisphäre erstreckte sich darauf bis zum 38° südlicher Breite.

Um die Wende des fünfzehnten und sechzehnten Jahrhunderts war die Erde größer geworden. Das Bestreben der Kartenzeichner, auch diesen größeren Erdkreis auf einem Blatte darzustellen, führte zu den verschiedensten Projektionsversuchen. Eine Abänderung und Erweiterung der zweiten ptolemäischen Regelprojektion (S. 34) stellt die Weltkarte des Bernardus Sylvanus in der venetianischen Ptolemäusausgabe von 1511 dar. Er wollte auf einem Blatte nicht nur die alte bekannte Welt und die Entdeckungen im Westen, sondern auch den Seeweg nach Indien um das Vorgebirge der guten Hoffnung und den fernsten Osten darstellen. Ferner sollten die arktischen Länder veranschaulicht werden. Dazu nahm sich zwar Sylvanus die genannte ptolemäische Projektion zum Muster; anstatt aber die Teilung der Parallelfreisgrade im richtigen Verhältnis zu den Meridiangraden nur für 4 Breiten auszuführen, that er dies für 12 Breiten. Sein Verfahren war hierbei folgendes: Er nahm eine gerade Linie als Mittelmeridian an und teilte sie in gleiche Teile, welche die Breitengrade darstellten. Auf 100° vom Aequator (anstatt der $181^{\circ} 8'$ des Ptolemäus) setzte er den Mittelpunkt der Parallelfreise und beschrieb von dort aus konzentrische Bögen, welche durch die Teilpunkte des Mittelmeridians liefen. Nun machte er die Grade am Aequator gleich den Meridiangraden und teilte drei südliche Parallelfreise und acht

nördliche nach ihrem wahren Verhältnis ein. Die Verbindung der gleichen Teilungspunkte ergab krumme Linien, welche die Projektionen der Meridiane darstellten. Die Karte erhielt so die Gestalt eines Herzens, dem die untere Spitze fehlt.

Diese von Sylvanus im Jahre 1511 zuerst benutzte Darstellungsweise war schon vor ihm von dem Wiener Pro-

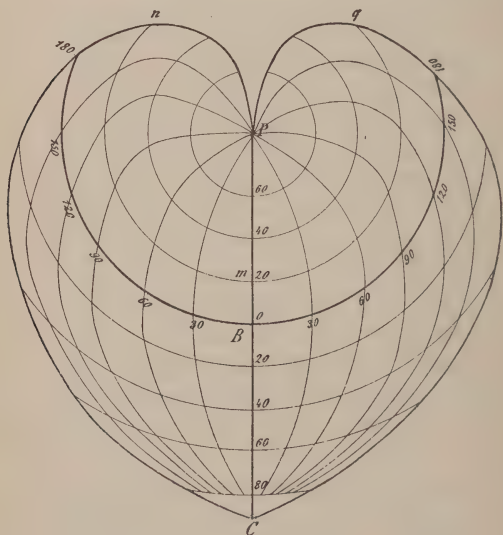


Fig. 27.

fessor der Mathematik, Johann Stab († 1522), theoretisch begründet worden. Dieser ist der Erfinder der eigentlichen herzförmigen Projektion, deren Grundzüge konzentrische, gleichweit abstehende Parallelkreise mit dem Nordpol als Mittelpunkt und Meridiankurven sind, welche durch die Teil-

punkte der im richtigen Verhältniß getheilten Parallelkreise vom Nordpol zu dem in gleicher Entfernung vom Aequator angeetzten Südpol führen. So entsteht in der That eine Figur, welche oben eingeschnitten, nach unten spitz zulaufend, genau die Form eines Herzens zeigt (Fig. 27).

Dieser Entwurf von Stab wurde im Jahre 1514 von dem Nürnberger Johannes Werner in seinem „Traktat über vier Projectionen“ von neuem aufgenommen. Werner schlug drei Modifikationen der zweiten ptolemäischen Regelprojektion vor, welche sämtlich, theils für Darstellungen einer Hemisphäre, theils für ganze Erdbilder, herzförmige Bilder ergeben. Auch Drontius Finäus, ein französischer Mathematiker, zeichnete 1536 eine solche Herzkarte der ganzen Erde.

Der deutsche Geograph Peter Bienewitz, genannt Petrus Apianus (1495—1552), gab im Jahre 1524 eine Kosmographie heraus, in welcher zwei neue Projektionsmethoden vorgeschlagen werden, von denen die eine, welche die ganze Erdoberfläche in einen einzigen Rahmen faßt, von den bedeutendsten Geographen des sechzehnten Jahrhunderts, ja noch im siebzehnten vielfach benützt wurde. Beide Darstellungsweisen haben das Gemeinsame, daß der mittlere Meridian und der Aequator durch zwei sich rechtwinklig schneidende gerade Linien dargestellt werden. In der einen ist der mittlere Meridian in 18 Teile zu je 10° geteilt, und durch die Teilpunkte sind gerade Linien als Breitenkreise gelegt. Der Aequator ist in 36 Teile zu 10° geteilt, die aber gegen die Breitengrade um ein Drittel verkürzt sind, um die Figur nicht zu sehr aus zudehnen; durch diese Teilpunkte und die Pole sind Kreisbögen als Meridiane gezogen.

Die andere Projektion des Apianus stellt die Erdober-

fläche in zwei Kreisen dar. Der mittlere Meridian und der

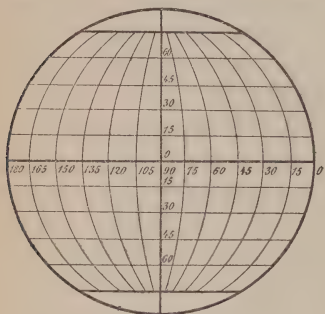


Fig. 28.

meridiane vorstellen.

Heinrich Voriz, gen. Clareanus (1488—1563), modifizierte die Apian'sche Projektion, indem er im Kreise

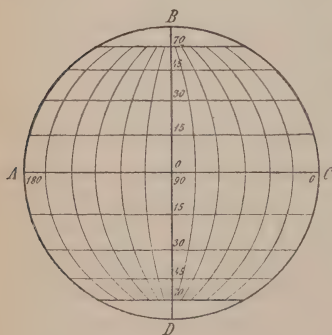


Fig. 29.

Breitenkreise als gerade Linien an, sodaß sich also vom

Aequator (Fig. 28) sind wieder durch zwei rechtwinklig sich schneidende Gerade dargestellt und beide in gleiche Teile geteilt. Durch die Teilpunkte der Meridiane laufen gerade Linien als Breitenkreise, durch die Teilpunkte des Aequators und die Pole sind Kreise gezogen, welche die Me-

A B C D (Fig. 29), welcher die Halbkugel vorstellt, den Aequator zwar ebenfalls in gleiche Teile teilte und durch diese Teilpunkte und die Pole die Meridiane als Kreisbögen legte; aber er teilte nicht, wie Apian, den mittleren geradlinigen Meridian, sondern den Kreisumfang A B C D in gleiche Teile und legte durch die entsprechenden Teilpunkte die

Aequator zum Pol der Abstand der Breitenlinien verringerte. Eine weitere Abänderung dieser Mercatorischen Projektion entstand in der Weise, daß man den mittleren Meridian und den Kreisumfang in gleiche Teile teilte und durch die entsprechenden Teilpunkte Kreisbögen als Breitenkreise legte. Dieser in Fig. 30 dargestellte Entwurf bringt die Kugelgestalt der Erde sehr deutlich zur Geltung, und man nennt deshalb diese Projektion die Globularprojektion. Später bezeichnete man als Globularprojektionen alle jene Abbildungsmethoden, bei welchen man durch Anwendung krummliniger Meridiane und Parallellkreise oder durch andere besondere Verfahren bestrebt war, das Erdbild derart zu entwerfen, daß das Auge durch bloßes Ansehen des Blattes den Eindruck der Erdrundung empfangt.

Demnach bezeichnet man auch folgenden von Orontius Finäus (1531)

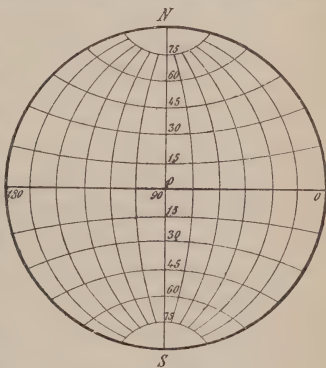


Fig. 30.

erdachten und später auch von Mercator benutzten Entwurf als Globularprojektion. Aus den Eckpunkten eines gleichseitigen Dreiecks ABC (Fig. 31) als Mittelpunkten beschrieb er die drei Kreisbögen AC , AB und BC und betrachtete A als den Pol, BC als einen Quadranten des Aequators; somit waren AB und AC zwei Meridianquadranten im Abstande von 90° in der Länge. Nun zog er die Gerade AD , welche den Pol mit dem Halbierungspunkt des Aequatorquadranten verband; diese Gerade bildete den Mittelmeridian der Karte, der in

gleiche Teile eingeteilt wurde. Durch die Teilungspunkte führte Finäus konzentrische Kreisbögen mit dem gemein-

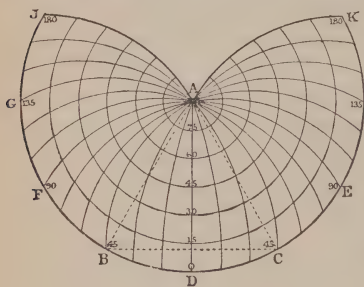


Fig. 31.

schaftlichen Mittelpunkte in A und erhielt so die Breitenkreise. Schließlich theilte er den Aequatorbogen BC und den ihm konzentrischen Parallelkreisbogen von 45° Breite in gleiche Teile und legte durch diese Teilpunkte und durch den

Pol Kreisbögen, welche die Meridiane darstellten. Um aber eine ganze Hemisphäre abbilden zu können, erweiterte Finäus später seine Konstruktion, indem er zunächst den Aequator und alle Breitenkreise nach beiden Seiten verlängerte. Indem er jetzt den Abstand DA in Zirkelöffnung nahm und die eine Zirkelspitze in D ansetzte, beschrieb er die Bögen AE und AF und erhielt die Meridiane, welche um 90° vom Mittelmeridian der Karte abstanden. Nun setzte er den Zirkel in B und C ein und beschrieb mit gleichem Halbmesser die Kreisbögen AG und AH; endlich von E und F aus die Bögen AJ und AK, welche um 180° vom Mittelmeridian abstanden. In der Folge hatte man bei Beibehaltung der gleichen Halbmesser die eine Zirkelspitze auf den Unterabteilungen des Aequators einzusetzen und mit der Beschreibung der Kreisbögen, wie bisher angegeben, fortzufahren, um das ganze Netz der Meridiankreise darzustellen. Auf zwei solchen Netzen der doppelherzförmigen Projektion stellte Finäus und nach ihm Merkator die ganze Erde dar.

Drittes Kapitel.

Die Reformation der Kartographie.

§ 6. Merkator, der Reformator der Kartographie.

Gerhard Kremer, genannt Merkator, wurde am 5. März 1512 zu Rupelmonde geboren. Einer unbemittelten Familie entstammend, widmete er sich schon früh auf der Universität Löwen, wo er zu den Schülern des berühmten Arztes und Mathematikers Gemma Frisius gehörte, der Beschäftigung mit praktisch-mechanischen Arbeiten und erwarb sich durch Anfertigung von astronomischen Instrumenten, Erdgloben und Karten einen großen Ruf. Durch den Ausbruch der religiösen Wirren in den Niederlanden aus der Heimat vertrieben, wandte er sich im Jahre 1552 nach dem rheinischen Duisburg. Hier ist er hochangesehen, nach einem langen, arbeitsamen, einem umfassenden Studium und reger Produktion gewidmeten Leben am 2. Dezember 1594 gestorben. Von Geburt ein Belgier, gehört er in der Zeit seines regsten Schaffens der deutschen Nation an.

Von seinen Karten, die jetzt zum größten Teil wieder aufgefunden sind, gehören der belgischen Zeit außer den Globenüberzügen, die er 1541 für den Kanzler Karls V, Granvella, zeichnete, eine verlorene Karte von Palästina (1537), die in Doppelherzform gezeichnete Weltkarte (1538) und die große Karte von Flandern (1540) an. Es sind Jugendarbeiten, meist verbesserte Kopien der

Arbeiten anderer Kartenzeichner seiner Zeit, für die Weltkarte der Zeichnung des Finäus, für die Karte von Islandern einer Karte des Genter Pieter van Bafe von 1538. Auf die Höhe originellen Schaffens führte ihn erst die Ruhe und sichere Muße seines Aufenthalts in deutschen Landen. Schon im Jahre 1552 erschien in Duisburg die große Karte von Europa, und im Jahre 1569 folgte dieser die Weltkarte, an die sich Merkators Weltruhm bis auf unsere Tage knüpft. Im Jahre 1564 stach er eine ihm von einem, dem Namen nach noch unbekannten, englischen Freunde zugesandte Karte der Britischen Inseln. Eine andere um diese Zeit gezeichnete Karte des Herzogtums Lothringen, die einzige Karte Merkators, die auf eigener topographischer Aufnahme des Terrains beruht, ist leider nie veröffentlicht worden und daher wohl als verloren anzusehen.

Der große Wert aller dieser Karten Merkators beruht darauf, daß der Zeichner in ihnen sowohl seine kritische Schärfe als auch seine große mathematische Begabung bewährte. Er ist es, der in die moderne Kartographie den ptolemäischen Grundsatz zurückführt, daß jede Art der Erdzeichnung der Grundlage einer Projektion bedürfe, und daß die Methode der Ueberstragung auszuwählen sei mit Rücksicht auf den Umfang und die Lage des darzustellenden Teiles der Erdoberfläche und den Zweck, dem die Karte dienen solle.

Zwei anderen großen Werken seines Greisenalters verdankt Merkator seine weltgeschichtliche Bedeutung. Im Rahmen der Geschichte des Weltbildes ist er der Mann, der die alte Zeit abschließt, die neue heraufführt. Seine Zeit lag noch im Banne der Ueberschätzung des ptolemäischen formalen Vorbildes. Merkator hat durch seinen im Jahre 1578 erschienenen Roder der 27 Karten des Ptolemäus dem alten Meister

endgiltig die Stellung angewiesen, die dieser seither behauptet hat, den Rang einer Sammlung anerkannter litterarischer Denkmale aus dem Altertum. Und an die Stelle des alten Meisters trat er, als ein neuer Ptolemäus. Alles was seine Zeit geschaffen hatte, die ganze rege Kartenproduktion des humanistischen Zeitalters, verarbeitete er zu einem Grundkodex der neuen Kartographie, seinem „Atlas“. Im Jahre 1585 erschien die erste Lieferung seiner Sammlung neuer Karten zur modernen Geographie, deren Abschluß er nicht mehr erleben sollte. Aber noch heute besitzt jeder Atlas in Namen und Methode ein Erbe des Geistes der ersten auf genauem Abwägen alter und neuer kartographischer Elemente gegründeten Kartensammlung des „Koryphäen unter allen Erdbeschreibern.“

§ 7. Die Merkator- oder winkeltreue Cylinder-Projektion.

Wir sahen früher, daß ein Schiff, welches von einem Orte zum anderen in der Loxodrome (S. 61) segelt, eine Kurve beschreibt, die alle Meridiane im gleichen Winkel schneidet. Will man erreichen, daß die loxodromische Kurslinie des Schiffes auf der Karte als gerade Linie erscheine, was eben für die Zwecke der Seefahrt einzig praktisch ist, so muß man eine Karte haben, auf welcher die Meridiane parallel zu einander laufen, und welche die Winkel der Kugel in ihrer natürlichen Größe wiedergiebt. Man hatte im fünfzehnten Jahrhundert die Plattkarte für die Navigation gewählt, allein ihr kommt die Eigenschaft der Winkelerhaltung nicht zu. Dies beachteten die Seeleute zunächst nicht, nahmen aber mit der Zeit wahr, daß der von der Karte abgenommene Kurs nicht genau zum beabsichtigten Ankunfts punkt führte. Die besten Mathematiker bemühten sich vergebens, diesen Fehler der Plattkarten

ausfindig zu machen, erst Merkator löste das Rätsel. Er erkannte, daß der Fehler in der Konstruktion des Gradnetzes liege.

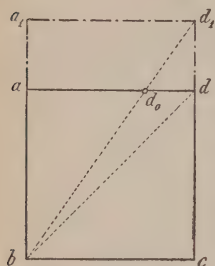


Fig. 32.

demnach auf der Plattkarte

$$a d = a b = b c = c d = m = \frac{2 R \pi}{360 \cdot 60}.$$

Hat etwa der Parallellkreisbogen $A D$ die Breite φ , so ist er auf der Plattkarte durch $a d = m$ dargestellt, während ihm auf dem Globus nur die Länge $m \cos \varphi$ zukommt. Macht man nun $a d_0 = m \cos \varphi$, so stellt $\angle a b d_0$ die wahre Größe des betreffenden Winkels auf dem Globus dar, während dieser Winkel auf der Plattkarte durch $\angle a b d$ dargestellt ist. Soll nun die Karte winkeltreu sein, soll aber doch auf derselben der Parallellkreisbogen $A D$ die Länge m des entsprechenden Äquatorbogens beibehalten, so muß demnach auf der Karte die Abbildung von D in den Schnittpunkt d_1 der verlängerten Linie $b d_0$ und $c d$ fallen. Aus den ähnlichen Dreiecken $a_1 b d_1$ und $a b d_0$ folgt nun:

$$a_1 b : a b = a_1 d_1 : a d_0 = m : m \cos \varphi = 1 : \cos \varphi, \text{ d. h.}$$

$$a_1 b = \frac{a b}{\cos \varphi} = a b \cdot \sec \varphi = m \sec \varphi.$$

Soll also eine Karte mit geradlinigen und aufeinander senkrecht stehenden Meridianen und Parallelkreisen, wobei die Parallelkreisgrade in allen Breiten von derselben Größe, nämlich gleich einem Aequatorgrad sind, winkeltreu sein, so muß die Länge der Meridiangrade in den verschiedenen Breiten um die Sekans dieser Breite vergrößert werden. Hierin besteht das von Merkator entdeckte und in der Weltkart.*) von 1569 zuerst befolgte Prinzip, und Karten, welche nach diesem Vorbild konstruiert sind, nennt man Merkator-Karten.

Die gegenseitige Entfernung je zweier auf einander folgender Parallelkreise in den Breiten $1'$ bezw. $2'$, $3'$, $4'$ wird demnach $= m \sec 1'$, bezw. $m \sec 2'$, $m \sec 3'$, $m \sec 4'$ sein, d. h. der Abstand zweier solcher Parallelkreise wächst proportional der Sekans der geographischen Breite. Der Abstand x des Parallelkreises in der Breite φ' vom Aequator ist somit dargestellt durch:

$$x = m (\sec 1' + \sec 2' + \sec 3' + \sec 4' + \dots + \sec \varphi')$$

Nach der höheren Analysis ist aber:

$$\begin{aligned} & \sec 1' + \sec 2' + \sec 3' + \sec 4' + \dots + \sec \varphi' \\ &= \frac{180 \cdot 60}{\pi} \cdot \overset{\text{nat.}}{\log} \operatorname{tg} \left(45^\circ + \frac{\varphi}{2} \right); \end{aligned}$$

somit wird der Aequatorialabstand des Parallelkreises in der Breite φ' , wenn m die Länge einer Aequatorbogenminute bedeutet, dargestellt durch:

$$x = m \cdot \frac{180 \cdot 60}{\pi} \cdot \overset{\text{nat.}}{\log} \operatorname{tg} \left(45^\circ + \frac{\varphi}{2} \right) = R \cdot \overset{\text{nat.}}{\log} \operatorname{tg} \left(45^\circ + \frac{\varphi}{2} \right).$$

*) Drei Karten von Gerhard Merkator. Europa — Britische Inseln — Weltkarte. Faksimile-Dichtdruck nach den Originalen der Stadtbibliothek zu Breslau. Herausgegeben von der Gesellschaft für Erdkunde zu Berlin. 41 Tafeln 68 : 47 cm.

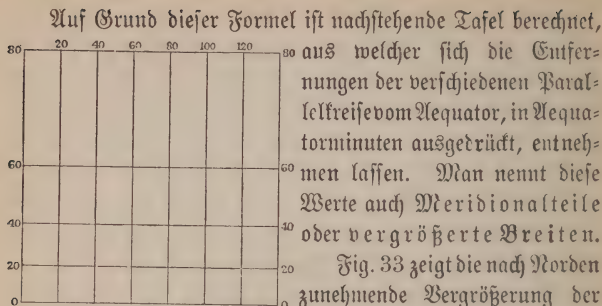


Fig. 33 zeigt die nach Norden zunehmende Vergrößerung der Breitengrade: aus den Quadraten der Aequatorialgebiete werden immer höhere Rechtecke auf der gleichen Grundlinie. Da für $\varphi = 90^\circ \operatorname{tg} (45^\circ + 45^\circ) = \infty$ ist, so kann man auf der Merkator-Karte die Pole nicht darstellen.

Geogr. Breite	Meridionaltheile	Geogr. Breite	Meridionaltheile	Geogr. Breite	Meridionaltheile
1°	60,0	19°	1161,5	37°	2392,6
2	120,0	20	1225,1	38	2468,3
3	180,1	21	1289,2	39	2544,9
4	240,2	22	1353,7	40	2622,7
5	300,4	23	1418,6	41	2701,6
6	360,7	24	1484,1	42	2781,7
7	421,1	25	1550,0	43	2863,1
8	481,6	26	1616,5	44	2945,8
9	542,2	27	1683,5	45	3029,9
10	603,1	28	1751,2	46	3115,6
11	664,1	29	1819,4	47	3202,7
12	725,3	30	1888,4	48	3291,5
13	786,8	31	1958,0	49	3382,1
14	848,5	32	2028,4	50	3474,5
15	910,5	33	2099,5	51	3568,8
16	972,7	34	2171,5	52	3665,2
17	1035,3	35	2244,3	53	3763,8
18	1098,2	36	2318,0	54	3864,6

Geogr. Breite	Meridional- teile	Geogr. Breite	Meridional- teile	Geogr. Breite.	Meridional- teile
55°	3968,0	64°	5039,4	73°	6534,4
56	4073,9	65	5178,8	74	6745,8
57	4182,6	66	5323,5	75	6970,3
58	4294,3	67	5474,0	76	7210,1
59	4409,2	68	5630,8	77	7467,2
60	4527,3	69	5794,6	78	7744,6
61	4649,2	70	5965,9	79	8045,7
62	4775,0	71	6145,7	80	8375,2
63	4904,9	72	6334,8	90	∞

Mit Hilfe dieser Tafel kann man das Netz einer Merkator-Karte leicht entwerfen, indem man durch Abziehen von zwei aufeinanderfolgenden Werten die in Minuten der Längenteilung ausgedrückte Größe der bezüglichen Breitengrade erhält. Soll z. B. das Gradnetz zu einem Blatte entworfen werden, welches sich von 20°—30° in der Länge östlich von Greenwich und 40°—50° in der Breite gegen Norden ausdehnt, so wird am untersten Rande des Blattes eine Gerade gezogen und in 10 gleiche Teile geteilt, welche den Längengraden von 20°—30° Ost entsprechen. In diesen Teilpunkten errichtet man die Meridiane und teilt sofort mindestens einen der Längengrade in 60 Teile, um Minuten ablesen zu können. Nun entnimmt man der voranstehenden Tabelle die den gegebenen Breitengraden entsprechenden Meridionalteile und bildet nach einander die Differenzen:

Breite	Mer. Teile der Tafel entnommen	Differenz
40	2622,7	
41	2701,6	78,9
42	2781,7	80,1
43	2863,1	81,4
44	2945,8	82,7

Die am untersten Rand des Blattes bereits ausgezogene Gerade stellt den Parallelkreis von 40° vor. Nun werden 78,9 Längenminuten ($= 1^\circ 18,9'$) auf den Meridian vom Parallelkreis von 40° aus aufgetragen; wo die Zirkelspitze den Meridian trifft, dort wird man den 41. Breitengrad haben. Vom 41. Grad aus trägt man weitere 80,1 Längenminuten auf, so wird man den 42. Grad erhalten u. s. w.

Die Merkator-Karte in der Projektion der wachsenden Breiten (*Carte réduite, Carta esférica*) findet ihre Anwendung zunächst in der Loxodromischen Schifffahrt. Sie gestattet auf die einfachste Weise, den Kurs zu bestimmen, der von einem Punkt der Erdoberfläche zum anderen führt, und die abzufegende Distanz abzumessen. Um den Kurs zu bestimmen, verbindet man auf der Karte den Abfahrtspunkt mit dem Bestimmungspunkt durch eine gerade Linie, welche die abzufegende Loxodrome darstellt. Auf der Seekarte sind nun mehrere Windrosen gezeichnet, und man braucht nur durch den Mittelpunkt der zunächst liegenden Windrose eine zu der bereits gezogenen parallele Gerade anzulegen. Der Windstrich, mit welchem diese Gerade zusammenfällt, ist der gesuchte Kurs, den der Seemann nach seinem Kompaß zu steuern hat.

In ähnlicher Weise lassen sich nun alle Aufgaben der gemeinen Schifferrechnung auf der Merkator-Karte graphisch lösen. Um die Distanz zweier Punkte zu messen, nimmt man ihre Entfernung nach der Karte in den Zirkel, trägt sie von der Mittelbreite beider Punkte an der wachsenden Breitenskala halb nach oben, halb nach unten auf und liest die Anzahl der zwischen die Zirkelspitzen fallenden Bogenminuten dieser Skala ab. Die Anzahl Bogenminuten giebt die Anzahl Seemeilen, von denen 60 auf einen Grad gehen. Ist aber

der Breitenunterschied der gegebenen Punkte zu groß, so teilt man die zu messende Entfernung auf der Karte in eine angemessene Anzahl von Teilen und mißt jeden Teil für sich in der eben angegebenen Weise.

Während der Fahrt bestimmt der Seemann täglich mindestens einmal seine geographische Position, um zu sehen, ob ihn nicht Strömungen, schlechtes Steuern und dergleichen von der zu verfolgenden Linie abgetrieben haben, und um nötigenfalls den Kurs für die Weiterfahrt berichtigen zu können. Die Bestimmung des Punktes oder der geographischen Position des Schiffes läßt sich auf dieser zu verfolgenden Linie festlegen, indem man den zurückgelegten Weg als das Produkt der Fahrtdauer und der durch die Logrechnung ermittelten Fahrtgeschwindigkeit auf dieser abträgt.

Um den Punkt, an welchem das Schiff angekommen ist, auf der Karte zu verzeichnen, zieht man durch den Abfahrtsort auf der Karte eine Gerade, welche mit den Meridianen den bestimmten Kurs einschließt, und trägt längs dieser Geraden die nach der geschätzten Mittelbreite von der Meridianstala abgenommene Distanz in der Richtung der Kurslinie auf; dann ist der Endpunkt dieser aufgetragenen Strecke der Ankunftsort.

Obwohl also die Merkator-Karte den Seeleuten alles bot, was sie brauchten, so wurde sie in der Schifffahrt doch nicht so rasch eingeführt, als man glauben sollte, ja, die allgemeine Verwendung der Seekartenprojektion und der Breitenminute als Seemeile ist eigentlich erst eine Errungenschaft des internationalen 19. Jahrhunderts. Auch als Landkartenprojektion hat sich die Merkator-Projektion erst in unserm Jahrhundert eingebürgert, dann aber derart, daß man wohl behaupten kann, das uns geläufige Weltbild ist das

der Merkator-Karte. Man verwendet dieselbe überall dort, wo man einer die allgemeine Länderform am treuesten darstellenden Uebersichtskarte der Erde benötigt. Die Gefahr dieses Gebrauches für unsere Vorstellungen von den Erdräumen liegt in der häufigen Nichtbeachtung der Thatsache, daß diese Darstellungsweise die den Polen näheren Gebiete beträchtlich vergrößert.

§ 8. Weitere von Merkator erdachte oder verbesserte Projektionen.

Die Begründung der im obigen geschilderten Projektion der wachsenden Breiten ist nicht die einzige Leistung Merkators für die Theorie der Kartenzeichnung. Sowohl für die Karte von Europa von 1554 wie für die Weltkarte des Ptolemäus bediente sich Merkator einer für Weltkarten allerdings schon vor ihm (Bernardus Sylvanus S. 69) benutzten Umänderung der Kegelpjektion. Er wickelte die das abzubildende Land im Mittelparallel berührende Kegelfläche ab, machte die Meridiangrade untereinander gleich und zeichnete die Parallelkreise als konzentrische Bögen, ganz wie es auf S. 33 f. angegeben ist. Anstatt nun aber, wie Ptolemäus, nur den Mittelparallellkreis oder eine bestimmte Anzahl von Parallelkreisen nach dem wahren Verhältnis einzuteilen, that er dies für alle Parallelkreise und erhielt die Meridiane durch Verbindung der gleichwertigen Teilpunkte. Soll ein solches Netz die Breiten φ bis χ umfassen, so ist nach der Formel S. 33 der jedem Breitengrade entsprechende Zentriwinkel α :

für den Parallelkreis φ $\alpha = \sin \varphi$

" " " $(\varphi + 1)^\circ \alpha_1 = \sin (\varphi + 1)^\circ$

" " " $(\varphi + 2)^\circ \alpha_2 = \sin (\varphi + 2)^\circ$

.....

" " " $(\varphi + \chi)^\circ \alpha_\chi = \sin (\varphi + \chi)^\circ$.

Man nennt diese Projektion auch die Bonne'sche, weil sie von dem französischen Kartographen Rigobert Bonne (1727—1794) wieder benutzt wurde; in Frankreich bezeichnet man sie auch als die projection du Dépôt de la Guerre, weil sie von einer Kommission im Jahre 1803 für die topographische Karte Frankreichs bestimmt wurde. Die Bonne'sche Projektion (Fig. 34) liefert, namentlich in den Ecken der Karte, bedeutende Winkelverzerrungen, dagegen giebt sie,

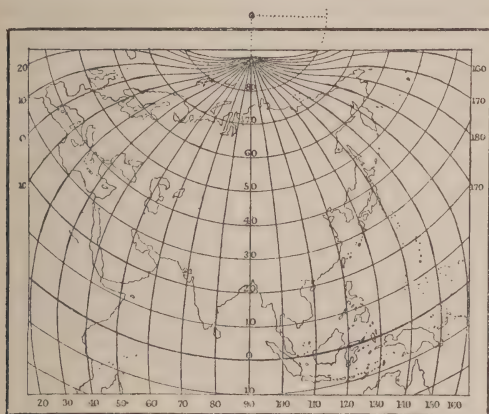


Fig. 34.

wie später gezeigt wird (S. 91), eine flächentreue Abbildung und wurde bisher sehr viel angewandt, obwohl sie keineswegs den nach dem heutigen Stande der Wissenschaft zu stellenden Forderungen genügt. Die meisten Karten unserer Atlanten, z. B. des Stieler'schen Atlas, sind noch nach dieser Projektion gezeichnet.

Unmittelbar aus dieser läßt sich die sogenannte Projektion von Nikolaus Sanson (1600—1667) ableiten, die indes auch bereits Merkator für die Karte von Süd-

amerika in der ersten holländischen Hondius-Ausgabe seines Atlas anwandte. Anstatt nämlich die Parallelkreise als Kreisbögen anzunehmen, sind sie in derselben gerade Linien, und diese Entwurfsart kann daher auch als modifizierte Cylinderprojektion gelten. Ihre Konstruktion ist folgende:

Der Mittelmeridian der Karte wird als gerade Linie NS, Fig. 35, angelegt und in die unter sich gleichen Breitengrade eingeteilt; durch die Teilpunkte des Meridians zieht man Senkrechte auf denselben, welche die Breitenparallelen darstellen.

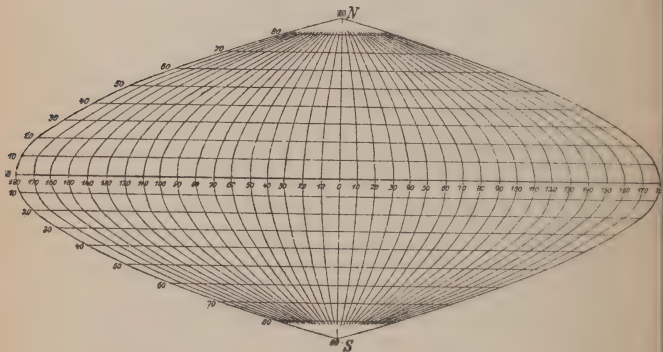


Fig. 35.

Auf jedem Parallelkreis wird nun vom mittleren Meridian der Karte aus die wirkliche Länge der Parallelgrade aufgetragen, worauf die entsprechenden Teilpunkte durch Kurven verbunden werden. Ist also l die Länge eines Meridiangrades, so wird auf dem Parallelkreis zu Breite φ jeder Grad $= l \cos \varphi$ gemacht.

Diese Projektion giebt keine sehr große Genauigkeit; besonders sind die vom mittleren Meridian entfernten Teile der Karte und die Polargebiete etwas verzeichnet. Sie eignet sich vorzüglich nur für Länder, welche bei geringer Länge vom

Äquator durchschnitten werden, und es ist in den gewöhnlichen Atlanten zunächst das Blatt von Afrika nach dieser Methode gezeichnet. Figur 35 zeigt das nach dieser Projektion entworfene Netz der ganzen Erde. Diese Projektion wird fälschlich auch nach John Flamsteed (1646—1719), der sie 1700 für die Zeichnung von Himmelkarten benutzte und sie so nur wieder in Aufnahme brachte, benannt.

Eine weitere Modifikation der Kegelsprojektion, die uns Merkator auf seinen Atlas-Karten von Deutschland und Frankreich (1585) hinterließ, trägt jetzt den Namen der Projektion von De l'Isle, nach dem französischen Geographen Jos. Nic. De l'Isle (1688—1768), der nach ihr im Jahre 1745 eine Karte von Rußland herausgab.

Sind AB und CD (Fig. 36) die äußersten Parallelkreise des abzubildenden Landes, so denke man sich eine Kegelfläche durch die zwei Parallelkreise EF und GH gelegt, die gleichweit vom Mittelparallel und den beiden äußersten Parallelkreisen der Karte entfernt sind. Wickelt man diese Kegelfläche ab, so werden die Meridiane als Gerade, die Parallelkreise als konzentrische Kreisbögen mit dem Mittelpunkt in S und die Projektionen von EF und GH in natürlicher Größe dargestellt.

Bei dieser Abwicklung handelt es sich zunächst um die Bestimmung von SH und SF .

Halbiert man den Bogen FH , so ist:

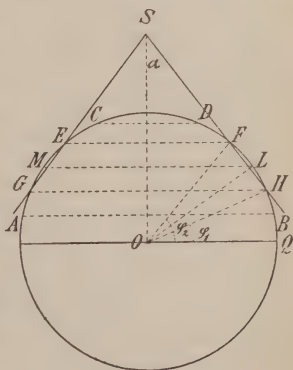


Fig. 36.

$$\sphericalangle QOL = \frac{1}{2} (\varphi_1 + \varphi_2)$$

und, weil $OL \perp SH$, $OQ \perp OS$, $\alpha = QOL = \frac{1}{2} (\varphi_1 + \varphi_2)$.

Ferner ergibt sich aus $\triangle SOF$, wenn der Kugelradius $= R$ ist:

$$OF : SF = \sin \alpha : \sin (90^\circ - \varphi_2), \text{ oder}$$

$$SF = r_2 = \frac{R \cos \varphi_2}{\sin \frac{1}{2} (\varphi_1 + \varphi_2)}$$

Aus $\triangle SOH$ folgt

$$OH : SH = \sin \alpha : \sin (90^\circ - \varphi_1)$$

$$\text{d. h. } SH = r_1 = \frac{R \cos \varphi_1}{\sin \frac{1}{2} (\varphi_1 + \varphi_2)}$$

Bei der Konstruktion des Gradnetzes berechnet man also die Radien r_1 und r_2 für die zwei Parallelkreise EF und GH und beschreibt vom Punkte c aus (Fig. 10) mit den ersteren die Kreisbögen pq und rs , welche vom Mittel- und von den Randparallelkreisen gleichweit abstehen. Dann halbiert man mn , trägt $ma = na = nx = my = \frac{1}{2} mn$ auf und teilt yx in

soviel Teile ein, als die Karte Breitengrade umfassen soll. Trägt man endlich auf pq und rs vom Mittelmeridian aus die wahren Längen der Parallelkreisgrade auf, so hat man nur mehr die gleichwertigen Teilpunkte durch Gerade zu verbinden, um die Meridiane zu erhalten. Diese Projektion eignet sich für den Entwurf der Bilder kleinerer Erdgebiete mittlerer Breiten; in unsern Atlanten sind nach ihm die Karten der Staaten Europas gezeichnet.

Endlich hat Merkator noch die sogenannte äquidistante Projektion erdacht. Weil sich nämlich auf seiner großen See-

karte von 1569 die Polarländer nicht darstellen ließen, gab er auf einer Nebenkarte eine Abbildung derselben in folgender Weise: Um den Pol N als Mittelpunkt (Fig. 37) zog er die Breitenkreise in gleichen Abständen als Kreise aus, sodaß die Breitengrade unter einander gleich wurden. Die Meridiane legte er als gerade, durch den Pol laufende Linien an, die sich unter gleichen Winkeln wie auf der Kugel schneiden. Die Italiener nennen diese Projektion polar-globular, die

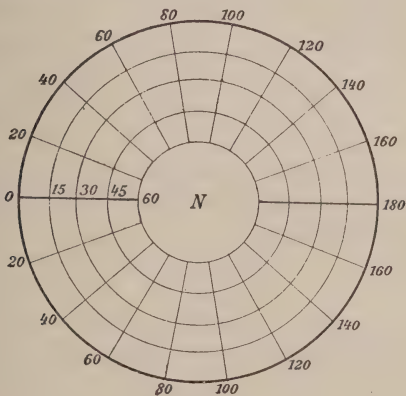


Fig. 37.

Franzosen die Projektion von Wilhelm Postel (1505 — 1581), da dieser französische Geograph dieselbe 1581 für die Darstellung der nördlichen Halbkugel verwandte. Allein bei größeren Länderabbildungen entsteht in größerer Entfernung vom Mittelpunkte der Karte eine zu große Verzerrung; Merkator sah dies ein und dehnte daher seine Karte nur auf einen Abstand von 20° vom Pol aus.

Viertes Kapitel.

Die neueren Projektionen.

§ 9. Äquivalente oder flächentreue Projektionen.

Auf S. 18 der Einleitung sahen wir, daß der Bogen AB der Erdfugel bei der Abbildung auf dem künstlichen Globus im Verhältnis $\frac{r}{R}$ verkleinert wird. Bezeichnen wir den Bogen ab des Globus mit a, den Bogen AB der Erdfugel mit A, so ist:

$$a = \frac{r}{R} A.$$

Bilden wir mit dem sehr kleinen Bogen A ein Quadrat, so wird der Flächeninhalt desselben A^2 und der Flächeninhalt seiner Projektion a^2 sein. Es ist aber:

$$a^2 = \frac{r^2}{R^2} A^2.$$

Für ein anderes Quadrat, dessen Seite auf der Erdfugel B, in der Projektion b ist, wird man erhalten:

$$b^2 = \frac{r^2}{R^2} B^2, \text{ somit: } a^2 : b^2 = A^2 : B^2.$$

Auf dem künstlichen Globus verhalten sich somit die Flächenteile wie die Urbilder auf der Erdfugel, sie ändern das gegenseitige Größenverhältnis nicht. Gelingt es bei einer Abbildungsmethode, in einem ebenen Bilde diese Eigenschaft beizubehalten, so erhält man eine flächentreue oder äquivalente Abbildung.

Denkt man sich die Fläche F, deren Projektion f ist, in Quadratnetze zerlegt, deren kleine Quadratseiten $A_1, A_2, A_3 \dots$, bzw. in der Projektion a_1, a_2, a_3, \dots sind, so be-

stehen dem Gesagten zufolge in den äquivalenten Abbildungen die Verhältnisse:

$$a_1^2 : a_2^2 : a_3^2 : \dots = A_1^2 : A_2^2 : A_3^2 : \dots$$

folglich $(a_1^2 + a_2^2 + a_3^2 + \dots) : (A_1^2 + A_2^2 + A_3^2 + \dots) = a_1^2 : A_1^2$,
oder $f : F = a_1^2 : A_1^2$.

Macht man $f = F$, so ist auch $a_1^2 = A_1^2$. Bildet man also eine sphärische Figur derart ab, daß der Flächeninhalt in seiner wahren Größe wiedergegeben wird, so sind auch die kleinen Flächenteile der Projektion gleich den entsprechenden Flächenteilen der sphärischen Figur. Ist demnach F der Flächeninhalt auf dem künstlichen Globus, f jener in der Projektion, und macht man $f = F$, so wird auch für irgend ein Quadrat, dessen Seite in der Projektion a ist, $a^2 = A^2$ sein. Berechnet man daher den Flächeninhalt f eines Landes aus einer äquivalenten Abbildung, so wird man den wirklichen Flächeninhalt F aus

$$F = \frac{R^2 f}{r^2}$$

erhalten. Solche Projektionen sind in der Praxis dann wichtig, wenn es sich um die Bestimmung des Flächeninhalts der Länder handelt.

Von den bisher beschriebenen Projektionen ist außer der Sanson-Flamsteed'schen Projektion jene von Bonne (S. 85 f.) und die herzförmige von Stab-Werner (S. 70) äquivalent. Um dies einzusehen, berücksichtige man, daß ein sehr schmaler Ringstreifen, welcher zwischen zwei Parallelkreisen mit den Peripherien a und b liegt, als Kegelumfsmantel angesehen werden kann, dessen Mantelfläche gleich dem Produkte aus $\frac{a+b}{2}$ und dem Abstände dieser Parallelkreise ist. In den erwähnten Projektionen erscheinen diese Strecken

in wahrer Größe; es wird daher ein solcher Streifen auf der Karte ebenfalls in wahrer Größe abgebildet. Dies gilt für alle unendlich schmalen Kugelfstreifen, und da man jede sphärische Figur in der Richtung der Parallellkreise in unendlich schmale Streifen zerlegen kann, deren Projektionen gleich ihren Originalen sind, so wird ein jeder Teil der Kugelfläche auf dem Blatte in wahrer Größe abgebildet, womit die Flächentreue bewiesen ist.

Der Wert der flächentreuen Abbildungen und der Begriff der Äquivalenz wurde erst durch den elsässischen Mathematiker Johann Heinrich Lambert (1728—1777) erkannt und geschätzt. Bis auf Lambert hatte niemand eine analytische Untersuchung der Gesetze der Kartenprojektionen geliefert; er war der erste, der dies that und sich vorzüglich mit der Eigenschaft der Äquivalenz beschäftigte. Lambert erdachte u. a. die flächentreue Cylinderprojektion, auch isochyindrische Projektion genannt.

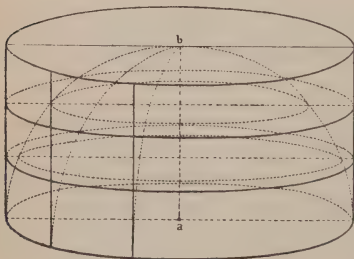


Fig. 38.

Man denkt sich bei derselben die Kugel von einem senkrechten Kreiscylinder umhüllt, welcher sie längs des Äquators berührt (Fig. 38). Anstatt nun Sehstrahlen von einer bestimmten Lage des Augpunktes auszuführen, denkt man

sich die Meridianebenen verlängert; diese treffen die Cylinderfläche in parallelen, gleichweit abstehenden Geraden. Verlängert man in gleicher Weise die Parallellkreisebenen, so werden letztere

die Cylinderfläche in Kreisen schneiden, welche mit dem Aequator parallel und gleich sind. Denkt man sich nun die Cylinderfläche in eine Ebene abgewickelt, so entsteht ein Netz von senkrecht aufeinander stehenden Geraden (Fig. 39), bei welchem die Meridiane gleiche Entfer-

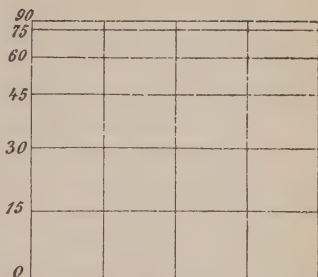


Fig. 39.

nungen besitzen, während die Distanz der Parallelkreise mit dem Sinus der Breite um so mehr abnimmt, je näher die letzteren dem Pol liegen. Es entsteht also ein Netz, welches dem der Merkator-Karte durch die Breitenverminderung der Gradfelder in den polaren Theilen entgegengesetzt ist und wie dieses sich auch nur für die Darstellung dem Aequator benachbarter Zonen empfiehlt.

Daß diese so einfache Projektion äquivalent ist, geht aus folgendem hervor: Die Höhe $a b$ des umschriebenen Cylinders in Fig. 38 vom Aequator bis zum Pol ist gleich dem Halbmesser seiner Basis, beziehungsweise gleich dem Halbmesser der Kugel, daher seine Mantelfläche $= 2 R^2 \pi$. Aber auch die Fläche der Halbkugel ist $= 2 R^2 \pi$, daher ist der Flächeninhalt der abgewickelten Cylinderfläche gleich dem Flächeninhalt der Halbkugel und somit auch derjenige der kleinen Flächenstücke gleich denen der Halbkugelteile, d. h. die Projektion ist flächentreu.

Eine weitere überaus wichtige Erfindung Lamberts war die flächentreue Azimutalprojektion. Bei derselben berührt die Bildebene die Mitte des darzustellenden Theils der Kugeloberfläche, und man verlangt, daß alle Punkte, die sich

auf der Kugel in gleicher Entfernung von dem Berührungspunkte befinden, auch in der Abbildung auf einem Kreise um die Kartenmitte liegen sollen, und daß jeder Punkt vom Berührungspunkte aus auf Kugel und Karte in derselben Richtung, d. h. in demselben Azimute (siehe S. 9), verbleibe. Soll die Azimutalprojektion auch flächentreu sein, so müssen die zum Berührungspunkte konzentrischen Zonen auf der Kugel mit ihren als Kreisringe erscheinenden Projektionen auf der

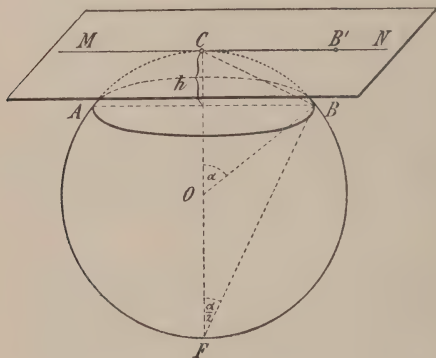


Fig. 40.

Karte gleichen Inhalt haben. Ist in Fig. 40 $A C B$ die abzubildende Calotte, so muß der Kreis $A B$ auf dem Blatte wieder als Kreis erscheinen, und es handelt sich um die Bestimmung des Halbmessers $C B'$ des letzteren. Die Fläche der Calotte $A C B$ ist $= 2 R \pi h$, jene des Kreises vom Halbmesser $C B' = C B'^2 \pi$, und es soll sein:

$$2 R \pi h = C B'^2 \pi, \text{ oder } C B'^2 = 2 R h.$$

Ist $\sphericalangle C O B = \alpha$, so hat man aus $\triangle C F B$ (rechtwinklig bei B):

$$CB = 2 R \sin \frac{\alpha}{2}.$$

Aus $CB'^2 = 2 R h$ folgt aber, daß CB' die mittlere geometrische Proportionale zwischen $2 R$ und h sein soll, welche Eigenschaft der Linie CB zukommt, also:

$$CB' = CB = 2 R \sin \frac{\alpha}{2}.$$

Nach dieser Formel werden die Abstände der Punkte vom Mittelpunkt der Karte berechnet. Diese Abstände genügen aber zum Auftragen der Punkte noch nicht, man muß noch die Richtungen in Bezug auf die Hauptachse, auf die Nord-südlinie, die Azimute, kennen. Da man die Azimute in wirklicher Größe erhalten will, so sind diese auf dem Blatte einfach nach ihrem wahren Betrag aufzutragen. Ist in Fig. 41 P der Pol, C der Punkt, welchen die Bildebene berührt, M ein Punkt, der zu projizieren ist, PCP' , θ der Meridian von C , end-

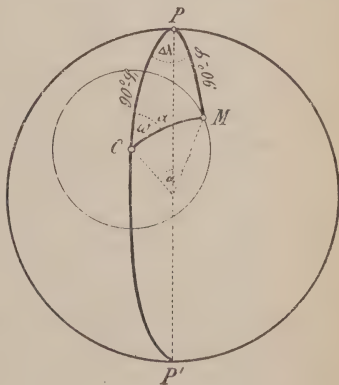


Fig. 41.

lich CM der durch C und M ziehende Bogen eines Vertikalkreises, so ist $\angle PCM$ das Azimut (ω) von CM in Bezug auf PCP' ($CM = \angle \alpha$).

Gewöhnlich sind aber Länge (λ) und Breite (φ) der aufzutragenden Punkte gegeben, und man muß demnach α und ω durch λ und φ ausdrücken. Für die Berechnung von CM aus dem sphärischen Dreieck PCM hat man, wenn φ_1 und λ_1 die Breite bzw. Länge von C bedeuten:

$$\cos \alpha = \cos (90^\circ - \varphi_1) \cos (90^\circ - \varphi) + \sin (90^\circ - \varphi_1) \sin (90^\circ - \varphi) \cos \Delta \lambda^*),$$

wobei $\Delta \lambda = \sphericalangle \text{CPM} = \lambda - \lambda_1$ ist, und für die Berechnung von ω :

$$\sin \omega : \sin \Delta \lambda = \sin (90^\circ - \varphi) : \sin \alpha$$

$$\sin \omega = \frac{\cos \varphi \sin \Delta \lambda}{\sin \alpha}.$$

Um also den Punkt M auf der Karte darzustellen, wird man durch den Mittelpunkt c des Blattes (Fig. 42) den Mittelmeridian NS legen, das Azimut ω an den Meridian

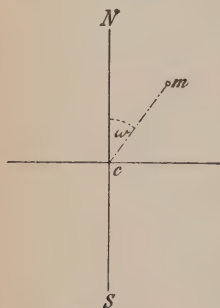


Fig. 42.

in c anlegen und $cm = 2 R \sin \frac{\alpha}{2}$ machen. c entspricht dem Berührungspunkte C (Fig. 41), NS dem Meridiane PCP'.

Die Konstruktion der azimutalen Polarprojektion, für die also die Bildebene die Erdoberfläche an einem der Pole berührt, ist demnach sehr einfach. (Fig. 43). Wie bei der stereographischen Polarprojektion werden die Meridiane durch gerade Linien dar-

gestellt, die sich im Pol unter ihren wahren Winkeln schneiden. Für jeden Punkt eines Parallelkreises zur Breite φ ist dann in Fig. 40 $\alpha = 90^\circ - \varphi$; also ist der Halbmesser des zugehörigen Bildkreises:

$$CB' = CB = 2 R \sin \left(45^\circ - \frac{\varphi}{2} \right).$$

*) Ist POP' der Null-Meridian, so hat man: $OPP' = \lambda_1$, $OPM = \lambda$ und $CPM = OPM - OPC = \lambda - \lambda_1 = \Delta \lambda$.

Etwas schwieriger gestaltet sich die Zeichnung eines Entwurfes in azimutaler Aequatorial- oder Meridionalprojektion, also für die Fälle, daß das Zentrum auf dem Aequator oder in einem beliebigen anderen Punkte angenommen ist. Die größeren Lehrbücher der Projektionslehre enthalten Tabellen für die Konstruktion dieser Netzentwürfe.

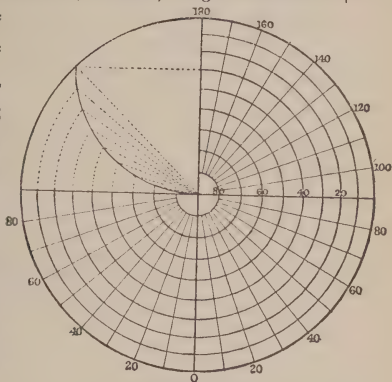


Fig. 43.

Die flächentreue Azimutalprojektion eignet sich für die Darstellung ganzer Kontinente besser als die in den jetzt gebräuchlichen Atlanten gewöhnlich hierfür angewandten von Bonne und Flam-



Fig. 44.

steed; sie wurde neuerdings von dem Obersten De Coatpont für Planigloben wie auch insbesondere zur Darstellung von Asien angelegentlich empfohlen. Fig. 44 zeigt ein Netz in flächentreuer Azimutalprojektion auf der Mittelbreite von 45° , in welches, gleichwie in das Netz von Bonne (Fig. 34), die Länderumrisse von Asien und Europa eingezeichnet sind. Die Form Europas bei dieser Entwurfsart läßt die Vorzüge der Lambert'schen Projektion vor der Bonne'schen deutlich erkennen.

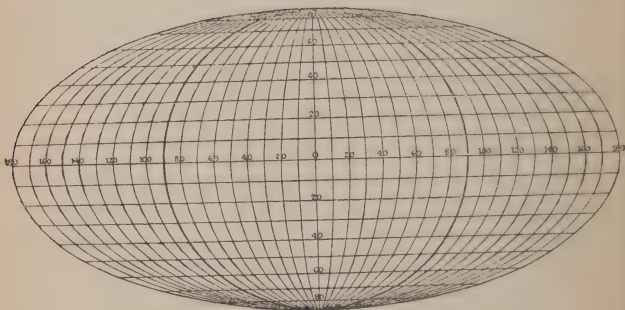


Fig. 45.

Ein der Sanson-Flamsteed'schen Darstellungsart sehr ähnlicher Entwurf, der sich auch zur Darstellung der ganzen Erde eignet, ist die von C. B. Mollweide (1774—1825) erdachte, später von Jacques Babinet (1794—1872) unter dem Namen der homalographischen Projektion wieder empfohlene Projektionsmethode. Nach ihr wird (Fig. 45) der Mittelmeridian als gerade Linie in wahrer Länge, ebenso auch die Parallelkreise als auf ihm senkrechte gerade Linien in wahrer Länge abgebildet, und die Abbildung soll flächentreu sein. Um aber ein der Erdgestalt ähnlicheres Netz als

das Sanson'schen zu erhalten, werden die Meridiane als Ellipsen mit dem Bild des Mittelmeridians als gemeinsamer Achse dargestellt. Für die Konstruktion dieses Netzes ergibt sich also, daß die Meridiane als Ellipsen durch die Pole und die Teilpunkte des in gleiche Teile getheilten Aequators gelegt werden müssen, daß aber die gleichmäßige Einteilung des Mittelmeridians aufgegeben werden muß. Vielmehr rücken die Parallelen polwärts immer näher zusammen, jedoch nicht so stark, daß die Deutlichkeit des Bildes darunter leidet. Die Werte, welche den vom Aequator von 5 zu 5 Grad fortschreitenden Breiten entsprechen,* sind von Bourdin berechnet worden.

§ 10. Neuere Modifikationen der Cylinder- und Kegelprojektionen.

Als es sich im vorigen Jahrhundert um die Konstruktion der neuen Karte von Frankreich handelte, verwandte C. = Fr. Cassini de Thury (1714—1784) eine neue Projektion, die seinen Namen trägt, aber auch als Cassini = Goldner'sche Projektion bezeichnet wird, weil sie später Goldner für den topographischen Atlas des Königreichs Bayern angewandt hat. Diese Projektion liegt auch den Generalstabskarten von Württemberg und Baden zu Grunde.

Bei derselben denkt man sich durch einen Zentralpunkt

*) Ist für die Darstellung der Halbkugel der Radius der Projektionskreises $\rho = R \sqrt{2}$ als Einheit angenommen, so betragen diese Werte X:

$\varphi =$	5°	10°	15°	20°	25°	30°	35°	40°	45°
X =	0,069,	0,137,	0,205,	0,272,	0,339,	0,404,	0,468,	0,531,	0,592,
$\varphi =$	50°	55°	60°	65°	70°	75°	80°	85°	90°
X =	0,651,	0,708,	0,762,	0,814,	0,862,	0,906,	0,945,	0,978,	1

ein rechtwinkliges Koordinatensystem gelegt und bestimmt alle anderen Punkte durch ihre Abstände von diesen Achsen. Als Centralpunkt wählte Cassini die Pariser Sternwarte; eine Achse des Systems war der durch diesen Punkt gelegte Meridian, die andere stand senkrecht darauf. Nun bestimmte Cassini den von jedem anderen Punkte auf den Pariser Meridian gefällten senkrechten größten Kreisbogen und den Abstand des Fußpunktes dieses Bogens vom Centralpunkt. Diese beiden Abstände trug er direkt auf das Blatt als geradlinige Koordinaten auf. Die geographischen Längen und Breiten ließ Cassini ganz unbeachtet; auch verfuhr er sein Blatt nicht mit dem Gradnetze. Ein solches läßt sich aber nachträglich anlegen, wenn man die im gleichen Meridian oder im gleichen Parallelkreis gelegenen Punkte durch Kurven verbindet. Soldner erwarb sich um diese Projektion besondere Verdienste, indem er Tabellen berechnete und veröffentlichte, durch welche man obige Koordinaten in geographische verwandeln kann. Diese Projektion gehört zu den cylindrischen, indem man dasselbe Bildungsgesetz erhält, wenn man den Cylinder so anlegt, daß er den Meridian des Centralpunktes berührt, und noch die Bedingung stellt, daß alle Punkte, welche auf der Erdoberfläche im gleichen Bogenabstande vom Mittelmeridian liegen, auch in der Karte denselben Abstand von ihm haben. Die Cassini-Karte ist eigentlich nur eine Abart der quadratischen Plattkarte.

Das Militär-Geographische Institut in Italien bedient sich eines ähnlichen Verfahrens für die Konstruktion seiner topographischen Blätter. Jedes Blatt entspricht einem sphärischen Viereck auf dem Globus, dessen eine Seite einem Meridianbogen von $20'$, dessen andere dem Bogen eines Parallelkreises von $30'$ entspricht. Der Mittelmeridian und der mittlere Parallelkreis eines jeden

Blattes sind durch zwei aufeinander senkrecht Geraden dargestellt, die in ihrer verhältnismäßig wahren Länge dargestellt sind. Auf das so entstehende Achsensystem sind die Punkte der Karte nach ihren Abständen aufgetragen. Diese Projektion nennt man in Italien „*projezione naturale*“ (natürliche Projektion).

Auf dem gleichen Principe beruht die sogenannte preussische Polyederprojektion, nach welcher die Generalstabskarte von Preußen und des deutschen Reiches (1: 100 000) und die neue Spezialkarte der österreichisch-ungarischen Monarchie (1: 75 000) entworfen sind. Die Seiten der Vierecke bzw. Trapeze, der Gradabteilungen, betragen hier 30' in der Länge und 15' in der Breite. Die Trapeze werden hierbei so klein, daß man sie als ebene Trapeze ansehen kann. Die Punkte auf der schwach gewölbten Kugelfläche kann man sich auf die durch die 4 Eckpunkte gelegte Vierecksebene durch kurze Lote übertragen denken. Soll ein großes Land, das aus sehr vielen solchen Trapezen zusammengesetzt ist, dargestellt werden, so erhält man eigentlich eine Projektion auf das Polyeder (S. 61), welches von den durch sämtliche Netzschnittpunkte gelegten Ebenen begrenzt ist, woher auch der Name dieser Projektion rührt.

Bei diesen Methoden verzichtet man eigentlich auf das genaue Aneinanderpassen der Blätter, und man kann in der That nicht das ganze Land als ebene Abbildung aus den Sektionen zusammensetzen. Wo es sich dagegen nur um eine beschränkte Zahl von Nachbarsektionen (bis zu 9) handelt, sind die Abweichungen der Begrenzungslinien der Blätter so gering, daß sie von den zufälligen Unregelmäßigkeiten in der Zusammenziehung des Papiers beim Druck weit übertroffen werden.

Die Küstenvermessungskommission der Vereinigten Staaten

Nordamerikas (Coast Survey) benützt für ihre Karten die sogenannte polykonische Projektion, eine Abänderung der gewöhnlichen Kegelprojektionen. Denkt man sich das darzustellende Land durch Parallelkreise in schmale Zonen geteilt und jede derselben auf diejenige Kegelfläche abgebildet, die sie im Mittelparallel berührt, so erhält man eine Abbildung auf ein System von Kegelrumpfen, deren Spitzen die Kugelachse in verschiedenen Punkten treffen. Schneidet man alle längs derselben Kante auf und wickelt sie ab, so erhält man die Gesamtkarte, wenn man diese Mantelstücke so übereinanderlegt, daß die Basis des einen die obere Fläche des nächsten berührt. Diese Berührung kann jedoch nicht an allen Punkten stattfinden, — wenn man sie im Mittelmeridian herstellt, werden die Enden von einander abstecken (Fig. 46) — und man erhält keine zusammenhängende Abbildung des Kugel-

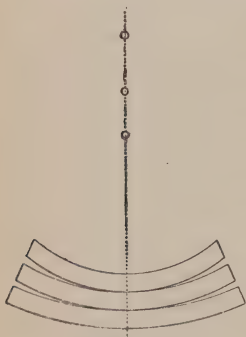


Fig. 46.

gebiets. Macht man aber die Streifen sehr schmal, so wird die Abweichung an den Enden kaum merklich. Um also das Netz zu konstruieren, geht man wie folgt vor. Man legt den Mittelmeridian als gerade Linie an und teilt diese in gleiche Teile ein, welche die Breitengrade der Karte ergeben. Anstatt nun aber wie bei der gewöhnlichen Kegelprojektion nur den Halbmesser des mittleren Breitenkreises zu bestimmen, muß man für jeden einzelnen Parallel-

kreis einen neuen Halbmesser suchen. In Fig. 47 wird man also, wenn die Parallelstreifen a , b , c darzustellen sind, die Halbmesser $a m$, $b m_1$, $c m_2$ berechnen (S. 33) und mit den-

selben die Bögen auf der Karte beschreiben. Nun wird jeder einzelne Parallelkreisbogen seiner wahren Größe entsprechend lang gemacht, wie in der Bonne'schen Projektion. Die Verbindung der gleichwertigen Teilpunkte giebt die Meridiane, welche krummlinig ausfallen.

Bei der polykonischen Projektion können die Meridiane und die Parallelkreise nicht aufeinander senkrecht stehen. Die Verzerrung, welche bei der gewöhnlichen Kegelprojektion die äußeren Parallelkreise trifft, fällt hier auf die von der Mitte entfernteren Meridiane. Deshalb

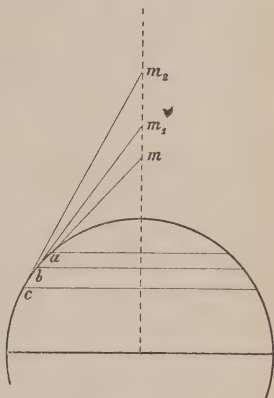


Fig. 47.

ist die polykonische Projektion nur dann der Kegelprojektion vorzuziehen, wenn es sich um die Kartierung eines schmalen Küstenlaufes oder um Länder wie Südamerika oder Chile handelt, welche eine starke Ausdehnung von Norden nach Süden haben.

In der Generalstabsabteilung des englischen Kriegsministeriums (Topographical Department, War Office) benützt man die sogenannte orthogonale polykonische Projektion, die sich von der vorangehenden dadurch unterscheidet, daß bei der letzteren die Meridiane und die Parallelkreise sich rechtwinklig schneiden. Die Parallelkreise werden, wie oben angegeben ist, gezeichnet; um aber die Rechtwinkligkeit der Meridian- und Parallelkreise zu erhalten, wird auf das richtige Größenverhältnis der Parallelgrade verzichtet. Nur am Äquator sind die Grade richtig aufgetragen und durch die Teilpunkte Kurven gelegt, die alle Parallelkreise senkrecht schneiden.

§ 11. Stern- und blattförmige Karten.

Die sogenannten sternförmigen Karten bilden eine Abart der Regelprojektion und verfolgen den Zweck, letztere bei der Darstellung der ganzen Welt auf einem einzigen Bilde zu verwenden. Sie wurden in unserem Jahrhundert durch G. Jäger für eine das nördliche Polargebiet als tiergeographisches Centrum darstellende Zeichnung in Anregung gebracht.

Jäger entwarf die nördliche Hemisphäre nach der gewöhnlichen äquidistanten Regelprojektion und teilte dann den Äquator in acht ungleiche Teile, und zwar in einen Bogen von 55° , in drei von 50° , in einen von 45° , in einen von 40° und in zwei zu je 35° . Die Meridiane sind in derselben als gerade Linien dargestellt, die sich im Mittelpunkt der Karte als dem Nordpol begegnen. Die Parallelkreise sind aber nicht durch die Bögen der konzentrischen Kreise dargestellt, sondern durch die bezüglichen Sehnen zu den Bögen von 55° , 50° , 45° u. s. w., zu den Bögen nämlich, in welche der Äquator geteilt wurde. Das ganze Bild enthält bei diesem ersten Entwurfe das Aussehen eines unregelmäßigen Achtecks. Mit einem Halbmesser, welcher dem Durchmesser des dem Äquator umschriebenen Kreises gleich ist, beschreibt dann Jäger vom Pol als Mittelpunkt einen zweiten Kreis. Auf letzteren verlegt er die Spitzen von acht gleichschenkligen Dreiecken, die über den acht Sehnen zu beschreiben sind, welche den Äquator darstellen. In jedem dieser Dreiecke werden schließlich die Parallelkreise in gleichen Abständen als gerade, zur Basis parallele Linien ausgezogen.

Der berühmte Geograph August Petermann hat diese Abbildungsmethode Jägers vereinfacht, indem er die nördliche Hemisphäre ganz nach dem Princip der äquidistanten Projektion entwarf und den Äquator in acht gleiche Teile teilte (Fig. 48).

Die Spitzen der nunmehr anzulegenden gleichschenkligen Dreiecke werden in gleicher Weise wie früher bestimmt, da aber der Aequator als vollständiger Kreis erscheint, ist hier von eigentlichen Dreiecken keine Rede, sondern es werden die Grundlinien der letzteren durch die bezüglichen Bögen des Aequators

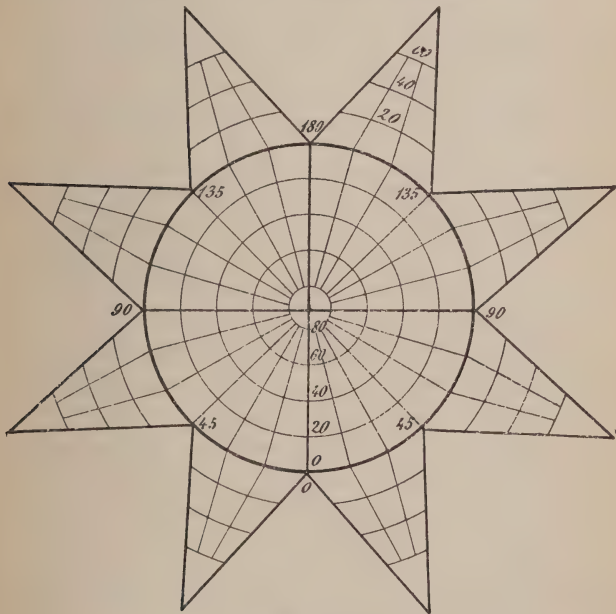


Fig. 48.

ersetzt. Das ganze erscheint wie ein regelmäßiger Stern: daher die Bezeichnung sternförmige Karte. In den Strahlen des Sternes sind die Parallellkreise vom Nordpol aus als konzentrische, gleich weit von einander abstehende Bögen dargestellt; die Meridiane erhält man in den Stern-

strahlen, indem man die Teilpunkte des Aequators mit den Spitzen der Strahlen durch gerade Linien verbindet.

Weitere Abarten der Jäger'schen Projektion entstanden durch verschiedene Einteilung des Aequators. Von ihnen soll hier außer der fünfstrahligigen von H. Berghaus, der Devise

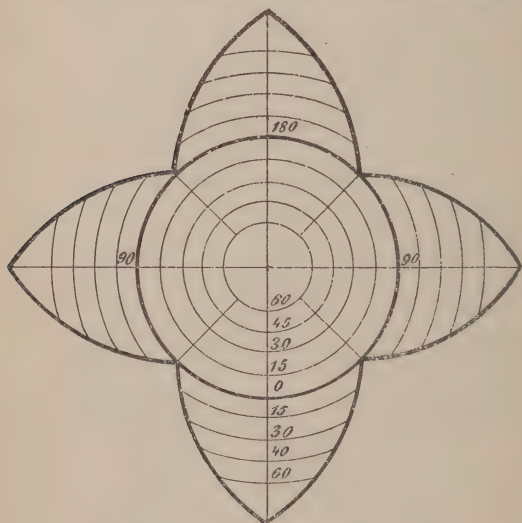


Fig. 49.

des Stieler'schen Atlas, nur noch derjenigen von A. Steinhauser Erwähnung geschehen. (Fig. 49).

Die nördliche Hemisphäre wird nach der äquidistanten Projektion (S. 89) gezeichnet und auf vier um 90° von einander entfernten und verlängerten Meridianen die gleiche Breিতেilung für die südliche Hemisphäre aufgetragen. Durch die Teilpunkte sind kreisbogenförmige Parallelkreise mit dem

Mittelpunkt im Nordpole der Projektion geführt. Auf diesen Parallelkreisen trägt man die Längengrade in gleicher Größe wie auf der nördlichen Hemisphäre auf und verbindet die gleichen Teilungspunkte durch Kurven, welche die Meridiane darstellen.

§ 12. Ueber die Auswahl der Projektionen mit geringster Verzerrung.

Wenn es sich um die Abbildung eines Landes handelt, wird man immer darnach trachten, diejenige Projektion zu wählen, welche die geringste Verzerrung oder Veränderung der Winkel, Längen und Flächeninhalte verursacht, wenn nicht gerade specielle Bestimmungen für die Karte eine andere Entwurfsart erheischen.

Bei den folgenden Betrachtungen sind daher diejenigen Projektionen ausgeschieden, die nur wegen ganz bestimmter Eigenschaften bevorzugt werden, wie z. B. die Merkator'sche Cylinderprojektion wegen der Geradlinigkeit der Loxodromen, die gnomonische Projektion wegen der Geradlinigkeit der Großkreisbögen, d. h. der kürzesten Verbindungswege zwischen je zwei Punkten der Erdoberfläche, und die orthographische Projektion, die zur Darstellung der Mondoberfläche benützt wird.

Wegen der kugelförmigen Gestalt der Erde wird man aber von den Verzerrungen der Winkel, Längen und Flächenräume immer nur eine Gattung zum Verschwinden bringen können, und es ist für die Herstellung guter Karten die Frage von höchster Bedeutung, bis zu welchem Grade für bestimmte darzustellende Teile der Erdoberfläche eine Annäherung an die nicht völlig zu erlangende Treue in zwei von den drei Elementen erreicht werden kann, wenn sie im dritten streng vorhanden ist.

Handelt es sich um die Abbildung einer vollen Halbkugel, so sind alle cylindrischen und konischen Projektionen auszuschließen, bei denen entweder ein Teil der Begrenzungslinien in unendliche Entfernung rückt oder wenigstens bei der Abwicklung Punkte, die auf der Erdoberfläche benachbart sind, in große Entfernung von einander gebracht werden. Nach Wegfall dieser Klassen von Projektionen hat man noch die Vorfrage zu entscheiden, ob mehr Gewicht auf die unveränderte Abbildung der Winkel, der Flächen oder der Distanzen gelegt wird.

Aequidistanz kann bei keiner Projektion erreicht werden, außer wenn von den Abständen von dem Kartenmittelpunkt die Rede ist. Um eine Erhaltung der Distanzen kann es sich also in keinem Falle handeln, nur um eine Erhaltung der Distanzen vom Mittelpunkt, die Zöppritz den Mittelabstand nennt.

Handelt es sich nun darum, die Winkel unverändert zu erhalten und die große Flächenveränderung möglichst zu reduzieren, so steht nur die stereographische Projektion zur Verfügung, bei welcher allerdings um den Rand der Karte die Flächen doch noch auf das vierfache vergrößert werden.

Soll die Abbildung flächentreu sein und dabei die größtmögliche Winkelveränderung ein Minimum sein, so entspricht diesen Anforderungen nur Lamberts äquivalente Azimutalprojektion.

Unter den mittelabstandstreuen Projektionen ist die äquidistante Projektion (S. 89) diejenige, welche die kleinsten Winkel- und Flächenverzerrungen giebt.

Die externen Projektionen, bei denen der Augpunkt von der Oberfläche weniger entfernt angenommen wird, als die Länge

des Kugelradius beträgt, geben Darstellungen, bei denen die größten Winkelverzerrungen kleiner als die der Lambert'schen Azimutalprojektion sind, während die größten Flächenveränderungen kleiner als bei der stereographischen, die Längenveränderungen aber kleiner als bei beiden, jedoch größer als bei der äquidistanten sind.

Konische Projektionen können weit bessere Ergebnisse liefern, wenn man auf die geschlossene Form des Umkreises verzichtet, was ja bei den echten Kegelpjektionen nicht anders sein kann. Wir waren bisher gewöhnt, uns den Kegel so angelegt zu denken, daß seine Achse mit der Erdachse zusammenfällt. Man könnte aber ebenso gut die östliche oder westliche Halbkugel auf eine Kegelfläche abbilden, welche die Erde längs eines Meridians berührt, wobei die Kegelspitze auf einen verlängerten Aequatorialradius der Erde zu liegen kommt.

Will man nur einen bedeutenden Teil einer Hemisphäre, eine größere Kalotte abbilden, so sind auch hier die azimutalen und perspektivischen Projektionen die besten.

Zweiter Teil. Topographie.

Fünftes Kapitel.

Einteilung der Karten.

§ 13. Name und allgemeine Einteilung der Karten.

Die Griechen bezeichneten ihre Erdkarten mit dem Worte *πιναξ*, die Römer mit dem Worte *orbis pictus*, nach welchem die ältere deutsche Bezeichnung „Landtafel“ gebildet ist. Das lateinische „charta“ bedeutet ursprünglich „Urkunde, Brief, Bericht“, kommt aber schon seit dem 14. Jahrhundert auch als Bezeichnung für eine Landkarte vor. Der Ausdruck „mappa“ stammt von den alten, auf Stoffe gemalten Ländergemälden. Im Englischen unterscheidet man noch heute *maps* (Landkarten) und *charts* (Seekarten). Der Name „Atlas“ für eine Sammlung von Karten stammt von dem großen kosmographischen Werke Merkators her; schon Merkators Erben haben den Namen, der ursprünglich dem Ganzen zukam, auf einen Theil desselben, die Kartensammlung, übertragen.

Man teilt die Karten allgemein in Himmels-, Land- und Seekarten ein.

Zu den Himmelskarten zählen zunächst die astronomischen Karten, welche das Sonnensystem, einzelne Planeten oder den Mond darstellen. Da zu Mondbe-

trachtungen astronomische Fernrohre dienen, welche die Gegenstände umkehren, so ist auf den Mondkarten oben Süden, unten Norden. Meridian- und Parallellreise erscheinen auf der Mondscheibe wie auf der Erde gezeichnet, und man nennt die sphärischen Koordinaten eines Punktes der Mondoberfläche selenographische oder Mond-Koordinaten; dementsprechend ist von einer selenographischen Länge oder Breite die Rede.

Für das Studium des gestirnten Himmels dienen die Sternkarten. Auf denselben sind die Sternbilder aufgetragen und die einzelnen Sterne erkennbar. Die angewandten Koordinaten sind hier die Deklination und die Rektascension.

Landkarten sind Abbildungen von Teilen der Erdoberfläche.

Eine große Gruppe von Karten bilden die Seekarten oder nautischen Karten, bei denen nicht das Innere des Landes, sondern die Küsten und die das Land umgebenden Meeresteile den Hauptgegenstand der Darstellung bilden. Das Innere des Landes wird bei Seekarten für die Zeichnung von wichtigeren Stellen in größerem Maßstabe oder zur Abbildung von Seezeichen, Bojen, Baken und Leuchttürmen ausgenutzt.

Land- und Seekarten lassen sich in viele Abteilungen unterbringen, je nachdem man sie nach dem Maß der Verjüngung ihrer Maßstäbe, nach ihrem Hauptinhalte und dem durch diesen bestimmten Benutzungszweck, oder nach der Art ihrer Ausführung anordnet.

§ 14. Verjüngungsverhältnis. Einteilung der Karten nach dem Verjüngungsverhältnis.

Man versteht unter Verjüngung einer Karte das Verhältnis, unter welchem alle Teile der Abbildung verkleinert erscheinen. Sind zwei Orte auf der Erdoberfläche 1 Kilometer von einander entfernt und beträgt ihre Entfernung auf dem Kartenbilde 1 cm, so ist das Verjüngungsverhältnis 1 : 100 000, was man auch durch $\frac{1}{100000}$ auszudrücken pflegt. Gewöhnlich wird auf den Karten das Verjüngungsverhältnis angegeben, und zwar:

1. In Bruchform oder durch eine Verhältniszahl $\left(\frac{1}{100000} = 1 : 100000\right)$. Dann zeigt die Verhältniszahl, der wievielte Teil eine angenommene Linie im Plane von der ihr zukommenden Linie in der Natur ist. Mißt man also z. B. beim Verhältnis $\frac{1}{40000}$ eine Entfernung von 3 cm auf der Karte ab, so entspricht dieselbe einer Distanz von $3 \times 40000 \text{ cm} = 1200 \text{ Meter}$ der Natur. Ist aber die gemessene Entfernung 3 dm, so entspricht dies einer wahren Distanz von $3 \times 40000 \text{ dm} = 12000 \text{ m}$. Man kann sich also bei Messungen in diesem Falle einer beliebigen Einheit bedienen. Die Angabe des Verjüngungsverhältnisses in dieser Form ist erst in neuerer Zeit üblich geworden.

2. Manchmal wird die Verjüngung durch ungleiche Maßeinheiten angegeben, indem man ausdrückt, wie groß die Entfernung zweier Punkte in der Natur ist, deren Entfernung auf der Karte einen bestimmten Betrag, z. B. einen Centimeter erreicht. Steht also auf der Karte geschrieben

1 cm = 500 m, so will das sagen, daß jeder Centimeter der Karte gleich 500 Meter der Natur ist. Wird also die Länge eines Flußlaufes abgezirkelt und gleich 17 cm gefunden, so entspricht dies einer wirklichen Länge von $500 \times 17 = 8500 \text{ m} = 8\frac{1}{2}$ Kilometer. Diese Art der Angabe ist die auf englischen Karten gebräuchliche (1 inch = 15,78 miles, d. h. 1 : 1,000000).

3. Endlich enthalten die Karten oft einen verjüngten Maßstab, auf dem die Distanzen nach Auftragung mittels Zirkels direkt abgelesen werden. Auf solche Maßstäbe sind nämlich die üblichen Maße, Kilometer oder Meilen verkleinert aufgetragen, z. B. 1 cm für eine Meile. Die Teilstriche des Maßstabes geben die den jeweiligen Zirkelöffnungen entsprechenden Entfernungen, wie sie in der Natur stattfinden, direkt an. Unsere Fig. 50 ist ein verjüngter Liniemaßstab

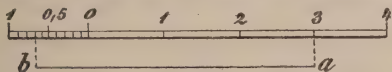


Fig. 50.

für das Verhältnis 1 cm = 1 Meile. Jeder Teilstrich desselben stellt eine Meile vor, welche man verjüngte Meile nennt. Einer der Teilstriche trägt noch zehn Unterabteilungen, um Zehntelmeilen abzulesen. Hat man also z. B. eine Distanz $a b$ zu bestimmen, so wird sie in Zirkelöffnung genommen und von a bis b abgesetzt. Die Ablesung am Maßstab ergibt 3,7, d. h. die Orte sind 3,7 Meilen von einander entfernt. Diese Art der Angabe des Verjüngungsverhältnisses findet man auf allen älteren Karten von der Zeit der sog. loxodromischen Karten bis in unser Jahrhundert.

Ist gar keine Verhältniszahl und kein Maßstab vorhanden, so kann man das Verjüngungsverhältnis selbst ermitteln, indem man die Länge eines Meridiangrades auf

der Karte mißt und dieselbe durch die wahre Länge eines Meridiangrades dividirt.

Ist auf der Karte ein Meridiangrad 5 cm lang, so ist unter der Annahme von 111121 m für die mittlere Länge eines Meridiangrades das Verjüngungsverhältnis:

$$5 \text{ cm} : 11\,112\,100 \text{ cm}$$

$$\text{d. i.:} \quad 1 \text{ cm} : 2\,222\,420 \text{ cm}$$

$$\text{oder rund:} \quad \frac{1}{2\,220\,000} *$$

Allein diese Verjüngung gilt, besonders, wenn die Projektion keine konforme (winkeltreue) ist, nur für die nächsten Umgebungen desjenigen Ortes, wo die Messung des Meridiangrades erfolgte. Denn die Distanzen werden in keiner Projektion erhalten, und die Verzerrungen derselben sind auf verschiedenen Stellen der Karte verschieden und bei nicht konformer Projektion sogar an ein und derselben Stelle nach den verschiedenen Richtungen verschieden. So kann also auch die Angabe eines einzigen Verjüngungsverhältnisses für keine Karte genügen; man müßte, streng genommen, für verschiedene Lagen verschiedene Verhältnisse oder verschiedene Maßstäbe angeben. In der Praxis begnügt man sich jedoch damit, daß man das mittlere Verjüngungsverhältnis des Blattes angiebt.

Das Verjüngungsverhältnis ändert sich im übrigen mit dem Zustand der Atmosphäre und hängt von der Temperatur der letzteren und vorzüglich von ihrem Feuchtigkeitsgehalt ab, indem sich das Papier, auf welches die Karte gezeichnet ist, bei Kälte und Feuchtigkeit zusammenzieht.

*) Eine Tabelle zur Auffindung des Verjüngungsmaßstabes einer Karte aus der gemessenen Länge eines Aequatorgrades (111307 m) findet man im „Geographischen Jahrbuch“ 3. 1870. S. LIII.

Die meisten europäischen Staaten rechnen gegenwärtig nach dem Metermaße, welchem das Meter als Einheit zu Grunde liegt. Ein Meter gilt als der zehnmillionste Teil eines Meridianquadranten.

Beim Messen von großen Ausdehnungen findet das Meilenmaß Anwendung, und zwar nennt man Seemeile oder „Knoten“ die Bogenlänge einer Minute des größten Kreises der kugelförmigen Erde, dagegen geographische Meile die Bogenlänge von vier solchen Minuten. Es ist:

1 Seemeile = 1855 Meter rund,

1 geogr. Meile = 7420 „ „

Auf englischen und älteren Karten finden sich überdies folgende Maße:

1 österreichische Postmeile = 7586 m,

1 preußische Meile = 7532 m,

1 englische (statute mile) = 1609 m,

1 russische (Werst) = 1066 m.

Der Flächeninhalt der Länder wird in Quadratmeilen oder im Quadratmetermaße, in der Regel in Quadratkilometern, angegeben.

Wo es sich nicht um große Genauigkeit handelt, wird auch das Schrittmaße angewendet. Dazu mögen folgende Anhaltspunkte dienen: Ein Mann legt in der Minute

in gewöhnlicher Gangart 120 Schritte zurück = 90 m,

„ schneller „ 136 „ „ = 102 m,

im Lauf 170 „ „ = 153 m.

Das Verjüngungsverhältnis wird nach dem Zweck, welchem die Karte dienen soll, gewählt und bedingt folgende Einteilung der Karten.

1. Plan- und Flurkarten im Maßstabe von 1:500 bis 1:10000 für Katasterkarten, Pläne zu technischen Zwecken

wie Flußregulierungen, Straßen- und Eisenbahnbauten u. s. w.; die Maßstäbe von 1:2000 bis 1:5000 sind die gebräuchlichsten. Einen großen Maßstab wählt man in der Regel auch für die ersten Aufzeichnungen von spärlicherem Material, zur Konstruktion der Routenkarten, wegen der bequemerer übersichtlicheren Arbeit.

2. Topographische Specialkarten im Maßstabe von 1:10000 bis 1:200000.

3. Geographische Karten, Uebersichtskarten im Maßstabe von 1:200000 bis zu den kleinsten.

Diese Einteilung ist jedoch nicht streng zu nehmen, indem eine Karte mittleren Maßstabes, je nachdem sie in Beziehung zu einer höheren oder niederen Klasse gesetzt wird, als Generalkarte oder als Specialkarte gelten kann.

Bei Seekarten nimmt man die Einteilung wie folgt vor:

1. Küsten- oder Specialkarten im Maßstabe 1:10000 bis 1:30000, welche bei Fahrten in der Nähe der Küste, durch Meerengen und zur Einfahrt in Buchten, Flußmündungen oder Häfen gebraucht werden.

2. Segel- oder Kurskarten, welche zum gewöhnlichen Gebrauche während der Fahrt bestimmt sind, insbesondere zur Angabe der geographischen Position und des Kurses benutzt werden. Was das Verjüngungsverhältnis anbelangt, so fordert man von diesen Karten, daß man auf der Längen- und Breitenskala einzelne Minuten genau ablesen könne.

3. General- oder Uebersichtskarten, welche zur allgemeinen Orientierung bei Anlegung längerer ozeanischer Reiserouten dienen; ihr Verjüngungsverhältnis beträgt gewöhnlich: 1:800000 bis 1:1000000.

§ 15. Einteilung der Karten nach ihrer Bestimmung.

Eine Einteilung der Karten nach der durch ihren Hauptinhalt gekennzeichneten Bestimmung ist schwer auszuführen, da namentlich in neuester Zeit das Bestreben nach bildlicher Veranschaulichung zu den mannigfachsten Versuchen kartographischer Darstellungen geführt hat. Wir wollen nur die wichtigsten größeren Gruppen hervorheben.

1. Die geographischen Karten im allgemeinen haben die Bestimmung, innerhalb der durch das Verjüngungsverhältnis gesteckten Grenzen ein möglichst getreues Bild der Erdoberfläche oder eines Theiles derselben mit allen dem allgemeineren Wissen notwendigen oder den besonderen Zwecken der Orientierung dienenden Einzelheiten zu geben.

2. Allgemeine physikalische Karten haben die Aufgabe, die allgemeine physische Beschaffenheit oder besondere physische Verhältnisse eines Erdraumes mit Vernachlässigung aller dem besonderen Zwecke fremder Einzelheiten zur Darstellung zu bringen. Man kann dabei trennen:

a) Geognostische und geologische Karten sind dazu bestimmt, die Zusammensetzung des Bodens aus den verschiedenen Gesteinsarten und die Zugehörigkeit dieser zu den Formationen der erdgeschichtlichen Perioden zu veranschaulichen.

b) Hydrographische oder Gewässerkarten sind solche, auf denen besonders die Gewässer aller Art, wie Ströme, Flüsse, Bäche, Kanäle, Seen, Teiche mit Angabe der Flößbarkeit und Schiffbarkeit der bezüglichen Wasserstraßen, der Stromschnellen, Brücken, Fähren, der Tiefen der Seen u. dgl. erscheinen.

c) Orographische oder Gebirgskarten sind vorzugsweise der Darstellung der Unebenheiten des Bodens gewidmet. Denselben soll man leicht die Streichrichtungen und

Verteilungen der Gebirge entnehmen, die Höhen, die Lage der Sättel, Rücken und Pässe.

3. Allgemeine biologische Karten betrachten die Erde als den Nährboden des menschlichen, tierischen und pflanzlichen Lebens. Je nachdem sie die Verbreitung der Gruppen der Menschheit, der Tierwelt oder der Pflanzenwelt darstellen, sind sie als ethnographische, tier- oder pflanzengeographische zu bezeichnen. Die ersteren sind die wichtigsten und mannigfaltigsten und geben Aufschlüsse über die Verteilung der Menschheit nach Völkergruppen und sog. Rassen, über die Verbreitung von Sprachen, Nationalitäten, Sitten und Gebräuchen, religiösen Vorstellungen, Sprachen, Krankheiten u. s. w.

4. Politische Karten verdeutlichen in bildlicher Darstellung die administrative Einteilung der Erde und ihrer verschiedenen Staateengebilde. Stellen sie diese Einteilung als den Zustand vergangener Perioden dar, so nennt man sie historische Karten.

5. Verkehrskarten haben den Zweck der Veranschaulichung der natürlichen oder künstlichen Wege und Hilfsmittel des Völkerverkehrs und Handels. Auf den allgemeinen Verkehrskarten sind alle Verkehrsmittel eines größeren Ländergebiets oder eines Staates mit Uebergang der Einzelheiten in großen, aber doch genauen Zügen dargestellt. Spezielle Verkehrskarten, wie Eisenbahnkarten, Straßenkarten, Telegraphenkarten, Postkarten, Seefahrtskarten enthalten alle möglichen Details, wie Stationen mit Haltestellen, Distanzen, Meilenzeiger, Pferdewechselstationen, Umsteigstellen u. s. w. Die Seefahrtskarten neuerer Konstruktion (z. B. Chateaus Weltkarte) machen die Flaggen der Dampfschiffe ersichtlich, welche die verschiedenen Linien befahren, und geben auch die

Anzahl der Abfahrten per Monat oder Woche an. Zu diesen Karten gehören die vor kurzem eingeführten, für wirtschaftliche Bedürfnisse sehr wichtigen isochronischen Karten. Auf denselben wird ersichtlich gemacht, welche Orte von einem großen Zentrum aus (Hauptstadt eines Staates) binnen gewisser Zeiten erreicht werden können. Eine besondere Art der Verkehrskarten sind die nautischen Spurkarten, welche die je nach den Jahreszeiten empfehlenswerten Schiffsbahnen in Gestalt verschiedenfarbiger Linien angeben.

6. Statistische Karten veranschaulichen die Verbreitung der Menschheit als Individuen (Volksdichtigkeitskarten) oder die durch den Menschen geschaffenen Verhältnisse auf den Gebieten der Volkswirtschaft, der Produktion und industriellen Verarbeitung, des kommerziellen Absatzes, der Wirtschaft und Zucht (wirtschaftsgeographische Karten).

7. Geradezu endlos ist die Serie der speciellen physikalischen Karten, deren Bestimmung es ist, Aufschluß über die Erscheinungen in der Luft- und Wasserhülle der Erde zu geben.

Als wichtigste nennen wir hier: Erdmagnetische Karten, welche die Verteilung der magnetischen Kraft der Erde zeigen, Meteorologische Karten, welche die Verteilung von Wärme, Schwere, Feuchtigkeit und Bewegung im Luftmeer darstellen, Klimatologische Karten, welche die Verbreitung der aus der Vereinigung aller dieser Faktoren resultierenden Klimagebiete angeben, Ozeanologische Karten, welche die Wärme-, Schwere- und Bewegungsverhältnisse in den Meeresräumen veranschaulichen u. a. m. Außerdem ist hier nochmals die große Gruppe der Seekarten zu erwähnen.

Bei allen Karten, die wie die letzteren Gruppen, ganz speciellen Zwecken dienen, macht man die darzustellenden Ver-

hältnisse entweder durch Farbenanlage (Flächenkolorit), oder durch Linien ersichtlich, welche die Punkte gleicher Intensität der Erscheinung verbinden.

Sämtliche bisher beschriebenen Karten können schließlich Handkarten oder Schulkarten sein. Die Handkarten sind für das höhere Studium und zum Geschäftsgebrauche bestimmt. Die sogenannten Schulkarten unterscheiden sich von den Handkarten durch das handlichere Format und durch die zweckmäßige Beschränkung und Anordnung des Inhaltes, gleichviel, ob sie als Teile der Schulatlanten für die Schüler oder als Wandkarten für die Schule bestimmt sind. Dem entsprechend unterscheidet man auch Handatlanten (Stieler, Debes, Andree, Spamer) und Schulatlanten (Henry Lange, Sydow-Wagner, Diercke-Gäbler, Langhans, Lehmann-Bezold u. a. m.).

Sechstes Kapitel.

Graphische Darstellung der Bodenbeschaffenheit.

§ 16. Situationsentwurf.

Die Kartenprojektionslehre machte uns mit verschiedenen Methoden vertraut, die Länder in der Ebene abzubilden. Man konstruiert nach der einen oder nach der andern Projektion zunächst das Gradnetz und trägt nun die Punkte nach ihren geographischen Längen und Breiten auf dasselbe auf. Diese Punkte sind Städte, Dörfer, Weiler u. s. w. Um einen Fluß, eine Landesgrenze, eine Gebirgskette, einen Küstenrand u. s. w. in das Blatt einzutragen, denkt man sich die

bezügliche krumme Linie je nach dem gewählten Maßstabe der Karte in eine Polygonallinie von mehr oder weniger langen Seiten zerlegt und überträgt letztere durch die geographischen Längen und Breiten der Eckpunkte auf die Karte.

Man verlangt von den geographischen Karten im allgemeinen, daß sie ein natürliches Bild der Bodenbeschaffenheit geben und die wichtigsten Objekte enthalten, welche auf die Bewohnung, Bodenkultur und das Verkehrswesen Bezug haben. Bei den Generalkarten tritt der Fall ein, daß aus Mangel am nötigen Raum, sowie aus Rücksicht auf Deutlichkeit und Lesbarkeit nicht mehr alle Objekte, wie z. B. einzelne Häuser, kleinste Bäche, Feld- und Waldwege, Kulturunterschiede u. s. w. eingezeichnet werden können und eine prinzipielle Beschränkung eintreten muß. Es geht daher der individuelle Charakter allgemach in einen allgemeinen Typus, in ein charakteristisches Bild im großen über. In höherem Maße geschieht dies bei denjenigen geographischen Karten, bei denen die Verkleinerung bereits eine halbe Million überschreitet. Hier tritt an Stelle des Naturbildes mehr und mehr eine Symbolisierung der topographischen und geographischen Objekte; es erscheinen nur noch Charakterzeichen für alle Wohnorte. Weiler und kleinere Wohnorte müssen in volksdichten Gebieten wegb bleiben, ebenso minderwichtige Straßen, Kulturangaben und dergleichen, sodaß Landkarten kleinsten Maßstabes nur noch ein abstraktes Bild der allgemeinsten Verhältnisse, der Umrisse und Flächenräume geben.

Je nach der Bestimmung der Karte werden aber schmale und kleine Gegenstände, die von Wichtigkeit sind und nach dem gegebenen Verjüngungsverhältnis nicht gezeichnet werden könnten, unverhältnismäßig größer dargestellt. Eine Straße 1. Klasse ist z. B. für eine Verkehrskarte ein sehr wichtiger

Gegenstand. Ist aber die Karte im Verhältniß 1:25 000 gezeichnet, so würde diese Straße nur 0,2 mm breit erscheinen und somit wenig auffallen. Man pflegt dann das bezügliche Object durch Ueberhalten des Maßes zu verdeutlichen und macht z. B. eine solche Straße 1,2 mm breit.

Gegenstände, deren Grundriß bei der Darstellung kein deutliches Bild giebt, werden durch bestimmte, meist den Originalgegenständen annähernd ähnliche Zeichen ersichtlich gemacht. Solche Zeichen nennt man Signaturen oder konventionelle Zeichen. Der Uebersichtlichkeit wegen werden dieselben durch Farben, Zeichen oder durch die Verschiedenheit der Schrift kennbar gemacht. Was die Anwendung der Farben zur Bezeichnung der Gegenstände anbelangt, so hält man sich an folgende Bestimmungen:

Alle Gewässer werden dunkelblau ausgezogen und blaßblau angelegt, Objekte von Stein rot, von Holz oder Erde schwarz, Hutweiden, Heiden, Wiesen, Gärten blau-grün, Waldungen, Remisen blaßschwarz, Gestrüppe gelblichgrau, Weingärten gelbrot, Felsen und Gerölle rotbraun, die Fußsteige, Saumwege und gewöhnlichen Fahrwege, falls sie Hauptverbindungswege bilden, durch chromgelb ersichtlich gemacht. Sumpf und Moorstriche werden blau gezeichnet. Felder, welche nur während der Brache als Hütung oder abwechselnd als Acker oder Wiese benützt werden, bleiben weiß.

Die Signaturen sind je nach dem gewählten Maßstab und nach den besonderen Bestimmungen der Karten verschieden, doch im allgemeinen einander ähnlich. Die Figuren 51, 52, 53, 54 zeigen die Signaturen zum Planzeichnen nach den für die Aufnahmen des Königl. Preussischen Generalstabes geltenden Bestimmungen.

Wege.

Fussweg.

Belarweg

Gewöhnlicher Verbindungsweg

Besserer Verbindungsweg

Befestigter Weg

Chaussee.

Damen

mit fahrbarer,

ohne fahrbare Krone.

Knüppel · Damm.

Stetn-Damm.

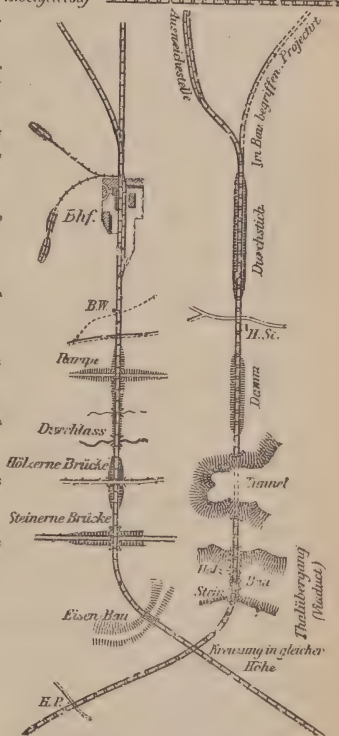
STADT und FESTUNG



Eisenbahnen.

Ängelcisiq

Zweigeltzig



Kirchdorf



Fig. 51.

Wohnstätten und deren Umgebungen.


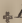
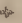








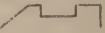

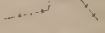
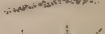
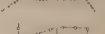
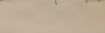
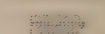
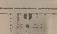


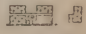
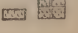

<i>Massive Häuser u. nicht massive Häuser</i>	 17.
<i>Massive u. nicht massive Kapellen</i>	 <i>Kp.</i> + <i>Kp.</i>
<i>Massive u. nicht massive Kirche ohne Thurm</i>	 +
<i>Massive u. nicht massive Kirche mit Thurm</i>	 +
<i>Wassermühle</i>	
<i>Holländ.-Windmühle, massiv u. nicht massiv</i>	
<i>Bock-Windmühle</i>	
<i>Forst-Amt</i>	 <i>EA.</i>
<i>Ober-Försterei</i>	 <i>OF.</i>
<i>Försterei, Forsthaus</i>	 <i>F.</i>
<i>Wald-Wärterhaus</i>	 <i>WW.</i>
<i>Mauer</i>	
<i>Bretterzaun, Lattenzaun</i>	
<i>Eisengitter, Drahtzaun</i>	
<i>Grössere längliche Steinhaufen</i>	
<i>Hecke</i>	
<i>Wall</i> $\left\{ \begin{array}{l} \text{Feld-} \\ \text{friedigung} \end{array} \right\} \begin{array}{l} \text{mit Hecke (hüch)} \\ \text{ohne Hecke} \end{array}$	 
<i>Garten (Obst-, Gemüse-)</i>	
<i>Kunstgarten</i>	
<i>Wein-Garten</i>	
<i>Hopfen-Garten</i>	
<i>Kfh. Kirchhof für Christen</i>	
<i>Bgr. Pl. Begräbnissplatz für Juden</i>	

Fig. 52.

Boden.

Trockne Wiese

Sand.



Nasser Boden.



Nasse Wiese.

*Gebüsch.
Gestrüpp.*



Morast.



Heide, Viehweide.

*Einzelne
Bäume*



Heide.



Wald.

Laubholz.

Waldboden.



Nadelholz.



Gemischtes Holz.



Schloss mit Parkanlagen.



Fig. 53.

Diese einfachen Bezeichnungsweisen sind allgemein erst in neuerer Zeit eingeführt worden, wenngleich ein gewisses Maß der Symbolisierung der Naturobjekte auch schon auf allen älteren kartographischen Darstellungen zu bemerken ist. So waren schon auf den römischen Straßenkarten (*Itineraria picta*) die Gebirge nach der Hügelmanier, Flüsse durch dickere krumme, Straßen durch dünne gerade Linien verzeichnet; auf den letzteren befanden sich Zahlen, welche die Entfernungen von Ort zu Ort in Stadien angaben, sowie die Namen der Straßen. Größere Waldungen waren durch Bäume, Städte und Lager durch einzelne Häuser bezeichnet. Das älteste uns erhaltene Bild einer solchen Straßenkarte und zugleich das kartographische Hauptdenkmal des Altertums ist die sogenannte *Peutinger'sche Tafel* (Fig. 55), welche von Conrad Celtes im Anfange des 16. Jahrhunderts gefunden wurde, dann in den Besitz der Familie *Peutinger* überging und zuerst 1591 von Wolfgang Welser und 1598 von Abraham Ortelius bekannt gemacht wurde. Das jetzt in der Hofbibliothek in Wien aufbewahrte, auf 12 Pergamenttafeln gemalte Original scheint im 13. Jahrhundert nach einer Vorlage aus dem 3. Jahrhundert angefertigt worden zu sein.

Auf den Weltbildern des Mittelalters ist die Symbolisierung sehr gering. Da sie ja weniger dem Zwecke der Orientierung als dem der Fixierung und Illustrierung des Weltbildes dienten, so ist auf ihnen das Material topographischer Einzelheiten sehr gering. Um so größer war der Platz für bildliche Darstellungen von Vertlichkeiten, Gebäuden, Kirchen, von historischen oder mythischen Ereignissen, von Fabeltieren und monströsen Menschen. Das interessanteste Exemplar eines solchen Weltbildes ist die sog. *Ebstorfer Welt-*

Fig. 55. Pentingertafel.

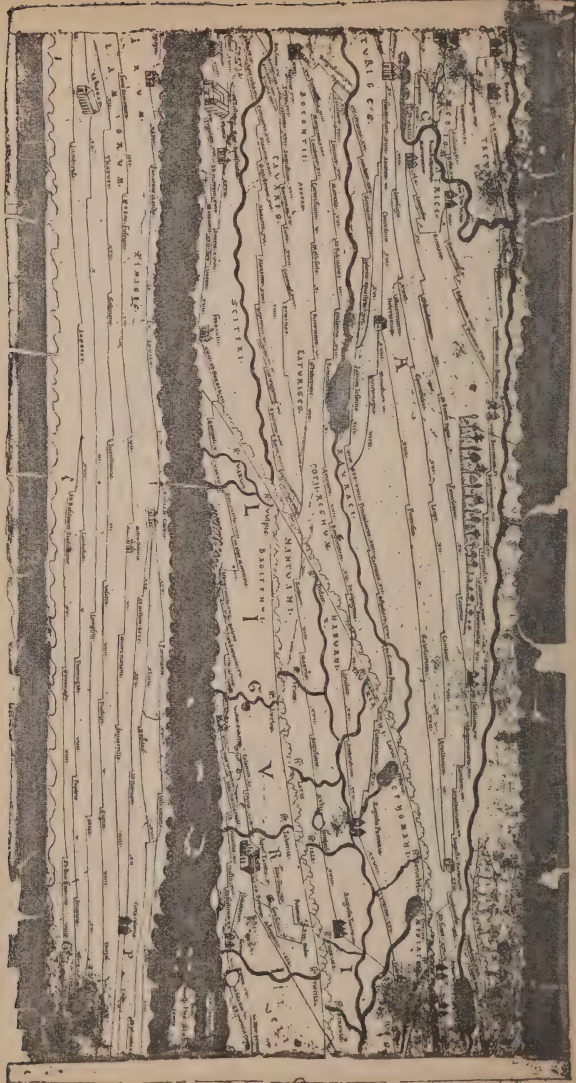




Fig. 56.

Karte, die um 1270 in der Gegend von Lüneburg gezeichnet ist.*)

Noch bis zum Ende des sechzehnten Jahrhunderts pflegte man die Karten, besonders diejenigen von Asien, Afrika und

*) Diese Karte ist in neuester Zeit von R. Müller in wunderbarer Nachbildung veröffentlicht worden. (Mappae mundi. Heft 5.)

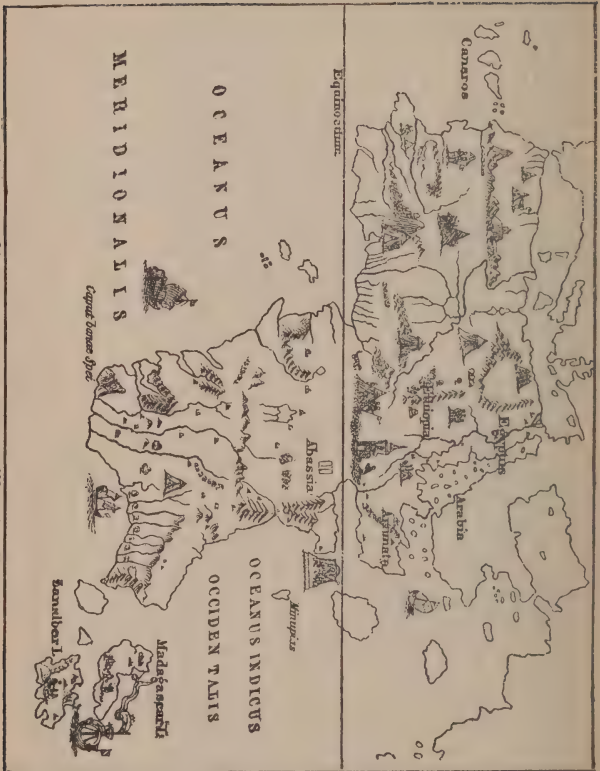


Fig. 57. Aus dem Stobus von Martin Behaim.

Amerika, auf welchen der Mangel an sicheren Nachrichten viel Raum freiließ, in der wunderlichsten Art auszustatten und Gegenstände, welche man schärfer zum Ausdruck bringen wollte, drastisch zu markieren. So waren, wo Städte, Festungen und Burgen lagen, auch kleine Städte, Festungen und Burgen



Fig. 58. Karte von Afrika von Sebastian Münster.

aufgezeichnet. Baumzeichnungen, z. B. drei oder vier großgezeichnete Palmen oder Kokosnußbäume, sollten die Vegetation charakterisieren. Große, mitten in einem Lande gezeichnete Fahnen oder die Bilder auf dem Thron sitzender Fürsten hatten die Bestimmung, die regierende Macht zu veranschaulichen. Menschengestalten in ziemlich großem Maßstabe gaben über

die Verteilung der Menschenrassen Aufschluß, ebenso wie Tierbilder auf die wunderbare Fauna der Länder hindeuteten. Z. B. ist die Karte Juan de la Cosa (1500), aus der Fig. 56 den Erdteil Afrika darstellt, mit solchen Bildern überfüllt, und auch der Globus Martin Behaims (1492) (Fig. 57) enthält derartige Zeichnungen, wenn auch nicht in so großer Anzahl. Auf der Karte von Afrika von Sebastian Münster (1544) (Fig. 58) sind die Königreiche nur mehr durch Scepter und Kronen bezeichnet; man bemerkt auf derselben aber auch noch einzelne Bäume mit daraufsitzen den Papageien in der Gegend der Kongomündung, in der Nähe des Kaplandes einen großen Elefanten, und im heutigen Kamerun vertritt die Gestalt eines einäugigen Menschen als Repräsentant der Monoculi die Monstren des Mittelalters. Wenngleich also die Karten des beginnenden sechzehnten Jahrhunderts immer noch einige Reste des Bilderschmuckes der älteren Weltkarten aufweisen, so beginnt doch um diese Zeit mit der Reformation der wissenschaftlichen Kartographie auch die moderne Form der topographischen Zeichnung. Alle die Zeichner, deren Arbeiten Abraham Ortelius (1526—1598) in seinem *Theatrum Orbis* (1570) vereinigte und Merkator in seinem *Atlas* (1585—1595) verwertete, haben ihren Anteil an dieser Reform, und nicht zuletzt ist auch hier Merkator selbst zu nennen, dem wir vor allen die Einführung der lateinischen Cursivschrift als Ersatz der gothischen Buchstabenschrift auf Karten zu danken haben.

Besondere Verdienste in Bezug auf topographische Ausstattung erwarb sich Philipp Apian, dessen „*Bayrische Landtafeln*“, das topographische Meisterwerk des sechzehnten Jahrhunderts, in Holzschnitt auf 24 Blättern zu Ingolstadt 1568 erschienen.

Auf derselben (Fig. 59) sind Reichsstädte, Bischofsitze, Klöster, Städte, Dörfer, sodann die Orte, wo sich Spiegelhütten, Glashütten, Salinen, Erzgruben und Heilquellen befinden, durch besondere Zeichen angegeben, Verwaltungs- und Gerichtsbezirke begrenzt u. s. w. Eine andere vorzügliche Specialkarte, ein würdiges Seitenstück zur Apian'schen, lieferte der Thüringer Pastor Caspar Hennenberger mit seiner Karte von Preußen vom Jahre 1576. Auf derselben sind die Küstenlinien und Bewässerungen mit großer Treue dargestellt; Laub- und Nadelholzwälder sind unterschieden, Städte, Festungen, Schlösser, Dörfer, Mühlen u. s. w. durch besondere Zeichen kenntlich gemacht.

Wie Apian in Bayern, zeichnete sich in Sachsen in Bezug auf topographische Ausführung Matthias Deder aus. Derselbe verfaßte zu Ende des sechzehnten Jahrhunderts auf Grund genauer Vermessungen mit Meßschnur, Quadranten und Busssole eine Karte der gesamten kursächsischen Lande, welche nicht nur als ein topographisches Meisterstück aus jenen Zeiten angesehen wird, sondern auch sehr gut geeignet ist, wertvolles, historisches und statistisches Material für die Geographie Sachsens um das Jahr 1600 zu liefern. Sieht man nämlich von einigen Strecken ab, welche Deder nicht eingehender bereisen konnte, so sind alle anderen Gebiete mit großem Fleiß charakterisiert. Städte und Dörfer in ihrer im Berglande so häufig vorkommenden charakteristischen Längenerstreckung in einer Thalmulde, an einem Bache entlang, die Lage der Kirche und des Schlosses im Orte, die Mühlen, Weinberge, Wälder sind in genauer Lage und Begrenzung eingetragen. Flüsse, Bäche und Teiche sind in ihrem Verlaufe und in ihren besonderen Gestaltungen auf das sorgfältigste vermessen und verzeichnet. Die vielgenannten und weitverbreiteten Karten



Fig. 59. Aus Apians Karte von Bayern.

A. F. Zürners aus dem Anfang des achtzehnten Jahrhunderts sind weit weniger genau als jene Neders. Von anderen wichtigen Karten dieser Reformzeit nennen wir noch Martin Helwigs „Erste Land-Charte vom Herzogtum Schlesien (1561)“, Humphrey Lhuyds Karte von England (1569) und aus dem 17. Jahrhundert die Landesaufnahme Württembergs (1624—1635) von Wilhelm Schichhardt.

Aber auch die alte Methode, drastische Zeichen zu verwenden, behielt ihr Recht. So konstruierte sich Kurfürst August von Sachsen um das Jahr 1575 einen eigentümlich illustrierten touristischen Führer für eine längere Landreise, der als ältestes Vorbild der noch heute üblichen Touristenkarten für längere Eisenbahn- und Flußfahrten (z. B. Rheinfahrt-Karten) gelten kann. Gänzlich verzichtet auf die Anwendung symbolischer Zeichen eine Zeichenmanier, welche auf die Vogelperspektive gegründet ist. Ein gutes Muster solcher Karten, deren es im sechzehnten und siebzehnten Jahrhundert zahlreiche gegeben hat, ist die aus dem Jahre 1566 stammende Karte von Meissen und Thüringen von Hiob Magdeburg. Die ganze Karte ist mit bunten Deckfarben auf Papier gemalt. Die Darstellung wirkt mit den grünen Wäldern, braunen Gebirgen und Felsen, blauen Gewässern und roten Dächern der Gebäude in Städten und Dörfern wie ein Gemälde aus der Vogelperspektive. Einzelne Berge glaubt man sogar an ihrer landschaftlichen Gestalt zu erkennen.

In neuester Zeit wird vielfach diese alte Darstellungsweise „aus der schrägen Vogelschau“ wieder neu aufgenommen. Wie bei den Jagd- und Markungskarten des 15. und 16. Jahrhunderts die Aufnahme der Vertikalitäten und des Geländes thatsächlich von einem Berg oder Turme aus erfolgte, welche eine günstige Rundsicht gestatteten, so ist hier — wie

Fig. 60 zeigt — die Aufnahmestellung an einem entfernten und erhöhten Punkte gedacht. Diese Darstellungsweise bietet den großen Vorteil, nicht bloß den Grundriß der Landschaft, sondern auch ein Bild derselben, wie es sich in der Wirklichkeit darbietet, zu geben. Dieselbe eignet sich jedoch naturgemäß nur für kleinere Gebiete, da sich die von der Aufnahmestellung abgelegenen Teile der Landschaft unverhältnismäßig zusammenschieben, — ein Nachteil, der indes durch Aneinanderfügung der aus mehreren Aufnahmestellungen gewonnenen Bilder teilweise beseitigt werden kann.

Im siebzehnten Jahrhundert schritt mit der Ausbildung



Fig. 60. Lindau aus

der Triangulation auch die topographische Darstellung des Terrains vor. Ein Zeitgenosse des Begründers der wissenschaftlichen Aufnahmelehre, des berühmten Snellius, Hans Konrad Gyger verfertigte 1667 eine ziemlich genaue Karte des Kantons Zürich in der Schweiz mit den angrenzenden Gebieten im Maßstabe 1 : 30 000, die als vorzügliche topographische Leistung angesehen wird. Auf der Karte selbst wird angegeben, daß „alles nach geometrischer Anleitung abgetragen“ wurde. Mit dem 18. Jahrhundert beginnt dann die Periode der geodätisch-topographischen Landesaufnahmen. Frankreich erhielt durch den im ersten Teil genannten Cassini



„schrägen Vogelschau“

eine große topographische Karte im Maßstabe 1:86 400; im Anschluß an diese Karte schuf seit 1777 die österreichische Verwaltung Belgiens die große 25 Blatt-Karte Belgiens von Joseph de Ferraris. In deutschen Landen verhinderte die territoriale Zersplitterung die Herstellung einer auf topographischer Aufnahme beruhenden einheitlichen Karte; doch verschafften sich einige kleinere Staaten schon früh gute Karten ihres Ländergebiets. Hessen-Kassel besaß schon 1708 eine gute topographische Landkarte im Maßstabe von 1:51 000. Für Württemberg lieferte 1795—1818 J. G. F. von Bohnenberger die treffliche „Charte von Schwaben“ in 54 Blatt in 1:81 600; das Bremische Staatsgebiet vermaß 1790—1798 C. A. Heineken. In Oesterreich beklagte man noch zu Anfang des gegenwärtigen Jahrhunderts den Mangel einer guten topographischen Karte der Monarchie, und auch Preußen hat erst spät eine systematische Landesaufnahme begonnen. Im Jahre 1874 übernahm der Königl. Preussische Generalstab die Blätter der 1805 von G. D. Heymann begonnenen und von C. W. v. Desfeld fortgesetzten „Topographischen Specialkarte von Mitteleuropa“ in 1:200 000. Jetzt besitzt die Mehrzahl der europäischen Staaten gute topographische Karten; unter ihnen nehmen die Arbeiten der schweizerischen Landesvermessung mit dem sog. „Siegfriedatlas“ (seit 1870) den ersten Platz ein.

§ 17. Die Bodennebenheiten. Meeresniveau.

Bisher hat es sich immer um die Darstellung der Punkte ohne Rücksicht auf die dritte Dimension, auf die Höhe, gehandelt. Die Objekte der Erdoberfläche, von denen die Karte eine Abbildung geben soll, sind jedoch räumliche

Größen, d. h. sie haben außer der Längen- und Breitenausdehnung auch noch eine Höhe. In der Karte kann man die Höhe nicht unmittelbar zur Geltung bringen; man giebt von solchen Gebilden eine Ansicht, indem man die Fußpunkte der Lotlinien überträgt, welche man von den erhöhten Punkten auf die ideelle Erdoberfläche gefällt denkt.

Wenn wir sagen, die Erde habe die Gestalt einer Kugel, so geschieht dies im Hinblick auf die Thatsache, daß die Höhe der höchsten Gebirge im Verhältniß zum Halbmesser der Erde verschwindend klein ist. Allein, wenn diese Thatsache an und für sich vollkommen richtig ist, so haben wir Erdbewohner doch mit den Unebenheiten des Bodens bei jeder Gelegenheit, schon bei einem einfachen Spaziergange, zu rechnen, da wir auch bei einem solchen wissen wollen, ob der zurückzulegende Weg eben oder steil ist. Jede Höhe muß aber auf irgend eine Ebene bezogen werden, auf der Kugel aber auf eine Kugelfläche von einem bestimmten Halbmesser, wobei es nötig ist, daß letzterer keine Veränderung erleide. Es ist ferner notwendig, daß Teile dieser ideellen Kugel irgendwo und zwar an möglichst vielen Punkten wirklich sichtbar und zugänglich seien. Allen diesen Bedingungen scheint einzig und allein das Meeresniveau zu entsprechen.

Da die verschiedenen Teile der Weltmeere mit einander in Verbindung stehen, so sollten ihre Oberflächen nach hydrostatischen Gesetzen einander entsprechen oder, besser gesagt, mit einer Kugelfläche zusammenfallen, die man sich rings um die Erde ausgedehnt denken kann. Mit anderen Worten, das Meer sollte überall gleiches Niveau haben. Dies ist aber nicht der Fall, da die Zentrifugalkraft und die ungleichmäßige Verteilung der Massen auf der Erdoberfläche

dieses Verhältnis stören. Man bezieht sich daher auf ein mittleres Niveau.*

Die ideelle Kugelfläche, auf welche alle Höhen bezogen werden, ist also durch das mittlere Meeresniveau gegeben. Man versteht dann unter absoluter Höhe eines Ortes oder eines Punktes seine vertikale Erhebung über das mittlere Niveau des Meeres. Oft wird aber eine Höhe auf eine beliebige andere Ebene bezogen, z. B. die Höhe eines Berges auf das zunächst darunter liegende flache Land. Dann nennt man die Höhe relativ. Haben mehrere Punkte gleiche absolute Höhe, so sagt man, sie liegen in demselben Niveau. Die Differenz zwischen den Vertikalabständen zweier Höhenpunkte heißt die Ueberhöhung oder der Niveauunterschied. Unter Höhenkoten endlich versteht man die in Zahlen ausgedrückten und gemessenen absoluten oder relativen Höhen. Notierte Punkte sind solche, deren Höhen wirklich bestimmt worden sind.

Wie beim Kugelförper jede Projektion hinter den Anforderungen der Richtigkeit der horizontalen Dimensionen zurückbleibt, so erreicht die beste Zeichnungsmanier nur unvollkommen die Plastik der Natur, selbst bei topographischen Karten großen Maßstabes, die der Zeichnung der charakteristischen Individualität der Erhebungen einigermassen Platz gewähren. Ebenso wie allein die Darstellung der Erde auf einem Globus allen Anforderungen in Bezug auf Flächen- und Winkel-treue genügt, vermag auch nur die Abbildung von Flächenräumen in der Form plastischer Modelle alle Ansprüche auf

*) Die Veränderungen des Meeresniveau haben bereits Anlaß gegeben, an die Wahl eines anderen ideellen Niveaus zu denken, auf das alle Höhenmessungen bezogen werden sollten. Preußen hat 1879 den Normal-Mittelpunkt (N. N.) für Höhenbestimmungen an die Nordseite der Königl. Sternwarte in Berlin versetzt.

Ähnlichkeit der Verhältnisse in der dritten Dimension zu befriedigen. Die Konstruktion solcher „Relieffarten“ oder besser „Reliefmodelle“ soll später besprochen werden.

Die Praxis der Bergzeichnungsmethoden hat sich nur sehr allmählich entwickelt und vervollkommenet. In den ältesten Zeiten begnügte man sich, das Vorhandensein von Gebirgen auf der Karte durch sogenannte sägenartige Segmente (Fig. 61) anzuzeigen. Die ersten Ausgaben des

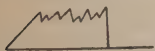


Fig. 61.

Ptolemäus enthalten derlei Zeichen für die Hochgebirge. Später ging man zur sogenannten Haufenform über, indem man

die Gebirgszüge als Reihen kleinerer Hügelkuppen darstellte. Letztere Methode erhielt sich im Gebrauch bis zum Beginn unseres Jahrhunderts. Erst für die topographischen Karten der neueren Zeit erfand man Methoden, welche die Erhebungen der Erdoberfläche in möglichst naturwahrer Gestalt bildlich darzustellen gestatteten.

§ 18. Methode der Horizontal-Schichtenlinien.

Angenommen, wir hätten (Fig. 62) die zwei Regel A' und B', welche gleiche Grundflächen, aber verschiedene Höhen haben, in der Horizontalprojektion darzustellen. Wir können vorläufig annehmen, daß diese Regel zwei Berge darstellen. Die Horizontalumrisse dieser zwei Körper werden alsdann zwei Kreise A und B sein, die gleichen Radius haben; aber aus dieser Projektion können wir nicht erkennen, welcher der beiden Körper der höhere ist. Denken wir uns aber auf der Höhe eines jeden der beiden Regel gleiche Teile wie $m'n' = m''n''$ aufgetragen, so wird der höhere Körper mehr solcher Teile aufnehmen als der kleinere, und zwar in unserem Falle der Regel A' 7 solche Teile, der Regel B' nur 4.

Höhen, nämlich: je mehr konzentrische Kreise vorhanden und je näher diese an einander liegen, desto höher ist der Körper. Man kann aber weiter gehen und eine Einrichtung treffen, welche gestattet, die Erhebung der beiden Körper über die Ebene aus der Horizontalprojektion unmittelbar abzulesen. Nehmen wir z. B. an, $m' n'$ betrage 5 m in der Natur, so können wir aus der Anzahl der konzentrischen Kreise sofort auf die Höhe eines jeden beliebigen Punktes über der Ebene XY schließen. Beim Regel $A A'$ z. B. haben wir 7 konzentrische Kreise — denn der Punkt, welcher die Horizontalprojektion des Scheitels darstellt, ist auch als einer dieser Kreise aufzufassen —; daher ist die Höhe von S_1 gleich $5 \cdot 7 = 35$ m. Steht endlich bei A die Angabe irgend einer absoluten Höhe, z. B. 800 m, so haben wir die absolute Höhe des Punktes $S_1 = 800 \text{ m} + 35 \text{ m} = 835 \text{ m}$; d. h. S_1 liegt 835 m über dem Meeresniveau.

Auf dem vorerwähnten Princip beruht die Darstellung des Terrains durch die Horizontalschichtenlinien. Bei der Horizontalschichtenmanier, auch kurzweg Schichtendarstellung genannt, denken wir uns einen Terrainkörper durch eine Anzahl gleichweit von einander abstehender Horizontalebenen durchschnitten. Bestimmt man auf der Oberfläche des darzustellenden Körpers die Begrenzungs-Linien dieser Horizontalebenen, so erhält man Linien, die man Horizontalen, Horizontal-Schichtenlinien, Isohypsen, Niveau-kurven oder kurzweg Schichtenlinien nennt. Jener Teil des Körpers, der zwischen zwei solchen Horizontalebenen liegt, also z. B. $a'_2 a'_1 b'_1 b'_2$ (Fig. 62), heißt eine Schicht. Der senkrechte Abstand der zwei Horizontalebenen, wie $m' n' = a'_2 f'$ heißt Schichtenhöhe. Die Seitenoberflächen der Schichten, d. h. die verschiedenen Kegelmantel, nennt man Schichten-

mäntel oder Schichtenböschung. Der Flächenraum, welcher in der Horizontalprojektion von zwei benachbarten Schichtelinien begrenzt wird, heißt Schichtengürtel.

In Fig. 62 stellt $a'_1 s'_1 b'_1$ die Vertikalprojektion des Schnittes des als Regel gedachten Berges mit einer durch die Regellachse gehenden Vertikalebene dar. Man nennt diese

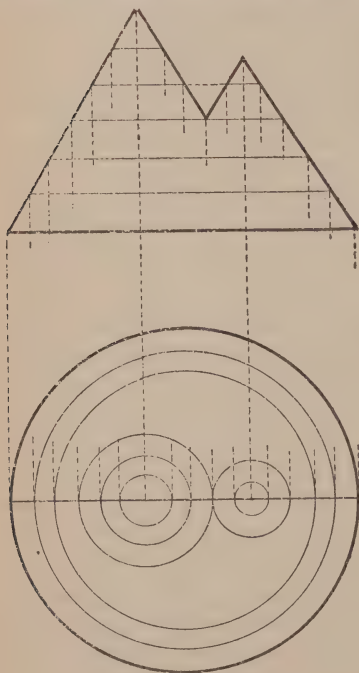


Fig. 63.

zeichnerische Darstellung eines solchen Durchschnit­tes ein Profil. Wenn es sich um einen Dre­hungskörper handelt, genügt ein Profil für die Darstellung der Horizontalprojektion. Der Regel könnte aber an der rückwärtigen, in der Zeichnung unsicht­baren Seite einen An­satz haben, und dann wäre A nicht mehr die richtige Horizon­talprojektion von A'. Von einer anderen Seite gesehen, könnte der fragliche Körper z. B. wie in Fig. 63 gezeichnet aussehen; der obere Vertikal­umriß würde dann

das Profil von A' in Fig. 63 ersetzen, wenn man sich durch

$s'_1 m'$ eine Ebene senkrecht zur Vertikalebene gelegt denkt. Teilt man jetzt den Körper in Schichten und projiziert dieselben auf die Horizontalebene, so erhält man eine ganz

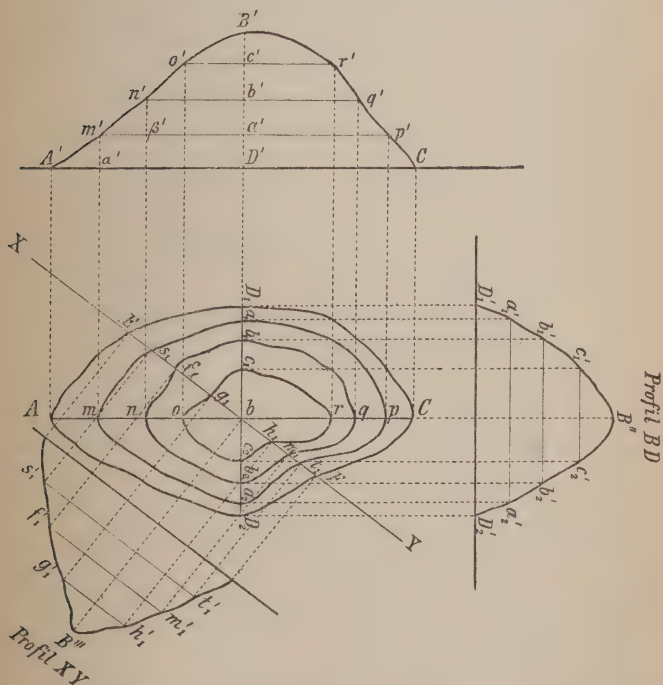


Fig. 64.

andere Figur. Ein Profil allein genügt somit nicht für die Darstellung der wahren Gestalt eines Körpers; man muß, wenn es sich um einen unregelmäßigen Körper handelt, mehrere Profile anlegen und die Horizontalprojektionen aller dieser

Profile darstellen. Ist z. B. die Unebenheit ABC (Fig. 64) gegeben, so wird man zunächst die Schichtenlinien $m'p'$, $n'q'$, $o'r'$ anlegen und horizontal projizieren. Die Horizontalprojektion des Profils $A'B'C'$ ist die Linie AC. Projiziert man die Punkte m' , n' , o' , p' , q' , r' , so erhält man die Punkte m , n , o , p , q , r . Diese Punkte genügen nicht, um die Isohypsen auszuziehen, man muß noch andere Profile anlegen. Denken wir uns durch $B'D'$ eine Ebene senkrecht zur Vertikalebene gelegt, so wird die Horizontalprojektion dieses Profils $D_1 D_2$ sein. Es sei $D'_1 B' D'_2$ dieses Profil. Projiziert man die Durchschnittspunkte dieses Profils mit $a'_1 a'_2$, $b'_1 b'_2$, $c'_1 c'_2$ auf die Horizontalebene, so ergeben sich in der Horizontalprojektion auf $D_1 D_2$ die Punkte a_1 , b_1 , c_1 , c_2 , b_2 , a_2 . Denkt man sich ein weiteres Profil angelegt, dessen Horizontalprojektion EF sei, so ergeben sich auf ähnliche Weise die Punkte s_1 , f_1 , g_1 , h_1 , m_1 , t_1 . Nun muß man so viele Profile anlegen und projizieren, bis man in der Horizontalprojektion genügend viele Punkte erhält, die, mit einander verbunden, die Höhen in verschiedenen Punkten und Lagen darstellen, oder mit anderen Worten, bis die Isohypsen durch diese Punkte vollständig bestimmt sind.

Die kleinen Dreiecke $A' m' \alpha'$, $m' n' \beta'$ u. s. w. nennt man Profildreiecke. $m' \alpha'$ oder $n' \beta'$ ist die Schichtenhöhe, $A' \alpha'$ oder $m' \beta'$ die Anlage, $A' m'$ oder $m' n'$ die Böschung und $\angle \alpha' A' m'$ oder $\beta' m' n'$ endlich der Böschungswinkel. Sind zwei Stücke eines Profildreiecks bekannt, so kann man das dritte durch Rechnung oder Konstruktion ermitteln.

Die Isohypsenkonstruktion geht in der Praxis einfach vor sich. Bei der Aufnahme des Landes wird nicht nur die gegenseitige Lage der Punkte in Bezug auf die Hori-

zontalen bestimmt, sondern es werden auch die Höhen über dem Meerespiegel für einige vorzügliche Objekte gemessen und sodann die Höhenunterschiede von möglichst vielen anderen Punkten in Bezug auf diese bestimmt. Aus den Höhenunterschieden dieser Punkte und den absoluten Höhen einiger Normalpunkte bestimmt man die absoluten Höhen aller Punkte, und nun hat man einfach alle erhaltenen Zahlen in die Karte einzutragen. Verbindet man alle Punkte gleicher Höhe, so erhält man die Schichtenlinien.

Bei der Höhenmessung gelegentlich der Aufnahme ist die Wahl der Punkte wichtig. In einer Fläche von gleichmäßiger Neigung genügt die Höhenmessung von drei, nicht in gerader Linie liegenden Punkten, indem eine Ebene durch drei nicht in gerader Linie liegende Punkte bestimmt ist. Wo aber die Neigung veränderlich ist, müssen mehr Messungen ausgeführt werden. Man nennt die Linie, in welcher eine ebene Fläche von bestimmter Neigung an eine andere von verschiedener Neigung anstößt, die Brechungslinie. Und gerade bei dieser Brechungslinie ist eine größere Anzahl von Messungen notwendig. Außer diesen Brechungslinien sind noch die Linien stärkster Neigung gegen die Horizontalebene wichtig; dieselben sind durch die Richtung bestimmt, welche das freisießende Wasser nehmen würde. Wo sich die Terrainfläche gleichmäßig krümmt und keine eigentlichen Brechungslinien vorkommen, müssen die Höhenpunkte längs der Linie stärkster Neigung bestimmt werden.

Würde man einfach die Punkte gleicher Höhen durch Schichtenlinien verbinden, so müßte man zu jeder Schichtenlinie ihre entsprechende absolute Höhe dazu schreiben, was eben vermieden werden soll. Statt dessen giebt man die absoluten Höhen von nur einigen Punkten an und ver-

zeichnet die Schichtenlinien für bestimmte Niveau-Unterschiede, d. h. für bestimmte Schichtenhöhen. Man verbindet z. B., von einer Bergspitze ausgehend, zunächst die um 10 Meter tiefer gelegenen Punkte, dann die um 20, um 30 Meter u. s. w. tiefer liegenden durch Isohyphen. Ist dann n die Anzahl Schichtenlinien zwischen zwei Punkten, h die Schichtenhöhe, H die absolute Höhe des einen, H_1 jene des anderen Punktes, so ist allgemein:

$$H_1 = H + nh \text{ und } h = \frac{H_1 - H}{n}.$$

Beispiele. 1. Man befindet sich beim Orte A, der 540 m hoch ist, und will nach B gehen. Zwischen A und B liegen 12 Isohyphen, die Schichtenhöhe ist 10 m. Welches ist die Höhe von B? Antwort:

$$540 + 12 \times 10 = 660 \text{ m.}$$

2. Zwischen A und B zählt man 12 Isohyphen. Bei A steht auf der Karte die Zahl 540 m, bei B 660 m. Welches ist die Schichtenhöhe der Karte:

$$h = \frac{660 - 540}{12} = 10 \text{ m.}$$

Gewöhnlich wird die Schichtenhöhe auf den Karten angegeben, sonst bestimmt man sie leicht durch Anwendung des Beispiels 2, indem man die Anzahl Schichtenlinien zählt, welche zwischen zwei Punkten liegen, deren absolute Höhen angegeben sind.

Soll die Höhe eines Punktes ermittelt werden, der nicht genau auf einer Schichtenlinie liegt, so zieht man durch diesen Punkt eine Linie der stärksten Neigung. Diese Linie muß die zwei nächsten Isohyphen unter rechten Winkeln schneiden. Man schätzt dann die Entfernung dieses Punktes

von der nächsten Schichtenlinie in Bruchteilen der Schichtenhöhe ab und addiert zur Höhe der tieferen Schichtenlinie den Bruchteil der Schichtenhöhe. Handelt es sich z. B. um die Höhe des Punktes x (Fig. 65), der zwischen den Horizontalen 300 und 320 liegt, so zieht man die Linie zu senkrecht auf beide

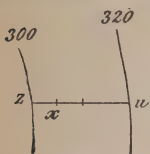


Fig. 65.

Schichtenlinien aus und bemerkt, daß zx ungefähr $= \frac{1}{4}$ zu ist. Da $zu = 20$ m ist, so erhält man als gesuchte Höhe von x :

$$300 + \frac{1}{4} 20 = 305 \text{ m.}$$

Häufig will man den Böschungswinkel kennen, d. h. den Grad der Neigung des Geländes gegen den Horizont. Betrachtet man das Böschungsdreieck $A'm'a'$ (Fig. 64), in welchem wegen der Kleinheit der Strecken $A'm'$ als gerade Linie angesehen wird, so hat man aus demselben:

$$\operatorname{tg} m'A'a' = \frac{m'a'}{A'a'} = \frac{\text{Schichtenhöhe}}{\text{Anlage}}$$

wobei $m'A'a' =$ Böschungswinkel ist. Macht man in Fig. 66

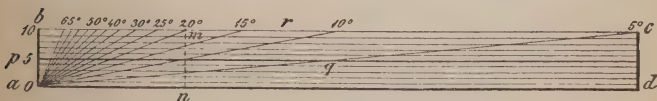


Fig. 66.

$ad =$ Abstand der Schichtenlinie auf der Karte, $dc =$ Schichtenhöhe, dann ist:

$$\operatorname{tg} dac = \frac{cd}{ad} = \frac{\text{Schichtenhöhe}}{\text{Anlage}}$$

also ist $\angle dac =$ Böschungswinkel.

Jedesmal, wenn wir auf dem bezüglichen Blatte eine

Entfernung der Isohyphen bemerken, welche gleich der Strecke ad ist, werden wir wissen, daß das Terrain dort einen Böschungswinkel = α hat. Daraus ergibt sich nachstehende einfache Konstruktion eines Maßstabes, mit dem man leicht jede Neigung sofort bestimmen kann. Um diesen Maßstab, den sogenannten Böschungsmäßstab, zu erhalten, legt man eine Gerade ad (Fig. 66) an und zieht mit Hilfe des Transporteurs die mit 5, 10, 15 . . . bis 65 bezeichneten Linien derart, daß sie mit der ad beziehungsweise Winkel von 5° , 10° , 15° . . . einschließen. Im Punkte a errichtet man die Linie ab senkrecht zu ad und macht ab gleich der nach dem Kartenmaßstab gemessenen Schichtenhöhe. Ist z. B. die Schichtenhöhe 20 Meter und der Maßstab der Karte 1:40 000, so muß man $ab = \frac{1}{2}$ Millimeter machen, denn es ist 20 Meter = 20 000 Millimeter und

$$\frac{20\,000}{40\,000} \text{ mm} = \frac{1}{2} \text{ mm}.$$

Vom Punkte b aus zieht man bc parallel ad . Die Abstände der Schnittpunkte 5, 10, 15 . . . von b sind die Isohyphenabstände, welche dem Neigungswinkel von 5° , 10° , 15° . . . entsprechen, denn es ist z. B. für irgend einen Abstand bm

$$\operatorname{tg} \alpha = \frac{mn}{an} = \frac{\text{Schichtenhöhe}}{\text{Anlage}};$$

also ist:

$$\angle \alpha = \text{Böschungswinkel}.$$

Um die Neigung an irgend einer Stelle der Karte zu bestimmen, nimmt man den Abstand der beiden benachbarten Isohyphen in den Zirkel, setzt die eine Spitze im Punkte b des Maßstabes auf und liest am Begegnungspunkt der anderen Spitze mit der Linie bc die Neigung ab. Stimmt der Abstand

mit keinem Teilstrich des Maßstabes direkt überein, so wird der zugehörige Winkel abgeschätzt, wobei der Schätzungsfehler etwa 2° erreichen kann. Trifft z. B. die zweite Zirkelspitze bei r ein, so wird die Neigung auf 13° geschätzt.

Das Arbeiten mit sehr kleinen Größen fällt zu ungenau aus; man nimmt deshalb für ab einen größeren Betrag, z. B. von 10 mm an, wie dies in unserer Figur geschehen ist, teilt ab in 10 Teile und zieht durch die Teilpunkte Parallelen zur Linie ad . Wegen der Ähnlichkeit der Dreiecke apq und abc hat man dann:

$$ab : aq = bc : pq;$$

ist daher allgemein $ab = n \times ap$, so ist auch $bc = n \times pq$. Ist also das Verhältniß der Schichtenhöhe wegen des Kartenmaßstabes zu klein, so nimmt man die n -fache Schichtenentfernung in den Zirkel und setzt die Zirkelspitzen auf jener Horizontalen des Maßstabes an, welche der betreffenden Vielfachen des Verhältnisses entspricht. Ein solcher Maßstab kann für jede beliebige Karte verwendet werden.

Gerade so wie die Höhen auf dem Lande, werden die Tiefen des Meeres und der Seen durch Schichtenlinien angegeben, welche die Punkte gleicher Tiefe unter dem mittleren Niveau verbinden. Diese Linien gleicher Tiefe nennt man *Isobathen*.

Die *Isobathen* sind eigentlich die älteren Geschwister in dieser Familie von Kurven, indem sie vor den *Isohypsen* angewandt wurden, und zwar einmal durch den holländischen Ingenieur Nikolaas Samuel Cruquius (1678—1754), der 1729 das Flußbett der Merwede in Linien gleicher Tiefe zeichnete, dann aber von Philippe Buache, der die Tiefen des Englischen Kanals durch *Isobathen* darstellte. Die bezügliche Karte ist 1737 fertiggestellt und 1752 von der fran-

zösischen Akademie veröffentlicht worden. Auf derselben sind die Linien gleicher Tiefe punktiert und von 10 zu 10 Faden angegeben. Erst im Laufe der nächstfolgenden Jahrzehnte entwickelten sich die Isohyphen aus den Isobathen. Der französische Ingenieur Millet de Mureau scheint der erste gewesen zu sein, welcher seit dem Jahre 1748 in Festungspläne Höhenangaben aufnahm. Im Jahre 1749 veröffentlichte er eine Abhandlung, in welcher er vorschlug, die Terrainformen durch parallele Linien mit Höhenzahlen auszudrücken. Aber erst im Jahre 1771 legte der französische Ingenieur Du Carla der Pariser Akademie eine Abhandlung vor, welcher der Plan einer imaginären Insel mit Horizontallinien beigegeben war, von denen jede zehnte stärker ausgezogen ist. Der Herausgeber dieser Abhandlung, der Ingenieur J. L. Dupain-Triel, veröffentlichte 1791 die erste wirkliche Isohyphenkarte Frankreichs mit begleitendem Text und Profilen.

Die Vorteile der Darstellung des Terrains durch Schichtenlinien sind folgende: Man erkennt sogleich, (Fig. 67) ob ein Punkt höher ist als ein anderer und um wieviel, man erkennt sofort die Punkte gleicher Höhe; ferner übersieht man leicht die allgemeine Gestaltung des Terrains. Sind die Isohyphen ziemlich kreisrund, so ist die Steigung auf allen Seiten gleichmäßig. Bildet das Terrain eine lang hingestreckte Kette mit einem geradlinigen Kamm von gleichförmiger Höhe, so erscheint die Kammlinie im Bilde beiderseits von ihr annähernd parallel laufenden Schichtenlinien begleitet; biegen die Schichtenlinien gegen den Bergkörper ein, so ist an jener Stelle eine Schlucht vorhanden, laufen sie vom Bergkörper hinweg, biegen sie also aus, so hat man es mit einem Bergvorsprung zu thun. Sind die Isohyphen sehr dicht, so ist das Terrain sehr steil, um so steiler, je dichter die Linien

an einander liegen. Befinden sich die Schichtenlinien in gleichen Abständen von einander, so ist die Neigung eine stetige; werden die Abstände von unten nach oben immer größer, so ist die Böschung konvex, im entgegengesetzten Falle konkav.

§ 19. Darstellung der Höhenverhältnisse durch Farben und Schattierung.

Das Ablesen der Höhenverhältnisse aus einer Isohypsenkarte ist zwar einfach genug, erfordert aber immerhin einige Zeit, und das Kartenblatt gewinnt durch dieselben noch kein plastisches Aussehen; ferner wird die Uebersichtlichkeit in wenig geneigtem Terrain nicht besonders gefördert. Um letztere Vorzüge zu erhalten, ist verschiedentlich vorgeschlagen worden, die Höhenverhältnisse durch Farben oder Schattierungen darzustellen. Die nächstliegende Methode ist wohl diejenige der Kolorierung der Karte. Man färbt die verschiedenen Höhenschichten verschieden und bedient sich steigender Töne in einer oder in verschiedenen Farben. Diese Methode wird mit Vorteil in Uebersichtskarten von nicht zu großem Maßstabe, von 1 : 100 000 bis 1 : 1 000 000, angewandt. Der österreichische General Franz von Hauslab empfahl, sich bei der Färbung an den Grundsatz zu halten: je höher, desto dunkler; in dieser Weise bleibt die Verwendung der dunkelsten Töne auf den kleinen Raum der Hochgebirge beschränkt, während das stärker bebaute Flachland, welches notwendig mehr topographische Angaben enthalten muß, hell und somit deutlich lesbar bleibt. E. v. Sydow hielt sich an das entgegengesetzte Princip; er begann in der Ebene mit dunklen Farben, welche durch immer hellere Abstufungen bis zum Weiß auf den höchsten Spitzen übergehen.

Eine weitere Methode, Uebersichtlichkeit zu erzielen, liefert

die sogenannte *Verwaschung* oder *Laviermanier*. Das Verwaschen oder Lavieren beruht auf dem Grundsatz, daß die senkrecht auffallenden Sonnenstrahlen die Horizontalebene voll beleuchten, die geneigten Flächen aber um so weniger Licht erhalten, je größer ihr Neigungswinkel gegen den Horizont ist. Deshalb müssen also, wenn man sich von diesem Grundsatz leiten läßt, die Teile der Karte, welche größeren Böschungswinkeln entsprechen, dunkler gehalten werden. Das Verwaschen selbst besteht darin, daß man einen braunen oder grünen Ton mit dem Pinsel aufsetzt, diesen nach den Gegenden abnehmender Neigung hin verwäscht, an den steileren Stellen dagegen mehrfach aufträgt. Eine nach dieser Methode gut gezeichnete Karte wirkt sehr plastisch und läßt die Orte geringerer und stärkerer Neigung sofort erkennen. Diese Art der Geländedarstellung wird bei Militär- und Touristenkarten bevorzugt.

Naheliegend war die Idee, die Terrainkonfiguration durch sogenannte *Zwischenisohypsen* oder *Horizontalschrafen* zum Ausdruck zu bringen, wie dies bei den norwegischen Amtskarten im Maßstabe 1 : 200 000 geschehen ist. Denkt man sich nämlich den Abstand je zweier Schichtenlinien z. B. in zehn Teile geteilt und durch die Teilpunkte weitere Schichtenlinien — *Zwischenisohypsen* — geführt, so werden letztere um so näher aneinander liegen, je steiler das Gelände ist, weil in diesem Falle die *Isohypsenabstände* um so kleiner sind. Blickt man eine solche Karte an, so ruft sie einen ähnlichen Eindruck wie die farbige Schichtenkarte hervor; denn durch das dichtere Zusammentreten der *Zwischenisohypsen* müssen die steileren Stellen dunkler ausfallen. Man kann, wenn man will, diese Wirkung noch dadurch verstärken, daß man die Schichtenlinien an steileren Stellen stärker auszieht. Allein

eine Uebersicht und rasche Lesbarkeit wie bei den anderen Methoden können diese Karten, deren Konstruktion im übrigen auch mit mancher Schwierigkeit verbunden ist, vor allen in Gebieten schwacher Neigung nie liefern, und deshalb hat sich die hier beschriebene Manier nur wenig Eingang verschafft.

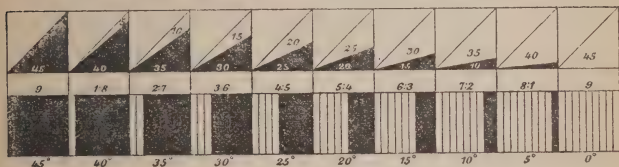
Am meisten angewandt wird die durch den sächsischen Major Johann George Lehmann (1765—1811) begründete Vertikalschraffenmanier. Auch bei dieser wird vorausgesetzt, daß die Sonne im Scheitelpunkt des darzustellenden Geländes stehe, daß also das Licht senkrecht von oben ein falle und die geneigten Flächen um so weniger beleuchte, je größer ihr Neigungswinkel gegen den Horizont ist. Die Schattierung wird durch Striche — Schraffen — hervorgebracht, welche in der Richtung des größten Falles, bezw. in der Richtung der stärksten Neigung gegen die Horizontalebene, d. h. in der Richtung des Wasserablaufes, gezogen werden und stets in gleicher Anzahl einen bestimmten Raum auszufüllen haben. Die Breite der Schraffen und die ihrer anliegenden Zwischenräume stehen für jede Neigung in einem bestimmten Verhältnis. Durch das Einhalten dieses Verhältnisses wird dem Topographen das Mittel geboten, den Böschungsgrad einer Fläche auszudrücken, dem Kartenleser, durch Abschätzen denselben zu erkennen. Man verzichtet hierbei gewöhnlich auf die Darstellung von Terrainflächen von mehr als 45° Neigung, und zwar deshalb, weil solche Böschungen eine Seltenheit sind oder doch nur an Felsen vorkommen, welche meist ungangbar und kulturell oder militärisch unbrauchbar sind. Das von Lehmann aufgestellte Schattierungsgesetz erfordert, daß das Verhältnis von Weiß zu Schwarz auf einem bestimmten Felde für n Grad Neigung wie $(45 - n) : n$ sei. Um Uebersicht zu gewinnen, stellte er 9 Schattierungsstufen

fest, für Winkel von 5° , 10° , 15° , 20° , 25° , 30° , 35° , 40° , 45° . Ist z. B. die Neigung 30° , so muß das Verhältniß des weißen Zwischenraumes (W) zur Schraffenbreite (S) sein:

$$W : S = (45 - 30) : 30 = 15 : 30 = 3 : 6.$$

Auf 9 mm Feld mußte also die Schraffe 6 mm breit sein und der weiße Zwischenraum 3 mm betragen. Berechnet man

Schraffirungsverhältniss der Böschungen.



Terrainscala

in Lehmann's

und

Manier.

in Müffling's

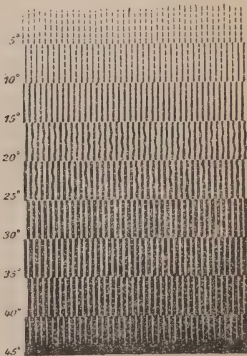
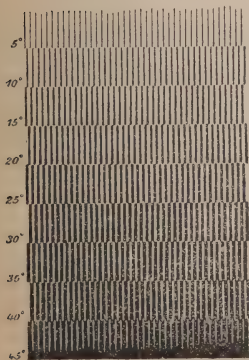


Fig. 68.

nach obiger Formel diese Verhältnisse für alle Böschungen, so ergibt sich folgende Skala:

Böschungswinkel W : S	Böschungswinkel W : S
5° . . 8 : 1	30° . . 3 : 6
10° . . 7 : 2	35° . . 2 : 7
15° . . 6 : 3	40° . . 1 : 8
20° . . 5 : 4	45° . . 0 : 9.
25° . . 4 : 5	

Es nehmen somit nach diesen Verhältniszahlen für Neigungen von 5 Grad nach aufwärts die Schraffenbreiten um je einen Teil zu, die weißen Zwischenräume um je einen Teil ab. Die Ziffernwerte der Skala sind leicht im Gedächtnisse zu behalten, wenn man sich nur die konstante Summe von Schraffenbreite und Zwischenraum gleich 9 merkt. Der Wert für die Schraffenbreite ist gleich dem fünften Teile des Zahlenwertes des Böschungsgrades, jener des weißen Zwischenraumes gleich der Differenz zwischen dem so gefundenen Quotienten und 9. Um z. B. das Verhältniß für 15 Grad Neigung zu finden, hat man $\frac{15}{5} = 3$; die Zahl 3 giebt die Anzahl Teile, die auf die Schraffenbreite entfallen, und die Differenz $9 - 3 = 6$ die Anzahl der Teile ihres Zwischenraumes.

Die Schraffenstala bildet das Alphabet für die Ablesung der Karte; es ist nötig, daß derjenige, der sie zu behandeln hat, einige Übung im Abschätzen besitze.

Manche Versuche von Verbesserungen der Lehmann'schen Manier haben das leichtere Erkennen des für militärische Zwecke tauglichen Terrains zum Anhaltspunkt genommen. So riet 1821 General Müffling, die Beleuchtungsgrenze erst bei 50° eintreten zu lassen, und machte außerdem noch die einzelnen Neigungsstufen durch die Gestalt der Striche

besser sichtbar; er führte punktierte, geschlängelte und abwechselnd dicke und dünne Striche ein. (Siehe Fig. 67 b und 68). Für die Generalstabskarte Deutschlands im Maßstabe 1:100 000 kommt eine aus der Lehmann'schen und Müßfling'schen kombinierte Stufenleiter zur Anwendung, die namentlich für das Bedürfnis im Flachland noch um eine Stufe für 1° Neigung vermehrt ist. Bayern und Oesterreich-Ungarn haben mit Rücksicht auf die Hochgebirge die Skala bis auf 60°, beziehungsweise 80° ausgedehnt. Das Verhältniß für Bayern ist durch die Formel $W:S = (60-n):n$ bestimmt, wobei die sich ergebenden Zahlen durch 5 abzukürzen sind. Oesterreich-Ungarn verwendet die Formel $W:S = [80 - (n + 3)] : (n + 3)$. Nach diesen beiden Formeln erhält man die Skalen:

	für Bayern:				für Oesterreich:			
	W : S				W : S			
für 5°	.	11	:	1	.	.	.	72 : 8
10°	.	10	:	2	.	.	.	67 : 13
15°	.	9	:	3	.	.	.	62 : 18
20°	.	8	:	4	.	.	.	57 : 23
25°	.	7	:	5	.	.	.	52 : 28
30°	.	6	:	6	.	.	.	47 : 33
35°	.	5	:	7	.	.	.	42 : 38
40°	.	4	:	8	.	.	.	37 : 43
45°	.	3	:	9	.	.	.	32 : 48
50°	.	2	:	10	.	.	.	27 : 53
55°	.	1	:	11	.	.	.	22 : 58
60°	.	0	:	12	.	.	.	17 : 63
65°	12 : 68
70°	7 : 73
75°	2 : 78
77°	0 : 80

Müßfling schlug vor, alle diese Skalen auf das Dezimal-

system zu begründen, welches Verfahren jedoch noch keine Anwendung gefunden hat.

Bisher war von dem Verhältniß der Schraffenbreiten zu ihren Zwischenräumen die Rede, nun ist aber auch die absolute Breite der Schraffen zu bestimmen. Hier gilt als Grundsatz: je kleiner der Maßstab der Karte, desto geringer die Breite der Schraffen und ihrer Zwischenräume, desto größer also die Anzahl der Striche auf einen Centimeter.

Bei der preußischen Landesaufnahme kommen bei Zeichnungen im Maßstabe von

1: 12500	. .	18 Striche auf 1 cm
1: 25000	. .	20 " " " "
1: 50000	. .	26 " " " "
1: 100000	. .	34 " " " "

Die Schraffenlänge richtet sich nach dem Böschungswinkel: je kleiner letzterer ist, desto länger ist die Schraffe.

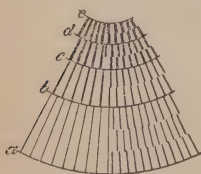


Fig. 69.

Denkt man sich in Fig. 69 auch die Schichtenlinien a, b, c, d, e ausgezogen, so muß der mit dem Abstand ab am Böschungsmaßstab abgelesene Böschungswinkel derselbe sein, wie derjenige, welcher der eingetragenen Schraffenbreite entspricht. Daraus folgt der Grundsatz: Die Schraffen müssen von

einer zur anderen der auf dem Blatte ausgezogen gedachten Schichtenlinien reichen. Um also eine Karte zu schraffieren, muß man zuerst die Schichtenlinien mit Blei ausziehen, die Schraffenlinien von Linie zu Linie ausziehen und nach vollführter Schraffierung erstere wegnehmen. Die Schraffenmanier beruht also auf der Schichtenmanier, da die Schraffen nach den Richtungen stärkster Neigung gegen die Horizontalebene, also senkrecht auf den Schichtenlinien stehen müssen.

Nur kurz sei hier noch der Schraffenmanier bei schiefer Beleuchtung Erwähnung gethan, die früher üblich war und besonders in Frankreich und in Italien zur Anwendung kam. Hierbei wird das Lehmann'sche Prinzip der Schraffierung beibehalten, aber man denkt sich die Sonnenstrahlen nicht senkrecht, sondern unter 45° Neigung aus Nordwesten einfallend, sodaß die Schattentiefe nicht nur von der Neigung, sondern auch von der Orientierung des darzustellenden Terrains abhängt. Da man aber meist noch die Forderung stellte, daß Horizontalebenen weiß bleiben, dagegen nach Nordwesten gefehrte Abhänge von 45° Neigung in der Karte nicht ganz weiß gelassen werden sollen, so forderte jene Manier Ausnahmen, die mehr oder weniger der Willkür des Zeichners freigegeben sind und die Strenge der Darstellung in Frage stellen. Man hatte daher diese Methode schon aufgegeben, als F. H. Dufour sie für die Karte der Schweiz im Maßstab von 1:100 000, das vollendetste kartographische Kunstwerk der Welt, wieder anwandte. Nicht zu übersehen ist allerdings, daß die plastische Wirkung dieser Geländedarstellung durch zwei wesentliche Fehler erkauft ist: die nach Süden und Osten gerichteten Berghänge erscheinen steiler als die nördlichen und westlichen. Sodann bieten die in Wirklichkeit sonnigen Süd- und Ostabhänge ein finsternes und unfreundliches Bild, die in Wahrheit im Schatten liegende Nord- und Westseite der Berge dagegen stellt sich hell und freundlich dar! In neuerer Zeit (1878) ist die Schraffenmanier bei schiefer Beleuchtung durch H. Wiechel mathematisch streng behandelt worden, und die Methode geht einer gewissen Zukunft entgegen, indem sie in Verbindung mit Isohypsen für alpine Bergformen das denkbar Beste bietet.

§ 20. Vereinigung von Schichtenlinien und Schraffen.

Schichtenkarten haben den Vorteil, daß man sie rasch und leicht ablesen kann, und daß man aus ihnen die Geländeformen bei geringem Abstände der Schichtenlinien leicht erkennt. Dagegen haben sie den Nachteil, daß bei größerem Abstände der einzelnen Schichtenlinien die Auffassung des Geländes eine viel schwierigere sein wird, und daß einzelne Geländeformen und Abstufungen nicht klar zum Ausdruck kommen; bei der Darstellung ganzer Länder treten die Nachteile der Schichtenmanier noch mehr zum Vorschein.

Dagegen ist die genaue Ausführung wie die Ablefung der schraffierten Karten nicht eben so einfach. Ist es nämlich schon für den Zeichner schwierig, das genaue Verhältnis der Schraffenbreiten zu ihren Zwischenräumen für die verschiedenen Böschungswinkel einzuhalten, so ist es für den Leser noch schwieriger, dieses Verhältnis und damit die Neigung des Geländes sicher zu erkennen. Dafür bietet die Schraffenmanier den Vorteil, daß sie in jedem Verjüngungsverhältnisse anwendbar ist, selbst die kleinsten mit dem Maßstabe verträglichen Formen deutlich ausdrückt und im ganzen ein plastisches, leicht faßliches Geländebild liefert.

In Ansehung der Vor- und Nachteile dieser Methoden hat man daran gedacht, sie zu vereinigen, woraus die kombinierte Geländedarstellungsweise entstand. Dieselbe besteht darin, daß man Schichtenlinien und Schraffen einzeichnet (Fig. 69); erstere erleichtern das Ablesen, letztere helfen der unmittelbaren Vorstellung nach. Schraffen und Horizontalen bestimmen ihre Lage gegenseitig, indem sie sich nur unter rechten Winkeln schneiden können. Beim Eintragen der Schraffen werden letztere nicht, wie die linke

Seite der Fig. 69 zeigt, von Schichtenlinie zu Schichtenlinie verlängert, da bei zunehmender Divergenz der Schraffen das Verhältnis von Schraffenbreite zu Zwischenraum sich ändert, also unrichtig wird. Man legt deshalb Zwischenschichtenlinien ein und zeichnet zwischen denselben die den betreffenden Böschungen entsprechenden Vertikalschraffen ein, wie die rechte Seite von Fig. 69 zeigt.

Vorgeworfen wird dieser Methode, daß die Karten überfüllt aussehen und die Schichtenlinien häufig Verwechslungen mit den Kultur- und Kommunikationslinien verursachen. Man hilft aber der Uebersicht, indem man Haupt-, Zwischen- und Hilfsschichtenlinien einführt. Die Hauptschichtenlinien beziehen sich auf Höhenunterschiede von 50 oder 100 Meter, die Zwischenschichtenlinien auf Höhenunterschiede von 10 oder 20 Meter, die Hilfsschichtenlinien endlich auf Aquidistanten von 5 oder 10 Meter; erstere zieht man breiter und stärker, die Zwischenlinien feiner, die Hilfslinien am feinsten aus. Ueberdies werden die Zwischen- und Hilfslinien nur dort ausgezogen, wo es der besseren Lesbarkeit wegen zweckmäßig erscheint. Figur 67a zeigt eine derartige Darstellung; in derselben sind die Vertikalabstände der Hauptschichtenlinien, je 20 Meter, geteilt durch Zwischenschichtenlinien von je 10 Meter Abstand (erstere stärker als letztere). Eine weitere Teilung kann durch Normalschichtenlinien von je 5 Meter (gerissene Linie), oder nach Bedarf durch Hilfsschichtenlinien von 2,5 eventuell 1,25 Meter Abstand (kurz gestrichelt) hergestellt werden.

§ 21. Relieffarten.

Keine Zeichnung, kein Entwurf wird die Gestalt des Bodens so klar und deutlich zur Anschauung bringen, als die

fogenannten Relieffarten oder besser Relieffmodelle. Die Relieffarten entstanden in der Schweiz, deren großartige Gebirgswelt zur Herstellung solcher Modelle gewissermaßen aufforderte; die erste Relieffarte lieferte der General Franz Ludwig Pfhyffer aus Luzern im Jahre 1766—1785, und zwar in Wachs. Man kann aber dazu auch Pappe, Gips, Lehm u. s. w. verwenden.

Die Konstruktion der Relieffarten beruht auf dem Vorhandensein eines Schichtenplanes. Man kann alsdann die Schichtenlinien z. B. auf Pappe aufzeichnen, ausschneiden und übereinanderlegen, wobei die einzelnen Pappelagen die Dicke der entsprechenden Schichtenhöhen haben müssen.*) Will man dagegen ein solches Modell aus Lehm anfertigen, so muß man zunächst den Schichtenplan auf ein glattgehobeltes Brett zeichnen oder die Karte selbst auf ein solches Brett aufkleben. Nun bohrt man überall dort, wo ein Böschungswechsel eintritt, senkrechte Löcher ein, in die man kleine Holz- oder Drahtstäbchen senkrecht einsteckt; diese Stäbchen müssen über das Brett genau so weit hervorragen als die Höhe der bezüglichen Punkte im gegebenen Verjüngungsmaß beträgt. Die Zwischenräume werden sodann bis nahe zur Höhe der Stäbchen mit Lehm (Wachs, Glaserkitt u. s. w.) ausgefüllt und hierauf die Oberfläche des Modells dem vorliegenden Plane entsprechend geformt.

Bei den Pappe-Reliefs bleiben die Schichten sichtbar;

*) Als eine gute Anleitung zum Verständnis des Zusammenhanges zwischen Kurvenzeichnungen und Kurvenreliefs sind die im Verlage von Schmid & Franke in Bern erschienenen „Kurven-Reliefs von R. Leuzinger, Schlüssel zum Verständnis der Kurvenarten. 15 Relieffdarstellungen mit Textblatt von Prof. Becker, 1893“ zu empfehlen. Man sieht an diesen kleinen Relieffmodellen, welche Bergformen von den einfachsten bis zu den großartigen des Hochgebirges darstellen, recht deutlich die obenangedeutete Herstellungsart.

man kann sie aber verschwinden machen, wenn man das Modell mit gefärbtem Wachs überzieht und mit erwärmten Streusand überstreut oder auch mit Deckfarbe übertüncht.*)

*) Bei Anfertigung der Reliefmodelle hat man früher einen großen Fehler gemacht. Bekanntlich erscheinen unserem Auge alle Bösungen viel steiler, als dieselben in Wirklichkeit sind. Ursache dieser Täuschung ist der Umstand, daß wir die Ausdehnung nach der Höhe in natürlicher Größe, die horizontale Erstreckung dagegen in bedeutender Verkürzung sehen. Fährte man nun die Reliefs im gleichen Maßstab für die Grundzeichnung und die Höhen aus, so war man, zumal bei Darstellungen in kleinem Maßstab, von der Flachheit derselben unangenehm überrascht, die zu dem Anblick in der Natur wenig zu passen schien. Um dem vermeintlichen Uebelstand zu steuern und eine „plastischere Wirkung“ zu erzielen, führte man die Ueberhöhung ein, d. h. man vergrößerte den Maßstab für die Höhe gegenüber dem Maßstab der Grundzeichnung und stellte z. B. bei einem Maßstab der letzteren von 1:10 000 die Höhen im Maßstab 1:1000 dar. Freilich erhielt man damit ein völlig unrichtiges Bild des Geländes. Die Anwendung der Ueberhöhung ist somit als irreführend strengstens zu verwerfen. Andererseits müssen Reliefs, um lehrreich zu sein, stets in sehr großem Maßstab ausgeführt sein. Hieraus folgt aber, daß schöne Reliefs nur für kleinere Gebiete herzustellen sind und auch diese Modelle wegen ihres bedeutenden Umfangs nur in großen Schausammlungen, nicht aber für den Schulunterricht zu benützen sind. Auch auf diesem Gebiet hat die Schweiz neuerdings durch prachtvolle und naturgetreue Reliefs ihrer Hochgebirgslandschaften Vorzügliches geleistet.

Wort- und Sachregister.

(Vergl. Inhaltsverzeichnis.) Die Zahlen beziehen sich auf die Seiten.

- Abplattung 12.
 Abscisse 13.
 Aequator 7.
 Aequatorialprojektion gnomonische 57 f., orthographische 35, stereographische 45 f.
 Aequidistante Cylinderprojektion 27.
 Aequidistante Kegelprojektion 33.
 Aequidistante Projektion Aequivalenz 90. [88].
 Agathodämon 30.
 Alexandria 24 f.
 Anaximander 21.
 Anfangsmeridian 9.
 Apian, Philipp 132 f.
 Apianus, Petrus 71.
 Araber 10. 39.
 Aristagoras 21.
 Aristophanes 21.
 Aristoteles 10.
 Atlas 77. 132.
 Atlas Luxoro 65.
 August v. Sachsen 135.
 Azimut 9.
 Babinet, Jacques 98.
 Bagdad, Meridian von, 10.
 Bafe, Pieter van 76.
 Behaim, Martin 132.
 Beneventanus, Marcus 67.
 Bergzeichnungs-Methoden
 Bienewitz, Peter 71. [141].
 Berghaus, H. 106.
 Besselsche Werte 12.
 Bestrahlungszone 10.
 Biologische Karten 118.
 Boden 125.
 Bonne, Rigobert, 85.
 Böschung 146.
 Böschungsmassstab 149.
 Böschungswinkel 149.
 Bohnenberger, J. G. F. v.
 Brechungslinie 147. [138].
 Breite, geogr. 9.
 Breite, nördl., südl. 9.
 Breiten, vergrösserte 80.
 Breitenkreis 8.
 Buache, Philipp, 151.
 Byzanz 23.
 Cassini 99. 137.
 Celles 127.
 Cotta, Johannes 67.
 Cruquius, Nif. Sam. 151.
 Cylinderprojektionen 24 ff.
 D'Abzac 35.
 De Coatpont 98.
 Deklination 15.
 Delambre 34.
 de l'Isle, J. N. 87.
 Dépôt de la guerre 85.
 Diaphragma 22.
 Diskäarch 22.
 Distanzarte 23 f. 62.
 Dominus Nikolaus 67.
 Doniz 67.
 Doppelherzförmige Projektion 74.
 Du Carla 153.
 Dufour 161.
 Dupain-Triel, J. B., 153.
 Ebtorfer Weltkarte 127 f.
 Eratosthenes 22. 23.
 Erdachse 7. 12.
 Erdglobus 17.
 Erdmagnetische Karten 119.
 Erdmessungsversuche 23.
 Eterne Projektion 54.
 Ferraris, Joseph de 138.
 Ferro 10.
 Finäus, Drontius 71. 73. 76.
 Fischer-Ongania-Sammlung 65.
 Flächentreue 90 f.
 Flächentreue Azimutalprojektion 93 ff.
 Flächentreue Cylinderprojektion 92.
 Flamsteed 87, 91.
 Flurlarten 115.
 Fra Mauro 66.
 Gebirgskarten 117.
 Gegenmeridian 8.
 Gelände-Darstellung 152.
 Gemma, Rainer, Frisius
 Generalkarten 116. [75].
 Generalstabsabteilung des
 englischen Kriegsministeriums 103.
 Generalstabskarte
 Badiische 99.
 Bayerische 159.
 Deutsche 101.
 Oesterreichische 101.
 Württembergische 99.
 Geographische Orientierung 9.
 Geographische Länge und
 Breite 9.
 Geologische Karten 117.
 Gewässerarten 117.
 Glareanus 72.
 Gleicher 7.
 Globularprojektion 73.
 Glückselige Inseln 10.
 Gnomon 23. 54.
 Gnomonische Projektion
 Grad 12. [54 ff].
 Granvella 75.

- Greenwich 11.
Größte Kreis 55. 62.
Grundschnitt 20.
Gyger, Hans 137.
- Handkarten 120.
Häufenform 141.
Hauslab 154
Heineken, C. A., 138.
Helwig, Martin 135.
Hemisphäre 8.
Henneberger, Caspar 133.
Herodot 21.
Herzförm. Projektion 70.
Hessen-Kassel 138.
Hilfschichtenlinien 163.
Hipparch 10. 23. 38.
Höhe 138.
absolute 140.
relative 140.
Höhenloten 140.
Homolographische Projektion 98 f.
Homerotär 35. 69.
Hondius, Jobocus 86.
Horizont 8.
Horizontal-Schichtenlinien
Horizontalprojektion [141 f.
Horizontalprojektion [19.
orthographische 37.
stereographische 49 ff.
Horizontalschraffen 155.
Hydrograph. Karten 117.
- Jäger, G. 104.
Jerusalem, Meridian 11.
Jomard 65.
Jobathen 151.
Jochronische Karten 119.
Jochlindrische Projektion
Jochypsen 143. [92.
Itineraria picta 127.
Juan de la Cosa 132.
- Kanarische Inseln 10.
Karl V. 75.
Karten 110
Kegelprojektionen 31 ff.
Klima-Breitengürtel 10.
Klimatologische Karten 119.
Kolorierung 154.
Kompaßkarten 62.
Kompaßrose 62.
Koordinaten 12.
Kotierte Punkte 140.
Kreis, größte 55. 62.
- Kremer, Gerhard 75 ff.
Kreischmer, K. 65.
Kurs 61. 82.
Kurskarten 116.
Küstenarten 116.
Küstenvermessungs = Kom-
mission der Vereinig-
ten Staaten 102.
Kuppelung der Schiffs-
kurse 65.
- Lambert 92 ff.
Länge, geogr. 9.
Länge, östl. westl. 9.
Längtenkreis 8.
Laviermanier 155.
Lehmann, Joh. George 156.
Lhuys, Humphrey 135.
Linie 8.
Log 83.
Loriz, Heinrich 72.
Logodrome 61. 77. 82.
Logodromische Karten 62 f.
- Magdeburg, Sioh 135.
Marinus v. Tyrus 28 ff.
Maßstab 112.
Meeresniveau 139.
Meile 113.
Meile, englische 115.
geographische 115.
österreichische 115.
preussische 115.
russische 115
- Merkator 75 ff. 132.
Merkatorprojektion 62. 77 ff.
Meridian 8.
Meridionaltheile 80.
Meroë 34.
Meteorologische Karten 119.
Meter 115.
Militär-geogr. Institut in
Italien 100.
Miller, K. 66. 129.
Millet de Mureau 153.
Mittelalterliche Weltkarten
Mittelabstand 108. [66.
Mittelmeridian v. Rhodus
Mollweide, C. B. 98. [10.
Müßling 158 f.
Münster, Sebastian 132.
- Natürliche Projektion 101.
Nautische Karten 116.
Neutraler Meridian 11.
Niveau 139.
Niveaufurven 143.
- Nordpol 7.
Nord-Sübdlinie 9.
Normal-Mullpunkt 140.
Nullmeridian 9.
- Oeder, Matthias 133.
Oesfeld, C. W. v. 138.
Orbinate 12.
Orientierung 9.
Orthographische Karten 117.
Orontius Finäus 71. 73. 76.
Ortelius, Abraham 127. 132.
Orthogonale = polytonische
Projektion 103.
Orthogonalprojektion 19.
Ortsbestimmung 7—15.
Ortsbestimmung, astrono-
mische 14.
Ozeanologische Karten 119.
- Parallellkreis 8.
Parallellkreis = Umfang 11.
Pariser Meridian 11.
Pariser Sternwarte 100.
Pisanische Karte 65.
Projektion, perspektivische
Periplen 64. [16.
Perspektive 15.
Petersmann, August 104.
Peutingertafel 127.
Pfiffer, Ludwig 164.
Physische Karten 117 ff.
Planisphärium 38. 54.
Planarten 115.
Plattkarte 24 ff.
Polarachse 13.
Polarkoordinaten 13.
Polarprojektion
gnomonische 59 f.
orthographische 35 ff.
stereographische 39.
- Pohlhöhe 15.
Politische Karten 118.
Polheber, Projektion a. e., 61
Polheberprojektion, preu-
ßische 101.
Polytonische Projektion 102.
Porulani 64.
Posidonius 22. 23.
Postel, Wilhelm 89.
Profil 144 f.
Pseudochlindrische Projektion 67.
- Ptolemäus, Claudius 24 ff.
Ptolemäusausg. Meriators
Punkt 83. [76.

Quadratmetermaß 115.

Reliefkarten 141. 163.

Reliefmodelle 164.

Renaissance 66 ff.

Reymann, G. D. 138.

Rhodus 10. 22 ff.

Richelieu 10.

Römische Straßenkarten

Rose 64. [127.

Rotationsellipsoid 12.

Routenkarten 116.

Ruysh, Johann 69.

Sägenartige Segmente 141.

Sanson, Nikolaus 85 f. 91.

Schichtenböschung 144.

Schichtenabstufung 143.

Schichtengürtel 144.

Schichtenhöhe 143.

Schichtenlinien 143.

Schichtenmantel 144.

Schichtart. Wilhelm 135.

Schiefe Beleuchtung 161.

Schraffen 156.

Schraffenbreite 160.

Schraffenlänge 160.

Schraffenskala 158.

Schraffierungs-Verhältnis
156 ff.

Schräge Vogelschau 135 f.

Schulskarten 120.

Seebücher 64.

Seefarte, mittelalterliche

Seefarten 116. 119. [63.

Seemeile 115.

Segelkarten 116.

Selenographisch 111.

Siegfriedatlas 138.

Signaturen 122 ff.

Snellius 137.

Soldner, 99 f.

Spezialkarten 116.

Sphärische Koordinaten 14.

Spurkarten 119.

Stab, Johann 70. 91.

Stadiasmen 64.

Statistische Karten 119.

Steinhauser, A. 106.

Sternförmige Karten 104 ff.

Sternkarten 54 f. 111.

Strabo 22 ff.

Strich 64.

Striche 156.

Südpol 7.

Sydow, E. v. 154.

Shene 23. 34.

Sylvanus, Bernardus 69.

Terrainskala 157.

Thales 54.

Theatrum Orbis 132.

Thule 34 f.

Topographische Spezial-

karten 116.

Trapezförmige Projektion
67.

Triangulierungspunkte 15.

Ueberhalten des Maßes 122.

Ueberhöhung 140. 164.

Uebersichtskarten 116.

Verjüngung 112 ff.

Verkehrskarten 118.

Vertikale 8.

Vertikalkreis 9.

Vertikalprojektion 19.

Vertikalschraffenmanier
156.

Verwaschungsmanier 155.

Visconte, Pietro 65.

Wagner, H. 65.

Welser, Wolfgang 127.

Weltgegenden 9.

Werner, Johannes 54. 71.

Wiesel, H. 161.

Windrose 62 ff.

Winkeltreue 38. 42 f.

Zenithdistanz 15.

Zentralprojektion 55 ff.

Zöpprich 108.

Zürner 135.

Zwischenbüchsen 155.

Leuzinger, R., Kurvenreliefs.

Schlüssel zum Verständnis der Kurvenkarten mit Erläuterungen von
G. Stucki, gew. Schulinspektor in Bern. Verlag von Schmid &
Frande, Bern. Preis in Pappschachtel 7 Mk.

Der rühmlich bekannte Schweizerische Kartograph R. Leuzinger bietet der Schule ein interessantes Hilfsmittel zum Verständnis der sich nun überall Bahn brechenden Kurvenkarten. In einer Kartonschachtel von 30-24 cm, die sich wie ein Buch öffnet, befinden sich auf gemeinsamer Unterlage 15 geprägte Kurvenreliefs von je 5.5:3.8 cm und einer übereinstimmenden Meaquidistanz von 100 m. Die Innenseite des steil stehenden Deckels enthält dieselben Terrainformen und in gleicher Anordnung als Kurvenkartchen. Damit ist ein unmittelbarer Vergleich zwischen Karte und Relief gegeben und hierin ist wohl der Hauptvorteil dieses Unterrichtsmittels zu suchen. Die Kurvenkartchen auf der Innenseite können als Ausschneidbögen separat à 16 Bgg. per Dutzend zu Mk. 1.60 bezogen werden. Das Ganze ist mit zwei Erläuterungen von Seite eines Technikers und eines Schulmannes versehen. Da die Karte stets die Grundlage des geographischen Unterrichtes bilden wird, die Einführung in das Verständnis derselben, besonders der Kurvenkarte, immer erheblichen Schwierigkeiten begegnen muß, darf diese direkte und stufenweise Uebersetzung vom Kartenbild zum Relief als ein wesentliches und wirksames Hilfsmittel empfohlen werden.

Durch alle soliden Buch- und Landkartenhandlungen zu beziehen.

Lehrer-Zeitung: Wenn eine kurzgebrängte physikalische Geographie aus der Feder eines so tüchtigen Fachmannes, wie es Prof. Günther in München ist, erscheint, so ist von vornherein zu erwarten, daß das nur etwas Gutes sein kann. Jeder, der das Buch liest, wird sehen, daß er sich in dieser Erwartung nicht getäuscht hat.

Ausland: Kaum je ist mir ein Buch zu Gesicht gekommen, das wie Nebmann's „der menschliche Körper und Gesundheitslehre“ auf so kleinem Raum ein so klares Bild von dem Bau und den Thätigkeiten des menschlichen Körpers geboten hätte. Ich stehe nicht an, das Werkchen als ein für den Unterricht höchst brauchbares zu bezeichnen.

Littbl. d. dtsh. Lehrerztg.: Die beiden Bändchen „Hartmann von Aue 2c.“ und „Walther von der Vogelweide“ geben eine Auswahl des Besten aus dem Besten unserer altklassischen deutschen Litteratur im ursprünglichen Text.

Allg. Zeitung (München): Ellinger bietet in „Kirchenlied und Volkslied, geistliche und weltliche Lyrik des 17. und 18. Jahrhunderts bis auf Klopstock“ den Schülern ein Handbuch, das den Verständigeren für den deutschen Unterricht aemig hochwillkommen ist.

Berl. philolog. Wochenschrift: Stending, griechische und römische Mythologie. Die überaus schwierige Aufgabe, den wesentlichsten Inhalt auf nur 140 Kleinktavseiten übersichtlich und gemeinverständlich darzustellen, ist von dem Verfasser des vorstehenden, in der bekannten Art der „Sammlung Götschen“ ausgestatteten Büchleins in höchst anerkanntenswerter Weise gelöst worden.

Zeitschr. f. dtsh. Unterricht: Die „Althochdeutsche Litteratur“ Schaufflers ist eine hocherfreuliche Gabe; sie beruht überall auf den neuesten Forschungen und giebt das Wichtigste in knappster Form.

Natur: Es ist geradezu erstaunlich, wie es der rühmlichst bekannte Verlag ermöglicht, für so enorm billige Preise so vorzüglich ausgestattete Werkchen zu liefern. Das vorliegende Bändchen bringt in knapper und verständlicher Form das Wissenswerteste der Mineralogie zum Ausdruck. Saubere Abbildungen erleichtern das Verständnis.

Globus: Es ist erstaunlich, wie viel diese kleine Kartenkunde bringt, ohne an Klarheit zu verlieren, wobei noch zu berücksichtigen ist, daß viele Abbildungen den Raum stark beengen. Vortrefflich wird die Kartenprojektionslehre und die Topographie geschildert.

Nationalzeitg.: Es ist bis jetzt in der deutschen Litteratur wohl noch nicht dagewesen, daß ein Leinwandband von fast 300 Seiten in vorzüglicher Druck- und Papierausstattung zu einem Preis zu haben war, wie ihn die „Sammlung Götschen“ in ihrem neuesten Bande, Max Koch's Geschichte der deutschen Litteratur für den Betrag von sage achtzig Pfennige der deutschen Leservelt bietet.

Leipziger Zeitung: Wer sich rasch einen guten Ueberblick über das Gebiet der deutschen Heldensage verschaffen will, ohne eigene intensivere Studien machen zu können, der greife getrost zu dem Büchlein von Friczek.

Prakt. Schulmann: Ein Meisterstück kurzen und bündigen, und doch klaren und viel sagenden Ausdrucks wie die „Deutsche

Litteraturgeschichte" von Prof. M. Bloch ist auch die vorliegende „**Deutsche Geschichte im Mittelalter**“.

Natur: In der **Chemie** von Dr. Klein empfängt der Schüler fast mehr, wie er als Anfänger bedarf, mindestens aber so viel, daß er das Wissenswürdige als unentbehrliche Grundlage zum Verständnisse der **Chemie** empfängt. . .

Kunst f. Alle (München): R. Kimmich behandelt in seinem Bändchen, „**Zeichenschule**“ benannt, in knapper, ferniger, sachlichzielbewußter Form das weite Gebiet des bildmäßigen Zeichnens und Malens. . . Gleich nutzbringend und in reichstem Maße bildend für Lehrer, Schüler und Liebhaberkünstler, möchte ich das **wirklich vorzügliche Werk** mit warmen anerkennenden Worten der Einführung in Schule, Haus und Werkstatt zugänglich machen. Die Ausstattung ist dabei eine so vornehme, daß mir der Preis von 80 Pfennigen für das gebundene Werk von 138 Seiten fl. 8° wirklich lächerlich billig erscheint. Nicht weniger als 17 Tafeln in Ton-, Farben- und Golddruck, sowie 135 Voll- und Textbilder illustrieren den **äußerst gesunden Lehr- gang** dieser Zeichenschule in feinführender Weise.

Schwäb. Merkur: Prof. G. Mahler in Ulm legt uns eine Darstellung der **ebenen Geometrie** vor, die bis zur Ausmessung des Kreises einschließlich geht. Besondere Sorgfalt ist der Auswahl und Anordnung der Figuren zu teil geworden, deren saubere Ausführung in 2 Farben angenehm berührt.

Globus: Hoernes, **Urgeschichte**. Der bewährte Forscher auf **vorgeschichtlichem Gebiete** giebt hier in knappster Form die lehrreiche Zusammenstellung des Wissenswertesten der **Urgeschichte**. **Vortrefflich geeignet zur Einführung und zum Ueberblick**.

Jahresberichte der Geschichtswissenschaft: Hommel, auf dem Gebiet der **altorientalischen Geschichte** eine anerkannte Autorität, behandelt in diesem Bändchen die **morgenländische Geschichte** mit großer Genauigkeit und wissenschaftlicher Gründlichkeit in **knappster Form**. Das kleine Büchlein muß warm empfohlen werden.

Lpzgr. Btg. (Wissensch. Beil.): „**Die Pflanze**“ von Dr. C. Dennert können wir bestens empfehlen. In kürzester, knappster, sehr klarer und **verständlicher Form** weiß sein Verfasser alles Wissenswerteste über den inneren und äußeren Bau und über die Lebensverrichtungen der Pflanze zur Anschauung zu bringen, wozu seine ganz **vortrefflichen, selbstgezeichneten Textabbildungen** außerordentlich viel beitragen helfen.

Schwäb. Merkur: Die **Römische Altertumskunde** von Dr. Leo Bloch behandelt kurz und klar die Verfassungsgeschichte, die Staatsgewalten, Heerwesen, Rechtspflege, Finanzwesen, Kultus, das Haus, die Kleidung, die Bestattung und andere öffentliche und häusliche Einrichtungen der Römer. . . .

Weimarsche Zeitg.: Waltharilied. Mit dieser Uebersetzung wird uns eine hochwillkommene und von Litteraturfreunden längst ersehnte Gabe geboten. . . . Von einer guten Uebersetzung ist zu verlangen, daß sie, **sinn- und zugleich möglichst wortgetreu**, ohne dem Urtext, wie der deutschen Sprache Gewalt anzuthun, den Geist des Originals

klar und ungetrübt widerspiegeln. Dieser Forderung gerecht zu werden, hat Althof in meisterhafter Weise verstanden.

Blätter f. d. bayr. Hymn.-Schulw.: Swoboda, Griech. Geschichte. Schon der Name und der Ruf des Verfassers bürgt dafür, daß wir nicht etwa bloß eine trockene Compilation vor uns haben, überall zeigen sich die Spuren selbständiger Arbeit.

Prakt. Schulmann: Senfert, Schulpraxis. Es wird in gedrängter Darstellung ein reicher, wohlbedachter, den neuesten pädagogischen Bestrebungen gerecht werdender Inhalt geboten und für den, der tiefer eindringen will, ist gesorgt durch reichhaltige Litteraturnachweise.

Zeitschr. f. d. Realschulw.: Es war ein glücklicher Gedanke der rührigen Verlags-handlung, die Abfassung des der Einführung in die Arithmetik und Algebra dienenden Bändchens ihrer „Sammlung“ dem hochgeachteten Fach- und Schulmanne Prof. Dr. Schubert zu übertragen Der Verfasser wußte die Schwierigkeiten mit großem Geschick zu bewältigen, indem er durch einen streng systematischen Aufbau des arithmetischen Lehrgebäudes der Fassungskraft des Anfängers möglichst Rechnung trug und dabei nur das Hauptsächliche ins Auge faßte. — Formelsammlung und Repetitorium der Mathematik von Prof. Th. Bürklen Die durch reinen Druck und geschmackvolle Ausstattung sich auszeichnende „Formelsammlung“ wird infolge ihres reichen vielseitigen Inhaltes, ihrer zweckentsprechenden Anordnung und orientierenden Gliederung als Nachschlagebuch vorzügliche Dienste leisten.

Grenzboten: Das Fremdwort im Deutschen von Dr. Rud. Kleinpaul. Ein lehrreiches Büchlein, das in seinen engen Wänden . . . eine Fülle von Sprachbelehrung bietet, die jeden fesseln muß, der nur einigermaßen das Bedürfnis fühlt, sich über Sprachdinge Aufklärung zu verschaffen. Der Verfasser hat sich schon durch zahlreiche volkstümliche Bücher über die Sprache und ihr Leben bekannt gemacht, er hat eine ausgebreitete, sichere Kenntniss der Sprach- und Wortgeschichte, hat mit Ausdauer auf diesem Gebiete gesammelt und weiß seinen Stoff immer geschickt zu gruppieren und vorzutragen. . . .

Staatsanzeiger: Die Römische Litteraturgeschichte ist eine geistvolle glänzende Arbeit. Einsender hat dieselbe von Anfang bis Ende mit größtem Genuß durchgelesen und dabei Art und Entwicklung des römischen Schrifttums und damit des römischen Geisteslebens überhaupt besser und gründlicher verstehen gelernt, als durch manches vielstündige Universitätskolleg oder dickleibige Handbücher.

Meteorologische Zeitschrift: Trabert hat in der Meteorologie seine schwierige Aufgabe vortrefflich gelöst. In allen Fragen vertritt er den neuesten und letzten Standpunkt.

Schweizerische Lehrerzeitung: Wer die Perspektive von Freyberger und das Geometrische Zeichnen von Becker durchgeht, wird seine Freude daran haben. So viel für so wenig Geld wird wohl kaum anderswo geboten. Die Illustrationen sind sauber und exakt. Der Text ist knapp und klar und auch da, wo er mehr andeutet als ausführt, anregend.

G. J. Göschen'sche Verlags-handlung, Leipzig.

